

# radio und fernsehen

Zeitschrift für Radio • Fernsehen • Elektroakustik und Elektronik

**Bauanleitung  
für einen Taschenempfänger mit  
elektronischer Abstimmung**

PREIS DM 2,00 • 13. JAHRGANG

VERLAGSPOSTORT LEIPZIG • FÜR DBR BERLIN

APRIL 1964

7





## AUS DEM INHALT

Nachrichten und Kurzberichte	194
Noch einmal: „Objektive Schwierigkeiten“?	195
D. Pratsch Fernsehhempfer „Donja“	196
Spannungsregler der DDR-Produktion	200
Manfred Herrmanns Die Fernbeobachteranlage FBA 4 mit der UW-Fernsehkamera FK 6	202
Dipl.-Ing. Peter Baumann Halbleiterinformationen (58) Kennwerte der diffusionslegierten Germanium-pnp-HF-Transistoren GF120 (OC 880) bis GF122 (OC 882)	205
S. Bremer Die B 13 S 7 — eine Oszillografenröhre mit hoher Schreibgeschwindigkeit und großer Ablenkempfindlichkeit für die Meßtechnik	207
Dipl.-Ing. Dieter Uhlig Der Frequenzgang des RC-Verstärkers mit Transistoren bei tiefen Frequenzen Teil 1	211
Dieter Borkmann Bauanleitung für einen Taschenempfänger mit elektronischer Abstimmung	214
Labor- und Berechnungsunterlagen Netzwerkberechnungen (3) Vereinfachte Berechnungsmethoden	217
Aus der Reparaturpraxis	219
Johannes Glöckner Der Ersatz des Breitbandübertragers im NF-Verstärker durch einfachere Übertrager Teil 2 und Schluß	221
Übersicht über die bisher veröffentlichten Reparaturhinweise von 1959 bis 1963 (3 und Schluß)	3. U.-S.

### VEB VERLAG TECHNIK

Verlagsleiter: Dipl. oec. Herbert Sandig  
Berlin C 2, Oranienburger Straße 13/14.  
Telefon 420019, Fernverkehr 423391, Fern-  
schreiber 011441 Technikverlag Berlin (Technik-  
verlag), Telegrammadr.: Technikverlag Berlin  
radio und fernsehen  
Verantw. Redakteur: Dipl. oec. Peter Schäffer  
Redakteure: Adelheid Blodszun,  
Ing. Karl Belter, Ing. Horst Jancke  
Veröffentlicht unter Liz.-Nr. 1109 des Presse-  
amtes beim Vorsitzenden des Ministerrates  
der Deutschen Demokratischen Republik  
**Aleinige Anzeigenannahme:**  
DEWAG-WERBUNG BERLIN, Berlin C 2,  
Rosenthaler Str. 28/31 u. alle DEWAG-Betriebe  
und Zweigstellen in den Bezirken der DDR.  
Gültige Preisliste Nr. 1  
**Druck:** Tribüne Druckerei Leipzig III/18/36  
Alle Rechte vorbehalten. Auszüge, Referate und  
Besprechungen sind nur mit voller Quellen-  
angabe zulässig.  
Erscheint zweimal im Monat, Einzelheft 2,—DM

## OBSAH

Oznámení a zprávy	194
Ještě jednou: „objektivní těžkosti“	195
D. Pratsch Televizor „Donja“	196
Stabilizované zdroje střídavého napětí (výrobky NDR)	200
Manfred Herrmanns Souprava průmyslové televize FBA 4 s kamerou FK 6	202
Dipl.-Ing. Peter Baumann Informace o polovodičích (58) Charakteristické hodnoty tranzistorů GF 120 až GF 122	205
S. Bremer B 13 S 7 — oscilografická obrazovka s vysokou psací rychlostí a vychylovací citlivostí pro měřicí účely	207
Dipl.-Ing. Dieter Uhlig Chování tranzistorového RC-zesilovače na nízkých kmitočtech, díl první	211
Dieter Borkmann Stavební návod pro kapesní přijímač s elektronickým laděním	214
Laboratorní a výpočtové podklady Výpočet elektrických obvodů (3) Zjednodušené výpočtové metody	217
Z opravářské praxe	219
Johannes Glöckner Náhrada širokopásmového transformátoru v nízkofrekvenčním zesilovači jednoduššími transformátory, díl druhý a závěr	221
Přehled v letech 1959 až 1963 uveřejněných opravářských návodů (3 a závěr)	3. str. obálky

### Redaktionsausschuß:

Ing. H. Bauermeister, Ing. E. Bottke, Dipl.-Phys. H. Fischer, Ing. R. Gärtner, Dr.-Ing. H. Henniger, Ing. G. Hossner,  
H. Jakubasch, Ing. G. Kuckell, Ing. F. Kunze, Dipl.-Ing. H.-J. Loßack, Ing. K. Oertel, Dr. W. Rohde, Dipl.-Ing.  
K. Schlenzig, Ing. K. K. Streng, Ing. J. Werner, H. Ziegler

### Bestellungen nehmen entgegen

Deutsche Demokratische Republik: Sämtliche Postämter, der örtliche Buchhandel, die Beauftragten der  
Zeitschriftenwerbung des Postzeitungsvertriebes und der Verlag  
Deutsche Bundesrepublik: Sämtliche Postämter, der örtliche Buchhandel und der Verlag  
Auslieferung über HELIOS Literatur-Vertriebs-GmbH, Berlin-Borsigwalde, Eichborndamm 141—167

### Ausland:

Volksrepublik Albanien: Ndermarja Shetnore Botimeve, Tirana  
Volksrepublik Bulgarien: Direktion R. E. P., Sofia, 11a, Rue Paris  
Volksrepublik China: Waiwen Shudian, P. O. B. 88, Peking (China)  
Volksrepublik Polen: P. P. K. Ruch, Warszawa, Wilcza 46  
Rumänische Volksrepublik: Directia Generala a Postei si Difuziarii Presei Politic Administrative C. F. R. Bukarest  
Tschechoslowakische Sozialistische Republik: Orbis Zeitungsvertrieb, Praha XII, Vinohradská 46 und  
Bratislava, Leningradská ul. 14  
UdSSR: Die städtischen Abteilungen „Sojuspetschat“, Postämter und Bezirkspoststellen  
Ungarische Volksrepublik: „Kultúra“ Könyv és hírlap külkereskedelmi vállalat, P. O. B. 149, Budapest 62  
Für alle anderen Länder: VEB Verlag Technik, Berlin C 2, Oranienburger Straße 13/14

## СОДЕРЖАНИЕ

Известия и краткие сообщения	194
Еще раз о «объективных трудностях»	195
Д. Прач Телевизор «Доня»	196
Регуляторы напряжения, выпускаемые в ГДР	200
Манфред Херрманс Промышленная телевизионная установка FBA 4 с подводной камерой FK 6	202
Диплом-инж. Петер Бауман Информация о полупроводниковых приборах (58) Данные высокочастотных дрейфовых германиевых транзисторов р-п-р-типа GF 120 (OC 880) — GF 122 (OC 882)	205
З. Бремейер Измерительная осциллографическая трубка В 13 S 7 с высокой скоростью развертки и большой чувствительностью отклонения	207
Диплом-инж. Дитер Улиг Частотная характеристика транзисторного RC усилителя в диапазоне низких частот, ч. 1-я	211
Дитер Боркман Самодельный карманный приемник с электронной настройкой	214
Лабораторные и расчетные материалы: Упрощенные методы расчета сложных электрических цепей (3)	217
Из работы ремонтных мастерских	219
Иоганнес Глөкнер Замена широкополосного трансформатора в НЧ усилителях более простыми трансформаторами, ч. 2-я и окончание	221
Обзор статей по ремонту радиоаппаратуры, опубликованных за 1959-1963 гг. (ч. 3-я и окончание)	3-я стр. о-и



## CONTENTS

### Information and Reports 194

D. Pratsch  
Television Receiver "Donja" 196

Voltage Control Equipment Made  
in the G. D. R. 200

Manfred Herrmanns  
Closed Circuit Television  
Plant FBA 4 Combined with  
FK 6 Underwater Television Camera 202

Dipl.-Ing. Peter Baumann  
Semiconductor Informations (58)  
Characteristics  
of the Transistors GF120  
to GF122 205

S. Bremer  
B 13 S 7 Cathode-Ray  
with High Recording Speed  
and  
Large Deflection Sensitivity  
for Measuring Instruments 207

Dipl.-Ing. Dieter Uhlig  
The Frequency Response  
of the Resistance-Coupled Amplifier  
with Transistors at Low Frequencies  
(Part 1) 211

Dieter Borkmann  
Instruction for the Home Construction  
of a Pocket Receiver  
with Electronic Tuning 214

Laboratory and Calculation Data  
Calculations of Networks (3)  
Simplified Methods of Calculation 217

Repair Practice 219

Johannes Glöckner  
Substituting the Wide-Band Transformer  
in the Audio-Frequency Amplifier  
by Simpler Transformers  
(Part 2 and Conclusion) 221

Review of  
Repair Instructions Hitherto Published  
from 1959 to 1963  
(3 and Conclusion) 3rd Cover Page



**Titelbild:**  
Das hier im Ein-  
satz im Berliner  
Tierpark vor-  
gestellte transi-  
storisierte Repor-  
tage-Magnetton-  
gerät R 21 wurde  
vom Rundfunk-  
und Fernsehtech-  
nischen Zentral-  
amt zum ersten  
Mal zur Leip-  
ziger Frühjahrs-  
messe ausgestellt  
[siehe auch radio  
und fernsehen 11  
(1962) H. 22 u. 23]  
Foto: Dummer

## Die KW-Ausbreitung im Februar 1964 und Vorschau für Mai 1964

Herausgegeben vom Heinrich-Hertz-Institut der Deutschen Akademie der Wissenschaften zu Berlin

### KW-Ausbreitung im Februar 1964

① relative Abweichung  
der  $F_2$ -Grenzfrequen-  
zen in Juliusruh/Rüg.,  
bezogen auf den  
Monatsmedianwert

$\Delta f/f$   
□ +41% und darüber  
□ +31...+40%  
□ +21...+30%  
□ +20...+18%  
□ -21...-30%  
□ -31...-40%  
□ -41% und weniger  
+ Mögel-Dellinger-  
Effekt

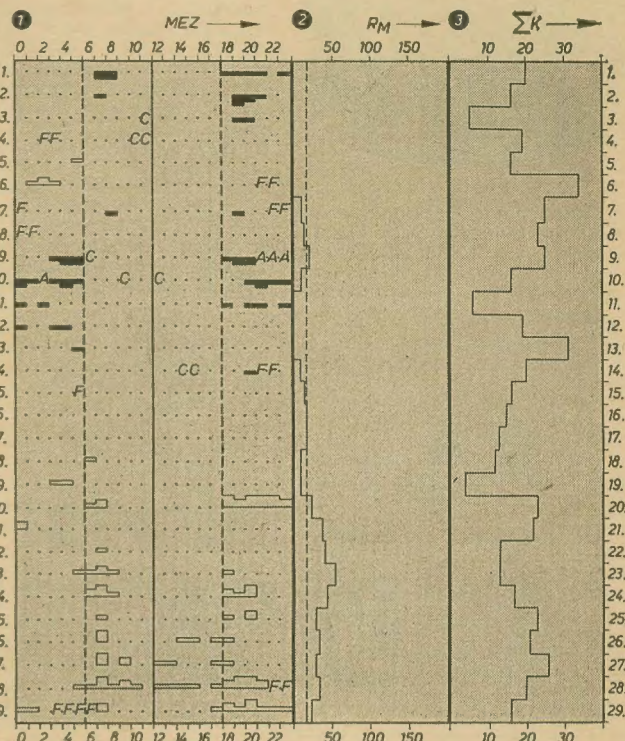
A = Abdeckung  
C = Gerätestörung  
F = Streuung  
S = Streuecho

② gemessene  
Sonnenflecken-  
relativzahlen ( $R_M$ )

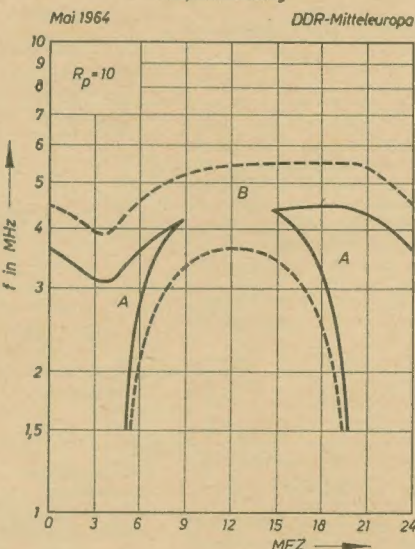
③ Tagessumme  
der erdmagnetischen  
Kennziffern

### Vorschau für Mai 1964

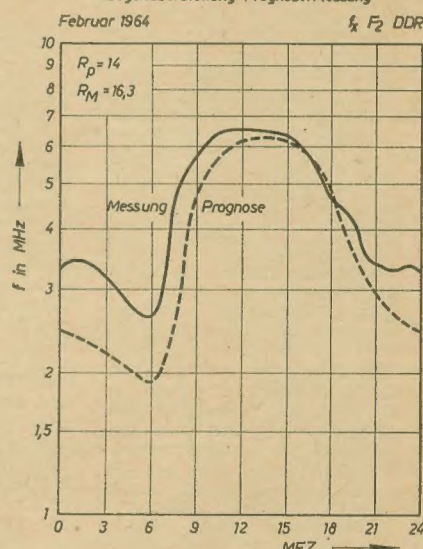
Sendeleistung: 100 W  
Mindestfeldstärke:  
10  $\mu$ V/m  
Entfernung: 0...600 km  
A = sicherer Verkehr  
B = Verkehr mit  
gelegentlichen Ausfällen



### Frequenzberatung



### Gegenüberstellung Prognose/Messung



### Im nächsten Heft finden Sie unter anderem...

Bericht von der Leipziger Frühjahrsmesse 1964  
Fernsehen · Radio · Elektroakustik · Antennen

Zur Dimensionierung von RC-Siebketten

Die UHF-Vorstufe im UHF-FernsehkanaWähler

Untersuchung der Auflösung im Fernsehen

Bauanleitung: Ein 100-W-Verstärker



## Nachrichten und Kurzberichte

▼ Zwei neue Fernsehkanal-  
setzer wurden am 24. 2. 1964 im  
Bezirk Halle in Betrieb genom-  
men:

1. in Nebra
2. in Freist

Sendebereich Kanal 11  
Polarisation der Antennen hori-  
zontal

▼ Die Umdrehungsdauer der  
Venus um ihre eigene Achse be-  
trägt nach Feststellungen sow-  
jetischer Wissenschaftler mittels  
Radar  $10 \pm 1$  Erdtage.

▼ Ein neues radioastronomisches  
Observatorium mit einem auf 8 ha  
liegendem Antennensystem wird  
in der Nähe von Moskau errich-  
tet. Die Geräte dieses Observa-  
toriums werden elektromagne-  
tische Wellen aus dem Weltall bis  
zu einer Entfernung von 10 Mill.  
Lichtjahren empfangen können.

▼ Im Schuljahr 1963/1964 wurde an  
der II. Moskauer Hochschule für  
Medizin eine neue medizinisch-  
biologische Abteilung eröffnet.  
Ihre Studenten werden im Laufe  
von 5½ Jahren an 28 Lehrstühlen  
an Vorlesungen über höhere  
Mathematik, Quantenmechanik,  
Atom- und Kernphysik, Radio-  
logie, Kybernetik und Bionik teil-  
nehmen. Die Abteilung soll all-  
seitig vorbereitete Biochemiker  
und Biophysiker für Forschungs-  
institute und theoretische Lehr-  
stühle medizinischer Fakultäten  
ausbilden.

▼ Der Prototyp einer Vakuum-  
Schweißanlage, die mit einem  
Elektronenbündel arbeitet, ist im  
Institut „Boris Kidric“, dem jugo-  
slawischen Atomzentrum, ent-  
wickelt worden. Das Schweißen  
erfolgt durch Verschmelzen der  
erhitzten Materialteile ohne Zu-  
gabe anderen Materials. Die  
homogene, feste und von Bei-  
mengen freie Schweißnaht  
entspricht den Anforderungen,  
die an Bauelemente für Atom-  
kraftzentralen gestellt werden.

▼ Intensive Hochfrequenzschwin-  
gungen anstelle eines Fadens ver-  
wendet eine von der Omega  
Laboratories in London herge-  
stellte neue Nähmaschine, um ge-  
webte und nichtgewebte Stoffe  
aus Kunstfasern miteinander zu  
verbinden. Die Schwingungen be-  
wirken, daß sich die Fasern ver-  
flechten und verweben und damit  
eine Naht bilden, die fester als  
die verbundenen Stoffe ist.

▼ Das Rieselikonoskop 64 QK 40,  
entwickelt vom Institut für Va-  
kuumelektronik VUVET in  
Prag, besitzt eine Sb-Na-K-Cs-  
Fotokathode mit einer integralen  
Empfindlichkeit von 100 bis  
150  $\mu\text{A}/\text{lm}$  (2850 °K) und kann bei  
Beleuchtungsstärken von 250 bis  
500 lx arbeiten. Somit nähert es  
sich mit seiner Empfindlichkeit  
dem Imageorthikon, wobei es die

Vorteile eines Superikonoskops  
beibehält. Seine Abmessungen  
sind mit denen üblicher Super-  
ikonoskops identisch.

▼ Auf dem afrikanischen Kon-  
tinent haben bisher elf Länder  
mit dem Aufbau eines Fernseh-  
funks begonnen: VAR, Algerien,  
Mali, Ghana, Marokko, Nigeria,  
Kenia, Sudan, Obervolta, Gabun  
und das noch unter Kolonialver-  
waltung stehende Südrhodesien.  
Die baldige Einführung des Fern-  
sehens bereiten vor: Kongo (Bra-  
zaville), Sierra Leone, Elfenbein-  
küste und Uganda.

▼ Eine spezielle Kristallzieh-  
apparatur zur Herstellung von  
Germaniumeinkristallen im Va-  
kuum wurde im tschechoslowa-  
kischen Betrieb Tesla Roznov  
konstruiert. Der Rezipient ist  
wassergekühlt und besitzt ein Be-  
obachtungsfenster. Die Zugstange  
wird hydraulisch angetrieben.  
Auf der Vorderseite der Anlage  
befinden sich außer dem Beob-  
achtungsfenster Meß- und  
Steuergeräte. Mit der Anlage  
kann ein 400-p-Einkristall im  
Laufe von vier Stunden gezogen  
werden.

▼ Mit der Produktion von Mikro-  
modulen für die Bestückung von  
elektronischen und nachrichten-  
technischen Geräten beginnt der  
ungarische Betrieb „Remix“ in  
diesem Jahr. Die Bausteine fas-  
sen in  $1\text{ cm}^2$  15 bis 18 Bauele-  
mente. Die Grundplatten besit-  
zen Abmessungen von  $9 \times 9$   
 $\times 0,6\text{ mm}$ , die Deckplatten solche  
von  $8,3 \times 8,3 \times 0,4\text{ mm}$ .

### Erste Stadtantennenanlage in der Schweiz

Eine stadtteigene Gemeinschafts-  
antennenanlage für maximal 2000  
Teilnehmer wurde in der Stadt  
Baden (Schweiz) von der Firma  
Siemens errichtet. Sie ist für den  
Empfang von Sendern aller Hör-  
rundfunkbereiche und für den  
Empfang des Fernsehprogramms  
eingesetzt. Die Antenne dieser  
Anlage ist auf einer empfangs-  
technisch günstigen Anhöhe er-  
baut; die Hauptverstärkerstation  
wurde etwa 300 m entfernt im  
alten Stadtturm untergebracht.  
Zur Zeit speist diese Station  
16 Verteilerverstärker, an die  
150 Häuser angeschlossen sind  
und deren Leistung ausreicht,  
500 Teilnehmer ohne zusätzliche  
Verstärkereinrichtungen mit der  
notwendigen Antennenenergie zu  
versorgen.  
Die von der Stadt errichtete An-  
tennenanlage endet mit dem Haus-  
anschluß, von dem aus sich jeder  
Mieter einen Wohnungsanschluß  
legen lassen kann.

### Eine neue Informationsmög- lichkeit über die sowjetische Technik

Seit etwa einem halben Jahr steht  
dem Ingenieur und Techniker in  
der DDR eine in der SU bereits  
seit etwa 4 bis 5 Jahren einge-  
führte und bekannte Broschüren-  
reihe „Wissenschaftlich-techni-  
scher und produktionstechnischer  
Erfahrungsaustausch“ zur Verfü-  
gung, in der die neuesten Ent-  
wicklungsergebnisse sowjetischer  
Institute und Betriebe dargestellt  
werden.

Das staatliche Komitee zur Koor-  
dinierung technisch-wissenschaft-

licher Arbeiten beim Ministerrat  
der RSFSR hatte beschlossen,  
wichtige Ergebnisse von Entwick-  
lungsarbeiten sofort nach Ab-  
schluß (etwa nach der Stufe K5  
bei uns) einem großen Kreis von  
interessierten Fachleuten zugäng-  
lich zu machen. Dazu wurde ein  
staatliches Institut für wissen-  
schaftlich-technische Information  
geschaffen, das die Abschlußbe-  
richte der einzelnen Stellen re-  
daktionell bearbeitet und nach  
Fachgebieten geordnet in etwa  
monatlich erscheinenden Heften  
herausgibt. Die Hefte erscheinen  
in einer relativ kleinen Auflage  
zu einem verhältnismäßig hohen  
Preis. Das genaue Studium um  
die Anschaffung dieser Reihe  
lohnt sich aber für unsere Indus-  
trieentwicklungsstellen auf jeden  
Fall, denn derart ausführliche  
Beschreibungen von Geräten und  
gewählten Lösungswegen sind  
sonst in der sowjetischen Litera-  
tur nicht bekannt.

Für den Nachrichtentechniker ist  
das Thema 35 der Reihe PNTPO-  
Gosint, Moskau, 1962, besonders  
interessant. In diesem Thema  
werden „Geräte und elektronische  
Apparaturen zur Messung hoch-  
frequenztechnischer Größen und  
der Parameter funktions-technischer  
Geräte“ beschrieben.  
Hier kurz der Inhalt des Heftes 1  
dieser Reihe (Best.-Nr. T 35/Wyp.  
1/No. P-62-8/1):

#### 1. I. M. Winnizki

Gerät E3-1 („Pimel“) zur Messung  
der Elektrodenkapazitäten von  
Elektronenröhren

Beschreibung eines HF-Kapazi-  
tätsmeßgerätes für den C-Bereich  
von  $10^{-4}$  bis  $50\text{ pF}$  mit etwa 2%  
Meßgenauigkeit

#### 2. J. A. Malyschew, J. I. Susow

Gerät zur Messung der Schwing-  
grenzfrequenz von Transistoren  
Meßgerät für  $f_T$  im Bereich von  
20 bis 110 MHz mit Impulsver-  
fahren

Ebenso der Inhalt von Heft 8 der  
gleichen Reihe (Bestell-Nr. T 35/  
Wyp. 8/No. P-62-43/8):

#### 1. A. L. Baranowski

Präzisions-Verzögerungseinheit  
mit Transistoren

Impulsfrequenzen in drei Berei-  
chen 10 bis 10 000 Hz, Verzöge-  
rungsbereich:  $0 \dots 10\,000\text{ }\mu\text{s}$ . Ge-  
nauigkeit der eingestellten Ver-  
zögerung  $\pm 0,05\% \pm 50\text{ ns}$

#### 2. W. P. Tarasow

Leistungssperschwinger mit  
Transistoren

Zwei Schaltungen zur Erzeugung  
kurzer Stromimpulse bis 2 MHz  
Folgefrequenz mit Dimensionie-  
rung

#### 3. J. M. Winnikow, M. H. Maka- schew, O. A. Tchorschewski

Automatische Prüfung von Quarz-  
generatoren mit Eichfrequenzsi-  
gnalen von 100 kHz

Gerät zum Zeitzeichenempfang  
und Frequenzvergleich

#### 4. W. G. Koltunow, A. A. Sos- nowski, I. A. Chaimowitsch

Gerät zur Kontrolle der Kreuz-  
modulationsleistung und der  
Schwingungsform auf Antennen-  
speiseleitungen von Sendern

#### 5. W. G. Koltunow u. a.

Neue Speisegeräte für transpor-  
table Funkgeräte

Transverter für Automobilfunk-  
geräte und Tornistergeräte

6. J. A. Malyschew, W. S. Maschi-  
nistow

Impulskennlinienschreiber für  
Transistoren

Zusatzgerät für einen Oszillogra-  
fen zur Aufnahme von Transi-  
storkennlinien

Die Hefte einer Reihe bzw. eines  
Themas können nur gesammelt  
bezogen werden. Da die Bearbei-  
tung der eingehenden Einzelhefte  
bei der Importstelle relativ  
schwierig ist, empfiehlt sich in  
jedem Falle eine direkte schrift-  
liche Bestellung. Nähere Aus-  
kunft über Bestellmöglichkeiten,  
Liefertermine und Preise gibt  
LKG-Abt. Importbuch, Leipzig C 1,  
Friedrich-Ebert-Strasse 76. Zur  
Feststellung des Weltstandes in  
der Elektronik bilden diese Hefte  
einen wichtigen Beitrag. Sie sol-  
len in keinem Entwicklungsbe-  
trieb oder Institut fehlen.

### VAKUTRONIK- informationen

heißt eine neue Hauszeitschrift,  
die der VEB Vakutronik WIB,  
Dresden, erstmalig zur Leipziger  
Frühjahrsmesse seinen in- und  
ausländischen Kunden vorstellte.  
Mit dieser Hauszeitschrift will der  
VEB Vakutronik WIB, Dresden,  
einen engeren Kontakt zu seinen  
Kunden und Freunden herstellen  
und sie über Neuentwicklungen,  
über spezielle Meßmethoden, -ver-  
fahren und -ergebnisse seiner Ge-  
räte und Anlagen informieren.  
Die erste Ausgabe ist speziell  
einigen Neuentwicklungen, wie  
dem Universellen Strahlenrelais  
VA-T-66, dem Schwingkondensa-  
tor-Elektrometer VA-J-51, dem  
Röntgen-Gamma-Dosimeter VA-  
J-15 und dem Gasdurchflußzähl-  
rohr VA-Z-530, gewidmet. Da-  
neben wird eine Übersicht über  
verschiedene Gerätesysteme ge-  
geben und in laufenden Fort-  
setzungen über Kennlinien und  
Datenblätter von Detektoren,  
Grundbegriffe der Kernphysik  
und der Sicherheitstechnik be-  
richtet. Die „VAKUTRONIK-in-  
formationen“ erscheinen vorläu-  
fig zweimal jährlich. Der VEB  
Vakutronik WIB, Dresden, sendet  
sie Interessenten auf Anforde-  
rung gern zu.

### Kleinsttransistoren in Planar- technik

Planartransistoren sind bekannt-  
lich durch eine im Verlauf des  
Herstellungsprozesses entste-  
hende Siliziumdioxidschicht  
gegen Einwirkungen von außen  
ausgezeichnet geschützt [radio  
und fernsehen 12 (1963)  
H. 14 S. 434]. Eine extreme Ge-  
häusedichtigkeit wird bei diesen  
Transistoren allgemein nicht  
mehr für erforderlich gehalten.  
Deshalb ist es möglich, das win-  
zige Kristallplättchen von Planar-  
transistoren in Gießharz (Epoxyd-  
harz, Araldit) einzubetten, ob-  
gleich, wie schmerzliche Erfah-  
rungen an Germaniumbauele-  
menten gezeigt haben, dieses  
Material keineswegs wasser-  
dampf-diffusionsfest ist. Tran-  
sistoren dieser Art werden meis-  
tens als Pico-Transistoren be-  
zeichnet und haben Abmessun-  
gen von etwa  $1,3 \times 1,3 \times 0,7\text{ mm}$ .  
Sie werden u. a. auch von der  
Inhaberin der grundlegenden  
Planarpatente, der Fairchild  
Corp, hergestellt.



## Noch einmal: „objektive Schwierigkeiten“?

Es ist noch nicht viele Wochen her, da donierten in Phnom Penh, der Hauptstadt des südostasiatischen Königreichs Kambodscha, die Kanonen Salut. Sie entboten ihren feierlichen Gruß der Regierungsdelegation der Deutschen Demokratischen Republik, die in hochoffizieller Weise vom Staatsoberhaupt Kambodschas, Prinz Sihanouk, empfangen wurde. Prinz Sihanouk — einer der bedeutendsten Staatsmänner Südasiens und nicht nur Südasiens — unterstrich mit diesem betont zeremoniellen Empfang, wie hoch man in seinem Lande die Deutsche Demokratische Republik schätzt. Und so freundschaftlich und offiziell wie in Kambodscha war unsere Regierungsdelegation unter der Leitung des Stellvertretenden Ministerpräsidenten Bruno Leuschner vorher in Indonesien und danach in Burma, Ceylon und Indien empfangen worden. Das ist nicht überraschend. Die Völker dieser Länder standen im Kampf gegen den japanischen Militarismus und gegen den holländischen, französischen und englischen Kolonialismus; sie wissen also durchaus die Tatsache zu schätzen, daß die Deutsche Demokratische Republik der antifaschistische, der antimilitaristische, der historisch rechtmäßige deutsche Staat ist, historisch rechtmäßig in dem Sinne, daß in ihm die Schlußfolgerungen aus der deutschen Geschichte, insbesondere aus der jüngsten Geschichte, mit aller Konsequenz gezogen wurden.

Aber was wäre geschehen, wenn man in einem dieser Länder unsere Delegation nach elektronischen Bauelementen, z. B. nach Transistoren und Widerständen, gefragt hätte ...?

Es genügt nicht, daß das historische Recht auf unserer Seite ist. Um die Rolle zu spielen, die wir spielen können und müssen, müssen wir auch das entsprechende technisch-spezifische Gewicht haben. Und wir haben es nicht, solange unsere in Produktion befindlichen Transistoren in ihren technischen Daten um fast zwei Zehnerpotenzen unter dem Weltstand liegen, solange die Streuung ihrer technischen Parameter nicht der Gauß'schen Verteilungskurve folgt, solange ihr Preis rund das Vierfache des Weltmarktpreises beträgt, solange unseren Widerständen das Gütezei-

chen des DAMW entzogen werden muß usw.

Dabei ist es doch eine beachtenswerte Tatsache, daß, wenn man unsere Regierungsdelegation in Phnom Penh, Rangun oder Colombo nach Geräten der Unterhaltungs- oder der kommerziellen Elektronik gefragt hätte, die Antwort wahrscheinlich gelaute hätte: „Welche Stückzahl darf ich notieren?“. Es ist doch bestimmt bemerkenswert, daß an der Stelle, wo die „objektiven Schwierigkeiten“ am größten sein sollten und es auch — ohne Anführungszeichen — sind, nämlich bei der Geräteindustrie, sie zwar mit viel Mühe und unter großem Aufwand, aber doch mit Erfolg überwunden werden. Es ist jedoch gleichzeitig eine Tatsache, daß sich vieles von dem, was bei der Geräteindustrie wirklich als objektive Schwierigkeit ankommt, bei der Rückverfolgung von Stadium zu Stadium in letzthin ideologische Unklarheiten auflöst.

Wir fragen den VEB Porzellanwerk Kloster-Weilsdorf: Wie kommt es, daß der Alkaligehalt der keramischen Masse, die Ihr an den VEB WBN Teltow liefert, immer noch 2,2 bis 2,6% beträgt, obwohl der Weltstand bei < 1% liegt und eine westdeutsche Firma 0,16% erreicht hat? Seid Ihr ganz sicher, daß die Tatsache, daß Eure Lieferungen an den VEB WBN Teltow nur einen relativ geringen Prozentsatz Eurer Gesamtfertigung ausmacht, damit gar nichts zu tun hat? Sind diese Probleme immer mit der notwendigen Dringlichkeit behandelt worden, obwohl es doch eigentlich „unrentabel“ wäre, auf einen so kleinen Ausschnitt Eurer Gesamtproduktion so viel Aufmerksamkeit zu verwenden? Nebenbei bemerkt: Es muß dafür Sorge getragen werden, daß nicht durch eine falsche Anwendung des neuen Systems der Planung und Leitung der Volkswirtschaft eine Art „neue Tonnenideologie“ entsteht: „Interessant ist nur, was viel Gewinn bringt!“ Die VVB muß und kann dafür sorgen, daß der Gewinn — unabhängig von der Quantität — entsprechend der volkswirtschaftlichen Dringlichkeit abgestuft wird.

Wir fragen den VEB WBN Teltow: War Eure Zusammenarbeit mit dem VEB Porzellan-

werk Kloster-Weilsdorf auch in der Vergangenheit stets einwandfrei? Habt Ihr ihm immer die Unterstützung gegeben, um die er Euch bat, und die Ihr ihm geben konntet? Oder seid Ihr auch manchmal von der Einstellung ausgegangen, Euch einwandfreie alkaliarmer Keramik zu liefern, sei „deren Hochzeit“; und es sei nicht Eure Sache, den Kollegen in Kloster-Weilsdorf zu sagen, „wie sie es machen sollen“?

Wir fragen weiter: Stimmt es, daß die Mängel in Eurer Widerstandsfertigung nur zu 30% auf den Alkaligehalt in der keramischen Masse, aber zu 70% auf technologische Mängel in Eurer Fertigung zurückzuführen sind? Gelten technologische Mängel auch als „objektive Schwierigkeiten“? Ferner: Stimmt es, daß der Alkaligehalt von Siemens-Widerständen bis zu 4% beträgt, die Widerstände aber einwandfrei sind?

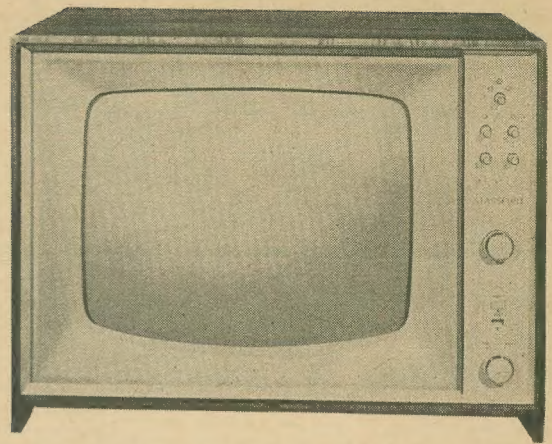
Bereits in dem Leitartikel im Heft 5 (1964) gaben wir der Vermutung Ausdruck, daß es sich bei der Lösung dieser und ähnlicher Probleme weitgehend um Fragen der Planung und Leitung, um ideologische Probleme handelt. Wir wurden in unserer Ansicht bestärkt durch das vom Fachverband Elektrotechnik der KDT Berlin am 7. Februar 1964 veranstaltete Kolloquium über den technisch-wissenschaftlichen Höchststand der Transistorempfänger und den Einfluß der vorhandenen Bauelemente auf die weitere Entwicklung der Erzeugnisse der Geräteindustrie. Unter den geladenen Teilnehmern, die dem Kolloquium ohne Entschuldigung fernblieben, fielen ganz besonders die VVB Bauelemente und Vakuumtechnik und die Abteilung Elektronik, Sektor Geräte und Anlagen, des Volkswirtschaftsrats auf. Es war ja auch viel bequemer und sicherer, wegzubleiben. Von seiten der Geräteindustrie wurden nämlich sehr unbequeme Fragen gestellt, die von den anwesenden Vertretern der Bauelementeindustrie nicht immer vollständig befriedigend beantwortet werden konnten. Von der VVB Bauelemente und vom Volkswirtschaftsrat wären höchstwahrscheinlich klare Auskünfte verlangt worden, wie die Forderungen der Geräteindustrie nach einwandfreien, modernen Halbleiterbauelementen und Wider-



## „DONJA“

D. PRATSCH

Mitteilung aus dem VEB Fernsehgerätekwerke Staßfurt



Das Fernsehgerät „Donja“ 47 TG 501 ist eine Weiterentwicklung des bisherigen 43-cm-Standardempfängers aus Staßfurt, unter Berücksichtigung bereits vorhandener standardisierter Baugruppen und Bauelemente. Eine Beschreibung dieses Empfängertyps wurde in radio und fernsehen 10 (1961) H. 4 veröffentlicht. Es handelt sich hierbei um einen Gerätetyp der unteren Preisklasse entsprechend TGL 8838.

In der Eingangsstufe des durchstimmbaren Gitterbasistuners wurde die Spanngitterröhre PC 88 statt der bisher verwendeten PC 96 eingesetzt. Eine weitere Spanngitterröhre (EF 183) kam in der ersten ZF-Stufe statt einer EF 80 zum Einsatz. Durch ein temperaturkompensiertes Ablenkssystem wird jetzt eine größere Bildhöhenkonstanz erreicht. Weiterhin konnte eine verbesserte Zeilensynchronisation erzielt werden. Die bisherige 43-cm-Bildröhre ist durch die 47-cm-Rechteckbildröhre ersetzt worden.

Der konstruktive Aufbau vom Standardempfänger wurde im wesentlichen übernommen. Lediglich die Anordnung der DF-NF-Platte und der ZF-Leiterplatte ist im Chassis untereinander vertauscht worden [1]. Bedingt durch die asymmetrische Gehäuseausführung sind die für Lautstärke, Helligkeit, Kontrast, Horizontal-Vertikalsynchronisation und die Sendereinstellung benötigten Bedienelemente einschließlich Tuner nicht mehr mechanisch am Chassis angeordnet.

Zur leichten Reinigung der Bildröhre kann die Schutzscheibe aus dem Gehäuse nach unten herausgezogen werden. Dadurch ergibt sich eine erhebliche Zeit- und Kosteneinsparung.

Der Empfänger ist elektrisch und mechanisch zum Nachsetzen eines UHF-Tuners vorbereitet.

Das Gerät „Donja“ stellt in elektrischer und mechanischer Hinsicht den Grundtyp der derzeit in Staßfurt gefertigten Fernsehempfänger der unteren Preisklasse dar. Folgende Gerätevarianten leiten sich aus diesem Gerätetyp ab:

### Tischgerät „Marion I“

Dieser Empfänger ist bis auf die 43-cm-Bildröhre in seiner elektrischen und mechanischen Konzeption einschließlich Gehäusegestaltung identisch mit dem Gerät „Donja“.

### Tischgerät „Donja I“

Hierbei handelt es sich um einen Exportempfänger, der sowohl in CCIR- als auch in OIRT-Norm ausgeführt werden kann. Gegenüber dem Gerät „Donja“ ist dieser Empfänger mit einem Kaskodetuner statt dem durchstimmbaren Gitterbasistuner ausgestattet.

### Standgerät „Ilona“

Das Gerät ist bis auf die Gehäuseausführung als Standgerät identisch mit dem Tischempfänger „Donja“.

### Fernsehmusikschrank „Kosmos II“

Dieser TV-Musikschrank hat neben dem Rundfunkgerät „Saalburg“ und einem Vierfachlaufwerk (Mono) als Fernsehteil das Gerät „Donja“.

### VHF-Tuner

Das bei den Standardgeräten AB und B zum Einsatz gekommene Prinzip des kapazitiv durchstimmbaren Kanalwählers ist beibehalten worden [1].

Durch die Verwendung der Spanngitterröhre PC 88 (Rö<sub>88</sub>) als Vorstufe, konnten die Rauscheigenschaften des Tuners gegenüber der bisher zum Einsatz gekommenen PC 96

erheblich verbessert werden. Verglichen mit Kaskodestufen (z. B. mit der PC 88) werden im Band III annähernd gleiche Rauschzahlen erreicht [2]. Der durchstimmbare Gitterbasistuner mit der PC 88 erreicht in den Bändern I und III im Mittel Rauschzahlen von etwa 8,7 dB. Bei einem Kaskodetuner werden im Mittel etwa 5,5 dB im Band I und etwa 7,7 dB im Band III gemessen.

Die Rauscheigenschaften eines Fernsehempfängers hängen nicht allein von der erzielten Rauschzahl der Eingangsschaltung ab. Hierfür ist auch noch die Durchlaßcharakteristik des nachfolgenden Bildkanals (Zwischenfrequenz- und Videoverstärker) maßgebend. Eine Frequenzanhebung, wie sie z. B. für einen Scharfzeichnereffekt vorgenommen wird, wirkt sich bei geringen Eingangsfeldstärken ungünstig auf den Rauscheindruck aus. Die Meßwerte für die rauschbegrenzte Empfindlichkeit werden also von der erreichten Rauschzahl der Eingangsstufe und der Gesamtdurchlaßcharakteristik des Bildkanals bestimmt. Daraus ergibt sich für den vorliegenden Gerätetyp eine Empfindlichkeit von  $\leq 370 \mu V$  bei 20 dB Rauschabstand an 240  $\Omega$ . Auf Grund der Rauschzahl des Tuners könnte allerdings eine Empfindlichkeit von  $\leq 280 \mu V$  bei 20 dB Rauschabstand an 240  $\Omega$  erzielt werden, wenn die Anhebung der Frequenzen des Videoverstärkers zwischen 0,5 und 4 MHz nicht vorgenommen worden wäre. Hierauf wird bei der Beschreibung der Videoendstufe besonders eingegangen.

Bei einer Gitterbasistufe ist der Eingangswiderstand etwa

$$\frac{1}{S}$$

Wenn eine solche Stufe geregelt wird, vergrößert sich der Eingangswiderstand stark

ständen kurzfristig befriedigt werden sollen. Denn wir sagten es schon: Schlechte Bauelemente präsentieren für die Geräteindustrie echte objektive Schwierigkeiten, die oft nur durch komplizierte und kostensteigernde Umkonstruktionen und manchmal nur durch Importe gelöst werden können. Man zog es in der VVB Bauelemente und im Volkswirtschaftsrat vor, der Auseinandersetzung aus dem Wege zu gehen — was unseres Erachtens nicht für ein hohes ideologisches Niveau einiger Mitarbeiter in diesen beiden Organisationen spricht. Wir begrüßen daher die Reorga-

nisation der Leitung der VVB Bauelemente und Vakuumtechnik und wünschen dem neuen Generaldirektor entscheidende Erfolge in seiner Tätigkeit — wobei wir uns darüber im klaren sind, daß auch der tüchtigste General die Schlacht nicht allein gewinnen kann.

Ich wies anfangs auf die hohe Wertschätzung hin, deren sich die DDR bei den jungen Nationalstaaten und bei den jungen sozialistischen Staaten, wie z. B. Kuba, erfreut. Aber die Achtung, die wir uns auf Grund unserer richtigen politischen Erklärungen erwerben konnten,

reicht nicht aus: Wir müssen sie durch das Angebot technisch hochwertiger Geräte ergänzen. Das erwartet und verlangt man von uns. Darüber hinaus: Es gibt keinen anderen Industriestaat der Welt, der so vom Außenhandel abhängig ist wie wir. Auf Gebieten zu importieren, wo wir eigentlich exportieren könnten und sollten, können wir uns absolut nicht leisten. Darum bitte keine „objektiven Schwierigkeiten“ mehr, wo es in Wirklichkeit darum geht, vernünftig, vorausschauend und verantwortungsbewußt zu planen und zu leiten.

Schäffer



mit der heruntergeregelten Steilheit. Auf die Anpassung des Einganges an das gewählte Antennensystem und auf die wirksame Störspannung am Antenneneingang wirkt sich die Erhöhung des Eingangswiderstandes nachteilig aus.

In der vorliegenden Schaltung ist daher auf eine Regelung der Vorstufe des Tuners verzichtet worden. Es wurden entsprechende Maßnahmen im ZF-Verstärker ergriffen. Dadurch werden konstante Verhältnisse bezüglich der Störstrahlung über den gesamten Feldstärkebereich, für den der Empfänger vorgesehen ist, erreicht. Weiterhin wird für den vorher genannten Bereich eine konstante Welligkeit  $s$  erzielt. Sie beträgt im Mittel:

$$\begin{aligned}\text{Band I} &\approx 2, \\ \text{Band III} &\approx 1,5\end{aligned}$$

Die Zwischenfrequenzfestigkeit beträgt durch den Einsatz des Sperrkreises ( $Sp_{822}|C_{811}$ )

$$\begin{aligned}\text{Band I} &> 35 \text{ dB} \\ \text{Band III} &> 50 \text{ dB}\end{aligned}$$

Eine günstige Symmetrie-Unsymmetriedämpfung wird durch den Eingangsübertrager, der auf Ferritbasis aufgebaut ist, bewirkt.

$$\begin{aligned}\text{Band I} &\approx 56 \text{ dB} \\ \text{Band III} &\approx 42 \text{ dB}\end{aligned}$$

Als Misch- und Oszillatorröhre wird eine PCF 82 ( $Rö_{802}$ ) verwendet. Über  $C_{830}$ , der als Durchführungskondensator ausgeführt ist, erfolgt niederohmig die Auskopplung der Zwischenfrequenz. Diese Art der Auskopplung hat den Vorteil, daß evtl. vorhandene Oszillatoroberwellen kurzgeschlossen werden, was bezüglich der Störstrahlung eine günstige Lösung darstellt. Weiterhin wird dadurch ein rückwirkungsfreies Zusammenschalten von Tuner und ZF-Verstärker erzielt.

Die Frequenzkonstanz des Oszillators ist bei Erwärmung des Tuners während der Einlaufzeit ( $t = 2 \dots 120 \text{ min}$ )  $< 200 \text{ kHz}$ . Diese Angabe ist bezogen auf ein  $\Delta T$  von  $30^\circ \text{C}$  und einer Umgebungstemperatur von  $25^\circ \text{C}$ . Bei Betriebsspannungsänderung von  $\pm 10\%$  beträgt die Frequenzabweichung  $< 100 \text{ kHz}$ .

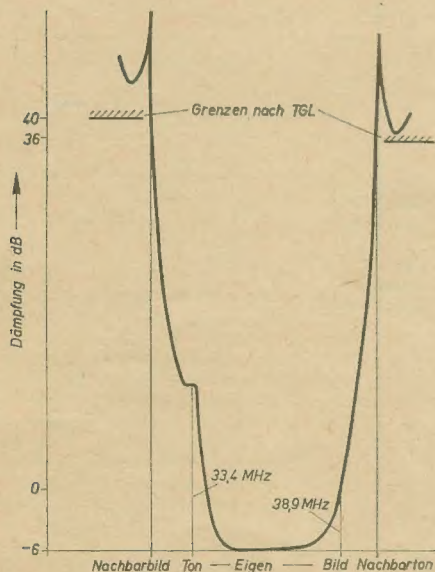


Bild 1: Dämpfungsverlauf des ZF-Verstärkers

## ZF- und Videoverstärker mit Regelspannungserzeugung

Der dreistufige ZF-Verstärker ist mit unterschiedlich gekoppelten Bandfiltern als Selektionsmittel ausgeführt. Dadurch können die in der TGL 8838 geforderten Bedingungen bezüglich der Nachbarkanalselektion sicher garantiert werden. Die große Aussperrung des Nachbarbildträgers und der Frequenzen  $< 31,9 \text{ MHz}$  von  $\geq 46 \text{ dB}$  sowie des Nachbartrügers und der Frequenzen  $> 40,4 \text{ MHz}$  von  $\geq 42 \text{ dB}$  wird im wesentlichen durch die Fallen  $Sp_{104}$ ,  $C_{105}$  und  $Sp_{108}$ ,  $C_{106}$  zwischen der ersten und zweiten ZF-Stufe erzielt (Bild 1).

In der ersten ZF-Stufe ist eine Spanngitterregelröhre EF 183 ( $Rö_{101}$ ) und in der zweiten und dritten Stufe je eine Röhre EF 80 ( $Rö_{102}$  und  $Rö_{103}$ ) eingesetzt worden. Eine Regelröhre war erforderlich, um den Regelumfang des Empfängers gegenüber den bisherigen Standardgeräten beizubehalten, da die Eingangsstufe des Tuners nicht mehr geregelt wird (Bild 2). Bezüglich des Regelumfangs erfüllt die hierbei angewendete Schaltungskonzeption die Forderung der TGL 8838 für Geräte der oberen Preisklasse. Außer der ersten ZF-Stufe wird auch noch die zweite ZF-Stufe geregelt.

Durch den Einsatz einer Spanngitterröhre im ZF-Verstärker konnte die Verstärkung um etwa 30% gegenüber den bisherigen Geräten erhöht werden. Dies wirkt sich günstig auf die verstärkungsbegrenzte Empfindlichkeit und damit, im Zusammenwirken mit den verbesserten Rauscheigenschaften des Tuners, auf die Gesamtempfindlichkeit des Empfängers aus.

Das Schirmgitter der dritten ZF-Stufe ( $Rö_{103}$ ) wird über einen entsprechenden Span-

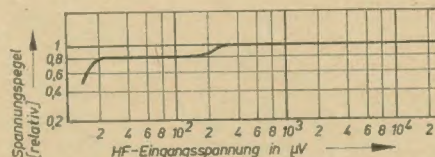


Bild 2: Spannungsverlauf an der Bildröhre bei unterschiedlichen Eingangsspannungen an  $60 \Omega$

nungsteiler aus der Boosterspannung gespeist. Dadurch wird erreicht, daß bei sehr großen Feldstärken die Videodiode ( $D_{101}$ ) nicht überlastet wird, da die Regelspannung für den Verstärker zeitlich erst mit vorhandener Boosterspannung zur Verfügung steht. Gleichzeitig wird damit eine Einschaltbrummunterdrückung erzielt.

Die Videomodulation erfolgt mit der Germaniumdiode OA 626 ( $D_{101}$ ). Das Pentodensystem der PCL 84 ( $Rö_{104}$ ) dient als Videoendstufe. Durch Gleichstromkopplung zwischen Videodemodulator, Endstufe und Bildröhre wird ohne zusätzlichen Schaltungsaufwand eine Schwarzwertübertragung erzielt. Die Spulen  $Sp_{115}$ ,  $Sp_{117}$  und  $Sp_{118}$  dienen zur Korrektur des Frequenzganges. Ein sogenannter Scharfzeichnereffekt, bedingt durch Anhebung des Frequenzdurchlasses zwischen 0,5 und 4 MHz, wird durch  $Sp_{115}$  und  $C_{135}$  erreicht (Bild 3). Dadurch wird die rauschbegrenzte Empfindlichkeit des Empfängers verschlechtert. Ein umfangreicher Test hat jedoch ergeben, daß ein Gerät ohne schaltbare Bildkorrektur eine An-

hebung der hohen Bildfrequenzen (Scharfzeichnereffekt) besitzen sollte.

Die Regelspannungserzeugung erfolgt nach dem Prinzip der getasteten Regelung. Hierfür ist das Triodensystem der PCL 84 ( $Rö_{104}$ ) eingesetzt. Bei diesem Prinzip wird die negative Regelspannung nur dann gebildet, wenn Zeilenrücklaufimpuls und Synchronimpuls zeitlich zusammenfallen. Hierdurch entsteht der Vorteil, daß die Regelspannung weniger empfindlich gegen Störungen ist, da die Schaltung während etwa 90% der Horizontalperiode gesperrt ist (etwa 10% einer Zeile ist die Zeitdauer eines Zeilenimpulses). Es können nur solche Störungen die Regelspannung beeinflussen, die genau mit den Zeilensynchronimpulsen zusammenfallen.

Von der Anode des Pentodensystems der PCL 84 wird das komplette Videosignal über den einstellbaren Spannungsteiler  $R_{140}$ ,  $R_{146}$  und  $R_{125}$  dem Gitter der Triode zugeführt.

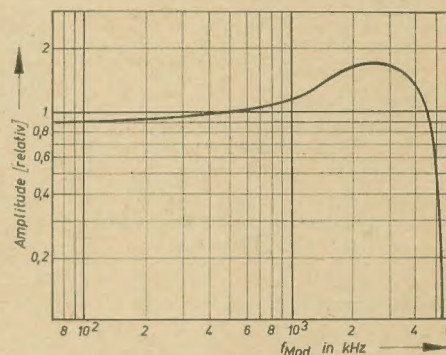
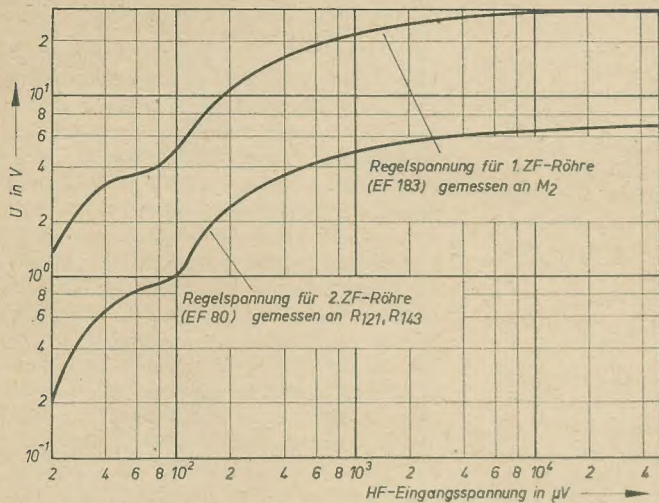


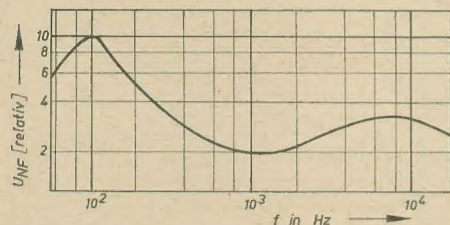
Bild 3: Frequenzgang des Videoverstärkers

Durch Entnahme der Steuerspannung für die Taströhre hinter der Videoendstufe wird eine optimale Regelsteilheit erreicht. Der Arbeitspunkt für die Taströhre wird durch die Gleichspannung an Katode und Gitter bestimmt. Zwischen Gitter und Katode muß bei voll aufgedrehtem Kontrastregler und ohne Signal eine Spannungsdifferenz von etwa  $-30 \dots -35 \text{ V}$  vorliegen ( $U_{gt} = 90 \text{ V}$ ,  $U_k = 125 \text{ V}$ ). Sobald die Impulsspitzen des Videosignals am Gitter der Triode in den Aussteuerbereich des Kennlinienfeldes hineinragen, fließt Anodenstrom, und es entsteht eine negative Regelspannung. Der Einsatz der Regelspannungserzeugung hängt sowohl von der an der Anode der Videoendstufe liegenden Gleichspannung als auch von der Größe der dort ausgebildeten BAS-Spannung ab. Die Kontrastregelung erfolgt durch Veränderung der Schirmgitterspannung der Endstufe. Damit ändert sich der Anodenstrom und die über den Arbeitswiderstand  $R_{124}$  an die Anode gelangende Spannung. Mit Hilfe des Kontrastreglers  $R_{811a}$  und dem Einstellregler  $R_{125}$  wird der Arbeitspunkt der Taströhre und damit die für die Verstärkungsregelung der ersten und zweiten ZF-Stufe erforderliche negative Regelspannung eingestellt (Bild 4). Bei völlig zurückgedrehtem Kontrastregler erreicht die Gleichspannung am Gitter der Triode den Wert der Katodenspannung. Dadurch wird eine große Regelspannung erzeugt, die die Verstärkung der geregelten Stufen ( $Rö_{101}$  und  $Rö_{102}$ ) soweit herabsetzt, daß kein BAS-Signal an das Steuergitter der Endstufe gelangt.





**Bild 4: Regelspannungsverlauf bei unterschiedlichen Eingangsspannungen an 60 Ω**



**Bild 5: Frequenzgang des NF-Verstärkers**

### DF-NF-Verstärker

Die Ton-ZF (5,5 MHz) wird an der Anode der P(C)L 84 ( $C_{130}$ ,  $Sp_{110}$ ,  $Sp_{130}$ ) ausgekoppelt. Es erfolgt somit in der Videoendstufe bereits eine Verstärkung. Der eigentliche DF-Verstärker ist einstufig ausgeführt. Die EF 80 ( $R_{2002}$ ) ist in ihrer Schaltung so ausgelegt, daß sie bei sehr kleiner DF-Spannung als Verstärker und bei größeren Spannungen als Amplitudengrenzer für die nachfolgende Demodulatorstufe arbeitet. Nach dem Prinzip des Verhältnisleichters (Ratiodetektor) erfolgt die Demodulation. Als Gleichrichter werden hierzu die niederohmigen Dioden der PABC 80 ( $R_{2003}$ ) verwendet.

In der NF-Stufe ist eine PL 84 ( $R_{2004}$ ) als Endröhre und das Triodensystem der PABC 80 ( $R_{2005}$ ) als NF-Vorverstärker eingesetzt. Die Anordnung des 2-W-Breitbandlautsprechers ist seitlich im Gehäuse vorgesehen. Der elektrische Frequenzgang des Verstärkers ist im Bild 5 dargestellt.

### Amplitudensieb und Impulstrennung

Über den Widerstand  $R_{401}$  und den Kondensator  $C_{401}$  gelangt das komplette Videosignal an das zweistufige Amplitudensieb ( $R_{401}$ ). Die Schaltung ist so dimensioniert, daß für ein BAS-Signal von 15 V<sub>BS</sub>, gemessen an der Ankopplung zwischen Videoendstufe und Amplitudensieb, mit Sicherheit eine saubere Trennung der Synchronimpulse vom Bildinhalt erzielt wird. Eine gute Trennung der Bildimpulse von den Zeilenimpulsen wird durch eine Impulstrennschaltung bewirkt. Diese ist als entsprechendes Netzwerk am Ausgang der zweiten Stufe des Amplitudensiebs angeordnet.

### Sinusgenerator, Phasenvergleich und Horizontalendstufe

Die Erzeugung der Steuerimpulse für die Zeilenendstufe erfolgt durch einen Sinus-

generator. Hierfür ist das Pentodensystem der PCF 82 ( $R_{0402}$ ) bestimmt. In der Reaktanzstufe ist das Triodensystem eingesetzt. Die Gerätebeschreibung in [1] erläuterte die Vorteile des Sinusgenerators, insbesondere bezüglich seiner Frequenzstabilität gegenüber Röhrenalterung, Umgebungstemperatur und Speisespannung.

Der Phasenvergleich wurde der Reaktanzstufe des Sinusgenerators angepaßt. Die Schaltung ist so ausgelegt, daß sie die gegenüber einem Sperrschwinger höhere Nachsteuerspannung für den Sinusgenerator liefert.

Durch eine entsprechende Schaltungsmaßnahme ist erreicht worden, daß der differenzierte Vergleichsimpuls aus dem Zeilenrafo für die Phasenvergleichsschaltung so verändert wurde, daß sich nur ein stabiler Synchronisationspunkt einstellen kann. Erreicht wird dieses Verhalten dadurch, daß jetzt zwei Vergleichsimpulse mit entgegengesetzter Polarität über entsprechende Netzwerke dem Mittelpunkt der Sekundärwicklung des Impulsübertragers zugeführt werden. Bisher wurde nur ein Vergleichsimpuls vom Zeilenrafo dem Diskriminator der Phasenvergleichsschaltung zugeleitet.

Als Horizontalendstufe ist die standardisierte Baueinheit [1] mit den Röhren PL 36 ( $R_{0401}$ ), PY 88 ( $R_{0402}$ ) und der Hochspannungsgleichrichterröhre DY 86 ( $R_{0403}$ ) beibehalten. Das bei den bisherigen Standardgeräten bewährte Prinzip der Bildbreitenautomatik für Netzspannungsschwankungen ist übernommen worden. Mit Hilfe eines Varistors ( $R_{0405}$ ) wird eine von der Netzspannung unterschiedliche Regelspannung für die Zeilenendstufe erzeugt. Bei Netzspannungsschwankungen von  $\pm 10\%$  beträgt die Bildbreitenänderung nur etwa 2%.

Der Spannungsteiler ( $R_{0404}$ ,  $R_{0405}$  und  $R_{0406}$ ) ist so dimensioniert, daß von ihm die  $g_1$ - und  $g_2$ -Spannungen für die Bildröhre und die Schirmgitterspannung für die dritte ZF-Stufe abgenommen werden. Die evtl. unterschiedliche Fokussierspannung für die einzelnen Bildröhrenexemplare, bedingt durch Toleranzen der Röhre, kann durch Umlöten der Zuleitung an den vorher erwähnten Spannungsteiler angepaßt werden. Weiterhin wird die Schirmgitterspannung für die dritte ZF-Stufe nicht mehr am höchsten Spannungspunkt des Teilers (Boosterspannung) über einen hochohmigen und hochbelastbaren

Widerstand abgegriffen, sondern am Fußpunktwiderstand ( $R_{0407}$ ), wo ein erheblich geringeres Potential vorliegt. Dadurch wird erreicht, daß eine kleinere Spannung an dem Spannungsteilerwiderstand ( $R_{0408}$ ) für die Schirmgitterspannung der  $R_{0403}$  liegt als bisher und dieser somit niederohmiger und geringer belastbar sein kann. Dadurch, daß bei der vorliegenden Schaltungskonzeption der Boosterspannungsteiler niederohmiger gegenüber der ursprünglichen Standardgeräteausführung ist und daß der Schirmgitterstrom von  $R_{0403}$  über den Teiler fließt, wird eine größere Konstanz der  $g_2$ - und  $g_3$ -Spannung für die Bildröhre bei Betriebsspannungsschwankungen bzw. Bauelementtoleranzen erzielt.

Für eine einwandfreie Rücklaufunterdrückung wird eine Dunkelastspannung von mehr als 100 V an  $g_1$  der Bildröhre benötigt. Diese Spannung wird einer Hilfswicklung des Zeilenrafos entnommen. Allerdings ist diese negative Impulsspannung mit einem positiven Anteil, bedingt durch die Überlagerung einer höherfrequenten Schwingung, behaftet. Dieser positive Anteil ist im Betriebsfall störend im Bild sichtbar (Gardinen effekt). Eine wirkungsvolle Unterdrückung wird durch eine Schaltung mit einer Ge-Diode ( $D_{001}$ ) erzielt. Am Wehneltzylinder ( $g_1$ ) der Bildröhre steht eine saubere Impulsspannung von etwa  $-150$  V<sub>a</sub> zur Verfügung.

Zum Schutz der Diode  $D_{001}$  gegen Zerstörung bei Überschlagen der Hochspannung innerhalb des Bildröhrensystems ist ein Schutzwiderstand ( $R_{002}$ ) in Verbindung mit einer Dreifachfunkenstrecke vorgesehen. Weiterhin ist in der Zuleitung zu  $g_2$  ein Widerstand ( $R_{003}$ )

### Technische Daten

Netzspannung:	220 V ~ 50 Hz
Leistungsaufnahme:	etwa 180 VA
Antennenanschluß:	VHF: 240 Ω UHF: vorbereitet für 60 und 240 Ω
Empfangsbereich:	VHF: 11 Kanäle nach CCIR-Norm durchstimmbar
Zwischenfrequenz:	38,9 MHz für Bildträger 33,4 MHz für Tonträger 5,5 MHz für DF
Bild-ZF-Verstärker:	dreistufig, Bandfilter gekoppelt
Ton-ZF-Verstärker:	einstufig
Lautsprecher:	1 Breitbandlautsprecher 2 W
Bildröhre:	110° elektro-statisch fokussiert
Röhrenbestückung:	PC 88, 3 × PCF 82, 3 × EF 80, EF 183, PCL 84, PABC 80, 2 × PL 84, ECC 82, PL 36, PY 88, DY 86, B 47 G 1, 4 Ge-Dioden, 1 Selengleichrichter
Netzsicherung:	1,25 A mittelträge
Anodensicherung:	0,4 A mittelträge
Abmessungen:	Breite 580 mm, Höhe 440 mm, Tiefe 290 mm
Gewicht:	etwa 29 kg
Besondere Eigenschaften:	durchstimmbarer Gitterbasistuner mit Spangitterröhre PC 88 in der Eingangsstufe, Spangitterregelröhre EF 183 in der ersten ZF-Stufe, temperaturkompensierter Sinusgenerator, Bildbreiten- und Bildhöhenstabilisierung, Bildhöhenkonstanz durch temperaturkompensiertes Ablenssystem, Fernbedienungsanschluß für Helligkeit und Lautstärke, UHF-vorbereitet, nach unten aus dem Gehäuse herausziehbare Schutzscheibe



zur Vermeidung von Folgeschäden an Bauelementen angeordnet.

### Vertikalgenerator und Endstufe

Diese Baugruppe entspricht in ihrer elektrischen Ausführung ebenfalls im wesentlichen der im bisherigen Standardempfänger eingesetzten und bewährten Stufe [1]. Als Generator wird ein Sperrschwinger mit der ECC 82 ( $R_{601}$ ) verwendet. Das zweite System dieser Röhre ist als Synchronimpulsverstärker geschaltet. Eine PL 84 ( $R_{602}$ ) ist als Endstufe eingesetzt. Die notwendige Verformung des nahezu linearen Sägezahn, den der Sperrschwinger liefert, wird durch eine frequenzabhängige Gegenkopplungsschaltung vorgenommen.

Die Bildhöhenstabilisierung gegenüber Netzspannungsschwankungen wird hier ebenfalls durch einen nichtlinearen Widerstand ( $R_{620}$ ) über eine Impulsrichtung erreicht. Aus der Spannung für den Sperrschwinger, die über einen Spannungsteiler von der Boosterspannung abgeleitet wird, und der von der Bildhöhe abhängigen Gleichspannung, die dieser parallel geschaltet ist, wird die wirksame Speisespannung für den Sperrschwinger gebildet. Dadurch wird eine von der Netzspannung weitgehend unabhängige Bildhöhe erzielt.

Damit der bei Erwärmung des Ablensystems auftretende Bildhöhenchwund verringert wird, wurde in Reihe zu den Vertikalablenkspulen ein Thermistor parallel mit einem Schichtwiderstand ( $R_{632}$  und  $R_{631}$ ) geschaltet. Um einen besseren Wärmekontakt mit den Ablenspulen zu erreichen, ist der Thermistor innerhalb des Ablensystems angeordnet. Durch diese Maßnahme wird eine gute Bildhöhenkonstanz bei Erwärmung des Empfängers erzielt.

### Helligkeitsregelung und Leuchtpunktunterdrückung

Eine in Grenzen wirksame Strahlstrombegrenzung der Bildröhre im ungesteuerten Zustand wird durch die angewendete Helligkeitsregelschaltung erreicht. Die Spannung für die Helligkeitsregelung wird nicht direkt von der  $U_B$ -Spannung (Netzteil), sondern von der Anode der Videoendstufe bezogen.

Die Lage des Systemaufbaues bei der 110°-Bildröhre macht eine automatische Leuchtpunktunterdrückung, zur Vermeidung von Einbrennflecken auf dem Bildschirm, erforderlich. Diese Unterdrückungsschaltung muß in dem Moment wirksam werden, wenn das Gerät abgeschaltet wird. Dies wird durch eine große Kapazität ( $C_{603}$ ) erreicht. Der Helligkeitsregler muß zu diesem Zweck in Be-

triebsstellung belassen werden, d. h., die Helligkeit darf nicht völlig zurückgedreht werden (keine Helligkeit auf dem Bildschirm).

### Netzteil

Der Netzteil ist für 220 V Wechselstrom ausgelegt. Die Röhrenheizungen sind in einem Stromkreis hintereinander geschaltet angeordnet. Entsprechend der zulässigen Spannung zwischen Faden und Katode und dem Verwendungszweck der einzelnen Röhren in der Schaltung erfolgte die Anordnung im Heizstromkreis. Die Gleichrichtung erfolgt mittels eines Selengleichrichters. Die Gleichspannung ist für die einzelnen Stufen auf fünf verschiedene Punkte aufgeteilt, die durch RC-Glieder untereinander nochmals entkoppelt bzw. gesiebt sind.

### Literatur

- [1] Standard-Fernsehempfänger Typ AB und B. radio und fernsehen 10. (1961) H. 4 S. 106—110
- [2] Voigt, H., und Günther, D.: Der kapazitiv durchstimmbare VHF-Tuner im Fernsehempfänger. radio und fernsehen 13 (1964) H. 2 S. 35—38

## Eine neue Methode zur Absorbierung des Schalls in geschlossenen Räumen

Dr.-Ing. H. GUTERWIND

Mitteilung aus dem Institut für angewandte Akustik „Hans Sachs“ in Wismar

Es ist bekannt, daß an Orten, an denen verschiedene Schallwellen aufeinandertreffen, Interferenzen entstehen. Bei Frequenzgleichheit der Schallwellen ergibt sich je nach Phasenlage der Wellen zueinander eine Verstärkung oder Abschwächung der resultierenden Schallwellen. Stets ist der resultierende Schalldruck die geometrische Summe der einzelnen Teilschalldrücke.

Die Problematik weist starke Analogien zur geometrischen Addition von Wechselspannungen gleicher Frequenz, aber beliebiger Phasenlage auf, die jedem Studierenden der Elektrotechnik vertraut ist.

Sind zwei aufeinandertreffende Schallwellen in ihren Amplituden gleich, jedoch gegeneinander um  $180^\circ$  phasenverschoben, so tritt eine vollständige Auslöschung des Schalls am Begegnungsort auf:

$$P_1 \cdot \cos(\varphi_1) + P_2 \cdot \cos(\varphi_1 + \pi) = P_{\text{ges}} \cdot \cos(\varphi_2)$$

Die rechte Seite der Gleichung wird Null, wenn  $P_1 = P_2$  ist. Die experimentelle Nachprüfung dieser Aussage bietet keine Schwierigkeit.

Schon Helmholtz war diese Erscheinung bekannt [1]. Eine praktische Verwertung gelang nicht, da eine Phasenverschiebung von  $180^\circ$  am Begegnungsort der Schallwellen über einen hinreichend breiten Frequenzbereich nicht exakt zu erzielen war. Außer der Laufzeit jeder Schallwelle, die entscheidend für

die Phasenlage am Begegnungsort ist, wird das Problem noch kompliziert, wenn die Schallwellen in einem gestörten Schallfeld wirken. Hierunter ist ein Feld zu verstehen, in dem die ungehinderte Ausbreitung des Schalles durch Inhomogenitäten gestört ist. Dies trifft bereits für jeden bebauten Raum zu, in dem Nutzschaall erzeugt bzw. gehört wird. Praktisch wird der theoretische Fall etwa in jedem Wohnzimmer realisiert, in dem ein Rundfunkgerät aufgestellt ist. Durch die Einschaltung eines Breitband-Phasenschiebers (Bild 1) vor einen der beiden schallerzeugenden Lautsprecher gelingt es,

die erforderliche Phasenverschiebung von  $180^\circ$  herzustellen.

Mitarbeiter des Institutes entwickelten einen solchen Breitband-Phasenschieber.

Bild 2 zeigt eine praktische Anwendung der Anlage [2]. Mit der hier gezeigten Anordnung vermeidet man u. a. eine störende diffuse Reflexion an den Wänden des Raumes.

A ist der Lautsprecher eines handelsüblichen Rundfunkempfängers. An die Wand D schließt sich die Nachbarwohnung an, in der möglichst wenig Schall vom Empfänger A aufgenommen werden soll. Die „klassische“ Lösung sah hierzu die Herstellung einer aus-

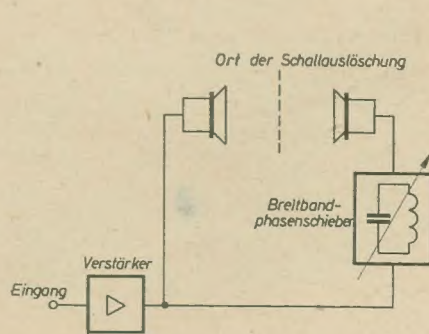


Bild 1: Anordnung von zwei Schallquellen (Lautsprechern) mit Ausgleich der Phasenlage durch Breitband-Phasenschieber

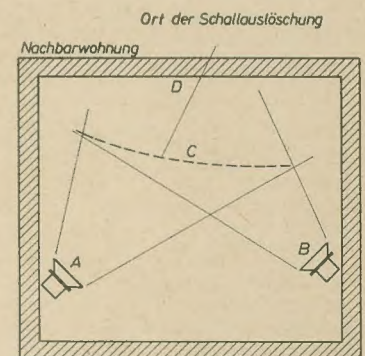


Bild 2: Endgültige Anordnung der Lautsprecher im Versuchsraum



reichenden Schalldämmung vor [3]. Dieses Verfahren ist jedoch aufwendig. Bei den heute üblichen Schalleistungen von 0,05 ... 50 W im Wohnzimmer bewährt sich die zweite Methode wesentlich besser. Parallel zum Lautsprecher A wird über einen Breitband-Phasenschieber ein zweiter Lautsprecher B betrieben. Die Schallwellen treffen am Punkt C zusammen und löschen sich hier aus. An D und dahinter ist kein Schall mehr hörbar. Es muß betont werden, daß die Entwicklung der Anlage noch nicht abgeschlossen ist. Entscheidende Teile der Anlage

für neuartige Schallabsorption konnten zum Patent angemeldet werden. Bei Aufnahme der Massenproduktion sollen Bewohner für Hohlstein-Neubauten bevorzugt berücksichtigt werden. Herr Prof. Dr. Dr. Curt Dattelduh konnte vor der interessierten Fachpresse mit berechtigtem Stolz versichern: „Wir können das Problem noch nicht auf den Tisch legen — aber es ist eine gute Sache!“

#### Literatur

- [1] Helmholtz: Besonderheiten im ungestörten Schallfeld. Sonderbeilage zu

Schröders Annalen, Jahrgang 1899 H. 1 S. 43—78

- [2] Mück: Eine neuartige Anordnung zur Erzeugung interessanter Schallinterferenzphänomene mittels Breitband-Phasenschieber. Wissenschaftliche Zeitung für Nautik und Akustik 8 (1963) H. 13 S. 145 bis 367

- [3] Gutewind: Die Schalldämmung als Problem als solches. Mensch und Maschine 14 (1962) H. 3 S. 166—175

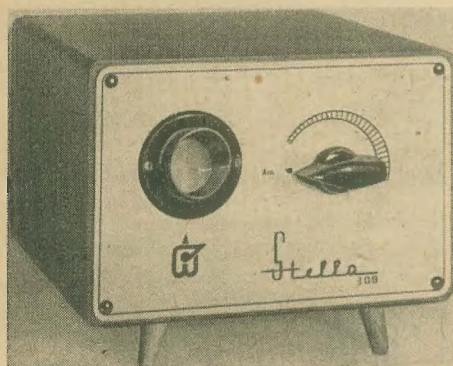
## Spannungsregler der DDR-Produktion

Auf Grund der noch immer nach Ort und Zeit unterschiedlichen Energieversorgung spielen Spannungsregler für TV-Empfänger, deren einwandfreies Funktionieren in engen Grenzen von der angelegten Spannung abhängt, eine erhebliche Rolle. Daher halten wir eine Zusammenstellung der jetzt in der DDR in Produktion befindlichen Spannungsregler für interessant.

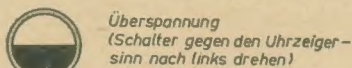
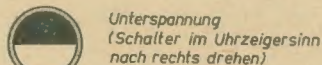
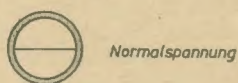
### Stelltransformator „Stella 300“

VEB Wetron Weida

Der Stelltransformator „Stella 300“ ermöglicht durch optische Sichtkontrolle das Einstellen der richtigen Netzspannung (Normal-



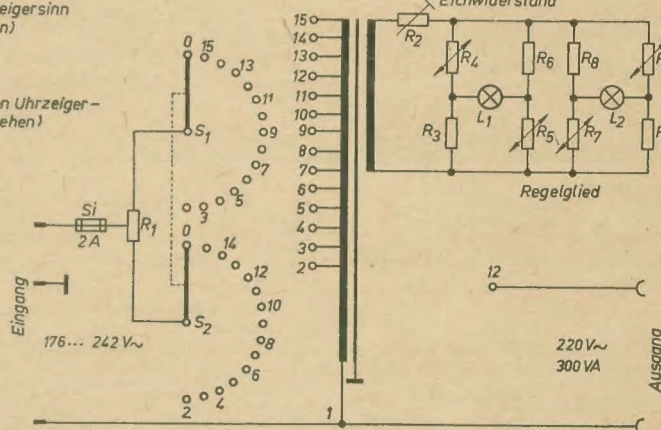
spannung) von 220 V. Beide Leuchtfelder müssen möglichst gleiche Helligkeit zeigen. Zeigt die Sollwertanzeige während des Betriebes zwischen oberer und unterer Hälfte verschiedene Helligkeit, so wird durch Drehen des Zeigerknopfes nach rechts bzw. nach links die Sollspannung nachgeregelt. Beim Durchdrehen des Drehknopfes für die Sollwerteneinstellung wird der Stromkreis nicht unterbrochen.



Konturen der Sollwertanzeige bei verschiedenen Spannungen

Stelltransformator „Stella 300“, VEB Wetron Weida

Schaltung des Stelltransformators „Stella 300“



beide Lampen ausgewechselt werden, da sonst die Anzeigegenauigkeit nicht mehr gewährleistet ist.

### Auswechseln der Glühlampen

Zur Ersatzbestückung müssen paarig sortierte Glühlampen 3,8 V/0,07 A verwendet werden. Diese Glühlampen sind als Ersatzlampenpaar für den elektrischen Sollwertanzeiger SWA 1/2 im Fachhandel erhältlich. Es müssen stets

### Technische Daten

Eingangsspannung:	176 ... 242 V 50 Hz
Belastbarkeit:	300 VA
Anzeigegenauigkeit:	± 2,5%
Sicherung:	2 A (flink)
Gewicht:	4,1 kp

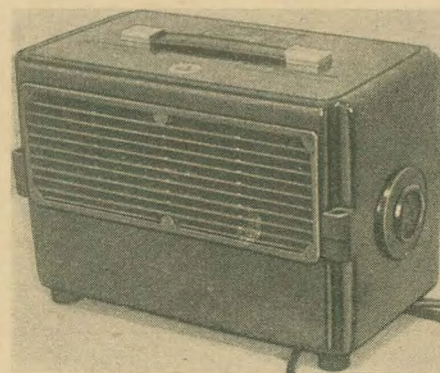
### Spannungsgleichhalter Sgh 200

VEB Schwermaschinenbau „Heinrich Rau“

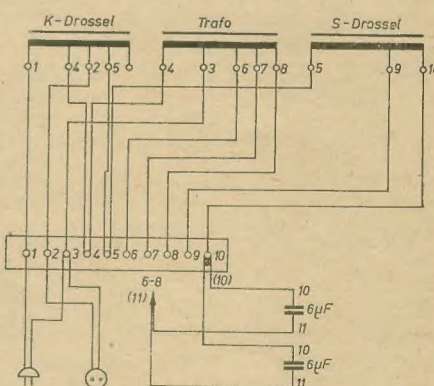
Der Spannungsgleichhalter Sgh 200 regelt selbständig. Ein Nachstellen von Hand ist nicht erforderlich.

#### Technische Daten

Belastbarkeit:	200 VA bei $\cos \varphi = 1$
Eingangsspannung:	220 V + 10 — 30% 50 Hz
Ausgangsspannung bei einer Last von 25 ... 200 VA:	220 V ± 3%
Abweichung der Ausgangsspannung bei Frequenzänderung von ± 1%:	± 2%
Ausgangsspannung bei Leerlauf:	220 V ± 5%
kurzschlußfest	
Gehäuseabmessungen:	330 × 235 × 195 mm
Gewicht:	10,8 kp



Spannungsgleichhalter Sgh 200, VEB Schwermaschinenbau „Heinrich Rau“



Schaltung des Spannungsgleichhalters Sgh 200

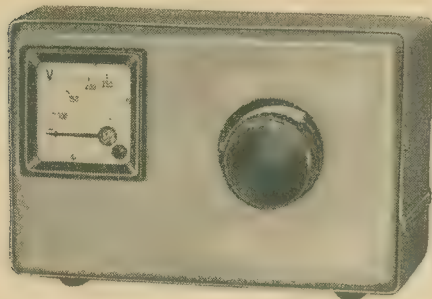


## Stelltransformator Typ 5

VEB Funkwerk Dabendorf

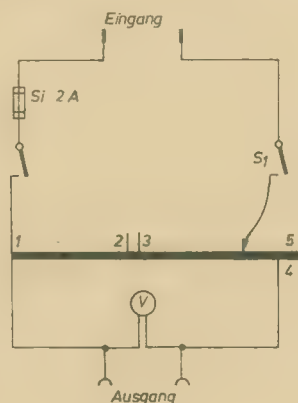
Der Stelltransformator Typ 5 ist für den Anschluß an ein Wechselspannungsnetz von 220 V vorgesehen. Die geregelte Spannung wird einer an der Rückseite befindlichen Steckdose entnommen und von dem Meßgerät an der Frontseite angezeigt.

Wenn der ordnungsgemäße Anschluß erfolgt



Stelltransformator Typ 5, VEB Funkwerk Dabendorf

ist, kann der Stelltransformator durch Betätigen des Drehknopfes nach rechts eingeschaltet und die Spannung auf 220 V eingeregelt werden. Die Normalspannung von 220 V ist durch eine rote Marke gekennzeichnet.



net. Danach wird das angeschlossene Fernsehgerät, Rundfunkgerät und dergleichen in Betrieb genommen. Während des Betriebes muß die Spannung am Instrument kontrolliert werden. Entspricht die Spannung nicht der Normalspannung, so ist diese durch Betätigen des Drehknopfes einzuregulieren. Der Stelltransformator ist mit einer mitteltragen Feinsicherung 2 A abgesichert.

### Technische Daten

Eingangsspannung:	165 ... 242 V 50 Hz
Ausgangsspannung:	220 V stufenlos regelbar
Ausgangsleistung:	300 VA max.
Sicherung:	2 A (mittelträge)
Abmessungen:	220 x 148 x 150 mm
Gewicht:	etwa 4,3 kp

### ◀ Schaltung des Stelltransformators Typ 5

## Spannungsregler „Constant“ Typ S 2

VEB Braunkohlenwerk Bitterfeld

Das Gerät wird über die Anschlußsnur mit dem Netzstecker an das 220-V-Netz angeschlossen. Der Netzstecker des Fernsehgerätes wird in die Steckdose, die auf dem Stecker des „Constant“ montiert ist, eingesteckt. Durch Drehen des Schaltknopfes auf den ersten Kontakt erhält der Stelltrafo

unabhängig. Durch Verschieben des Abblendkegels ist die Zimmerhelligkeit einstellbar.

### Ausfall der Sollwertanzeige

Bleibt eine Hälfte der Sichtscheibe (Sollwertanzeige) trotz Verstellen des Drehknopfes

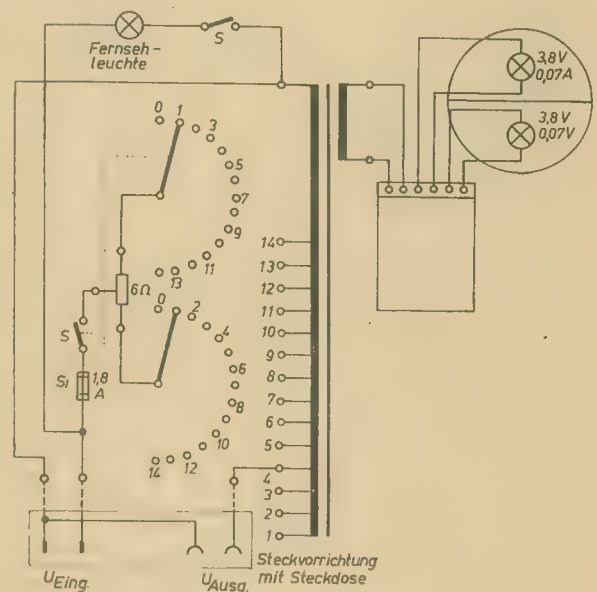
schwarze Schraubkappe heraus, wechselt die Feinsicherung aus und schraubt die Kappe wieder ein.

Das Gerät darf nicht auf eine weiche Unterlage gestellt werden, da sich sonst die Füße eindrücken und die Kühlung beeinträchtigt wird.



Spannungsregler „Constant“ Typ S 2, VEB Braunkohlenwerk Einheit, Bitterfeld

### Schaltung des Spannungsreglers „Constant“ Typ S 2 ▶



Spannung. Die „Aus“-Stellung ist mit einer 0 gekennzeichnet. Bevor das Fernseh- bzw. Rundfunkgerät eingeschaltet wird, ist die Höhe der Spannung an der Sollwertanzeige zu kontrollieren und der Sollwert einzustellen. Die Sollwertanzeige ist funktionsfähig, wenn beide Hälften der Sichtscheibe am Sichtgerät aufleuchten.

Für die Sollwertanzeige gilt das bereits für den Stelltransformator „Stella“ gesagte. Mit dem Drehknopf des Stelltrafos wird die Stufe eingestellt, die die kleinste Helligkeitsdifferenz zwischen den beiden Sichtscheibenhälften zuläßt.

Der Stufenschalter des Stelltrafos hat 14 Stufen. Damit ist es möglich, eine Gerätespannung von 220 V einzustellen, solange die Netzspannung im Bereich zwischen 165 und 242 V liegt.

Die Fernsehleuchte wird durch den an der Rückseite angebrachten Druckschalter eingeschaltet. Ihr Betrieb ist vom Stelltrafo

dunkel, so ist die darunter befindliche Glühlampe (3,5 V, 0,07 A) defekt. Da die in dem Anzeigegegerät zur Verwendung kommenden Glühlampen sorgfältig gealtert und sortiert sind, muß bei Ausfall einer Lampe stets das Lampenpaar gewechselt werden.

Ersatzlampenpaare sind unter der Bezeichnung *Ersatzlampenpaar für den elektrischen Sollwertanzeiger SWA 1/2* im Fachhandel erhältlich.

Die 1,6-A-Gerätefeinsicherung befindet sich im Fußunterteil des Stelltrafos und ist von unten zugänglich. Man schraubt die kleine

### Technische Daten

#### Stelltrafo Typ S 2 — Spartransformator

Netzspannung:	165 ... 242 V 50 Hz
Ausgangsleistung:	200 VA
Stufenzahl:	14 Stellungen
Gerätesicherung:	1,6 A

#### Fernsehleuchte

Netzspannung:	220 V
Lampenleistung:	25 W
Lampenart:	Tropfenlampe mit E-14-Sockel
Gewicht:	etwa 3,5 kp



## Stelltransformator Typ 1222

Feutron Karl Weiss KG. Greiz

Mit Hilfe des Stelltransformators Typ 1222 lassen sich durch stufenweise Einstellung sowohl Unterspannungen bis 165 V als auch erhöhte Spannungen bis 242 V auf die normale Netzspannung von 220 V verändern.

Der Stelltransformator wird mit der fest eingebauten Geräteschnur an das Netz von 220 V angeschlossen. In die Steckdose auf der Geräterückseite wird der Stecker des Rundfunk- oder Fernsehgerätes gesteckt, nachdem man sich überzeugt hat, daß der Schalter-

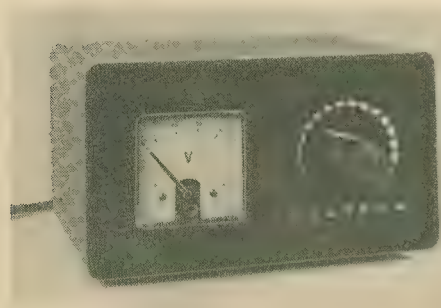
Eingangsspannung eingestellt. Steht dann der Zeiger des Voltmeters noch links der roten 220-V-Markierung, wird der Schalterknebel weiter nach rechts bewegt, bis sich der Zeiger mit der Markierung deckt.

Bei Betätigung des 14stufigen Rastenschalters wird die Spannung am Verbraucher nicht unterbrochen. In der vierten Schaltstellung von links (breites, weißes Rastfeld) zeigt das Voltmeter die Eingangsspannung an, die im Normalfall 220 V beträgt.

Rückseitig am Gerät ist eine Feinsicherung angebracht.

### Technische Daten

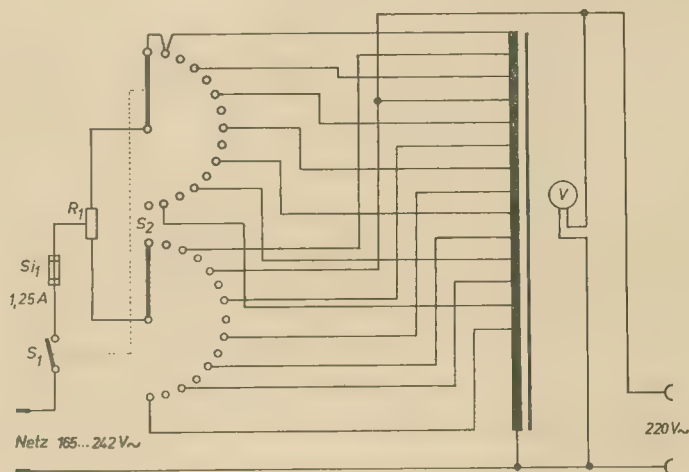
Eingangsspannung:	165 ... 242 V 50 Hz
Belastbarkeit:	200 VA
Feinsicherung:	T 1,25 B TGL 0-41571
Abmessungen:	etwa 180 × 105 × 155 mm
Gewicht:	etwa 3,1 kp



Stelltransformator Typ 1222, Feutron Karl Weiss KG. Greiz

knebel auf der Gerätevorderseite auf 0 steht. Wird nun der Schalterknebel bis zum ersten Rastpunkt nach rechts gedreht, ist das Gerät eingeschaltet und gleichzeitig auf die höchste

Schaltung des Stelltransformators Typ 1222



## Die Fernbeobachteranlage FBA 4 mit der UW-Fernsehkamera FK 6

MANFRED HERRMANN

Mitteilung aus dem VEB Meßelektronik, Berlin

### Aufbau und Verwendungszweck

Auf der Grundlage der im VEB Meßelektronik, Berlin, serienmäßig gefertigten Fernbeobachteranlage FBA 2 entstand die für Unterwasserbeobachtungen anwendbare Fernbeobachteranlage FBA 4. Außer den bereits in radio und fernsehen 13 (1964) H. 5 und 6 beschriebenen, zur Anlage FBA 2 gehörenden Geräten (Kamerabetriebsgerät KB 2, Stromversorgungsgerät SVG 2, Fernbildschreiber FB 2 sowie die Fernbedienungszusätze FZK 2,

FZO 2 und FZB 2) enthält die FBA 4 (Bild 1) als Anlagenkopf die UW-Fernsehkamera FK 6, die UW-Leuchten mit dem Fernbedienungszusatz FZL 1, einen Anschlußkasten und eine Kabeltrommel. Bei Bedarf kann der Anlagenumfang u. a. durch folgende Geräte erweitert werden: Schemelgestell, Klarsichtvorsatz, Kabelverstärker.

Die FK 6 ist über UW-Kamerakabel, Anschlußkasten sowie normales Kamerakabel mit dem Kamerabetriebsgerät KB 2 ver-

bunden und dieses über mehradrige Kabel mit dem Stromversorgungsgerät SVG 2. Dadurch war es möglich, einige für den Betrieb der Fernsehkamera notwendigen Baugruppen, wie Heiz- und Anodenspannungsversorgung und die Ablenkergeräte, in den Geräten SVG 2 und KB 2 unterzubringen. Somit konnte die FK 6 trotz des dickwandigen Druckgehäuses in ihren Abmessungen relativ klein gehalten werden.

Die Fernbedienung der Anlage erfolgt von den verschiedenen Fernbedienungszusätzen aus. Die elektrischen Regelgrößen der Kamera und des Bildschreibers werden am FZK 2 bzw. am FZB 2 eingestellt, die fernsteuerbare Optik wird vom FZO 2 aus betätigt. Die UW-Leuchten werden über einen Trennregeltransformator aus dem Netz gespeist, und die auf 110 V herabgesetzte Spannung wird über den Fernbedienungszusatz FZL 1 wahlweise auf eine oder beide UW-Leuchten geschaltet. Die Einspeisung der Beleuchtungsspannung in das UW-Kabel erfolgt im Anschlußkasten.

Die Überwassergeräte der Anlage FBA 4 sind in schwallwasserdichter Aluminiumgußausführung hergestellt und daher rauen Betriebsbedingungen besonders angepaßt.

Die UW-Fernsehkamera FK 6 hat die Aufgabe, das optische Bild der UW-Aufnahmeszene in ein Fernsehsignal umzuwandeln, das

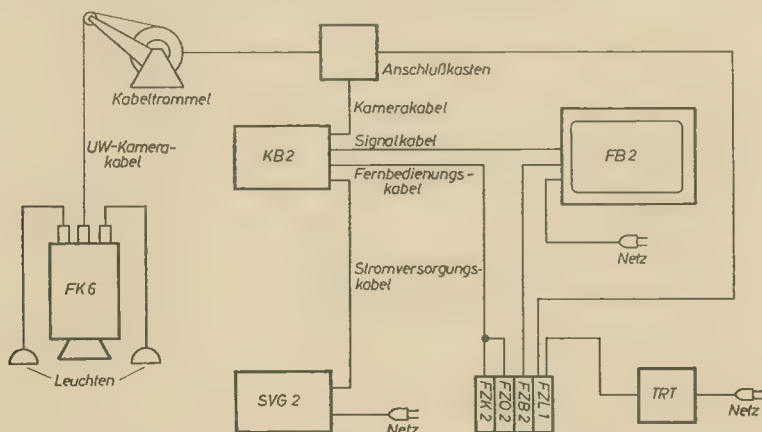


Bild 1: Blockschaltbild der Fernbeobachteranlage FBA 4 mit UW-Fernsehkamera FK 6





Bild 2: FK 6 mit Schemelgestell bei der Erprobung an der Saldenbach-Talsperre (im Hintergrund die Kabeltrommel mit eingeklapptem Ausleger)



Bild 3: UW-Fernsehkamera FK 6 in Grundausrüstung

dann über Kabel zu den nachfolgenden Geräten der Anlage bis zum Bildschreiber übertragen wird. Die FK 6 kann für zeitlich unbegrenzte Fernsehbeobachtungen aller Art bis zu einer Wassertiefe von 150 m eingesetzt werden.

#### UW-Fernsehkamera FK 6

Das zylindrische Druckgehäuse ist aus seewasserbeständigem Leichtmetallguss hergestellt und mit einem Polyesterfarbüberzug versehen. In die Vorderseite ist eine 10 mm starke Klarsichtscheibe eingelassen. Den hinteren Abschluß bildet ein Flansch mit gummigedichteten Stopfbuchsen zur Kabeldurchführung. Mit Hilfe der im Gehäuse enthaltenen Gewindebohrungen kann die Kamera entsprechend den Anwendungsfällen in verschiedene

Halterungen (Bild 2) eingeschraubt werden. Für die Grundausrüstung (Bild 3) ist ein Bügel mit Kabel-Zugentlastung und ein Ausleger mit zwei UW-Leuchten vorgesehen.

Das Gewicht der FK 6 in Grundausführung beträgt in Luft etwa 28 kp und im Wasser etwa 12 kp. Die Abmessungen über alles sind etwa 1300 x 500 x 530 mm.

Der zylindrische Kameraeinschub ist am rückwärtigen Gehäuseflansch montiert und kann somit für Servicezwecke samt Deckel aus dem Gehäuse herausgezogen werden. Bei einem veränderten mechanischen Grundaufbau des Kameraeinschubes wurden die technischen Daten und die Schaltung der Fernkamera FK 2 beibehalten (Bild 4).

Als Feuchtigkeitssmelder dienen zwei an die Pole einer Gleichspannungsquelle angeschlos-

sene und durch saugfähiges Papier voneinander isolierte Metallteile. Dringt Wasser in das Druckgehäuse, so wird das Papier feucht und damit leitend. Ein Relaiskreis wird geschlossen, und im FZL 1 werden akustische und optische Warnsignale ausgelöst.

#### UW-Leuchten

Die UW-Scheinwerfer wurden vom VEB Leuchtenbau, Berlin, in Zusammenarbeit mit dem VEB Meßelektronik, Berlin, entwickelt. Als günstigste Lösung wurden geflutete Gehäuse angesehen, bei denen der Glühlampenkolben vom Wasser umspült wird und nur eine Abdichtung zwischen der wasserdichten Lampenfassung und dem Glaskolben erforderlich ist.

Es wurden Projektionslampen 500 W, 110 V vom VEB Narva, Plauen, eingesetzt, die dem maximal auftretenden Druck von etwa 15 atü ohne Risiko standhalten.

#### Kabeltrommel und das UW-Spezialkabel

Für größere Tauchtiefen ist es günstig, zum Auf- und Abwickeln des Kamerakabels die in Zusammenarbeit mit dem VEB Maschinenfabrik Torgelow entwickelte Kabeltrommel mit Ausleger (Bild 2) zu verwenden. Diese dient außerdem beim Aufholen und Niederbringen der Kamera als Seilwinde und verringert die Gefahr von Kabelschäden. Da es sich

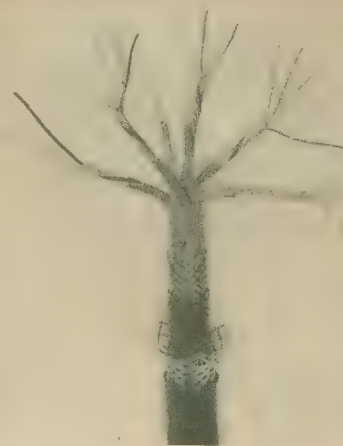


Bild 5: 31adriges UW-Fernsehkamerakabel mit Stahlbewehrung

bei dieser Kabeltrommel um eine schleiferlose Ausführung handelt, muß außer dem einlagig aufgewickelten UW-Kabel ein Hilfskabel auf einer Innentrommel verwendet werden. Der Antrieb erfolgt über eine Handkurbel oder durch einen Elektromotor mit Getriebe. Das UW-Kabel (VEB Kabelwerk Vacha) besitzt 31 voneinander isolierte Drahtadern zur Übertragung der verschiedenen Steuer-, Signal- und Hilfsspannungen. Um ein zusätzliches Halteseil für die Kamera zu ersparen, wurde das Kabel mit einer Stahlbewehrung versehen und kann somit hohe Zugkräfte aufnehmen (Bild 5).

#### Literatur

- [1] Kaiser, S.: UW-Fernsehversuche an Talsperren: Bild und Ton 15 (1962) H. 12
- [2] Dieterich, W.: Die Fernbeobachteranlage FBA 2, radio und fernsehen 13 (1964) H. 5 und 6
- [3] Herrmanns, M.: Unterwasser-Fernsehen: radio und fernsehen 12 (1963) H. 23

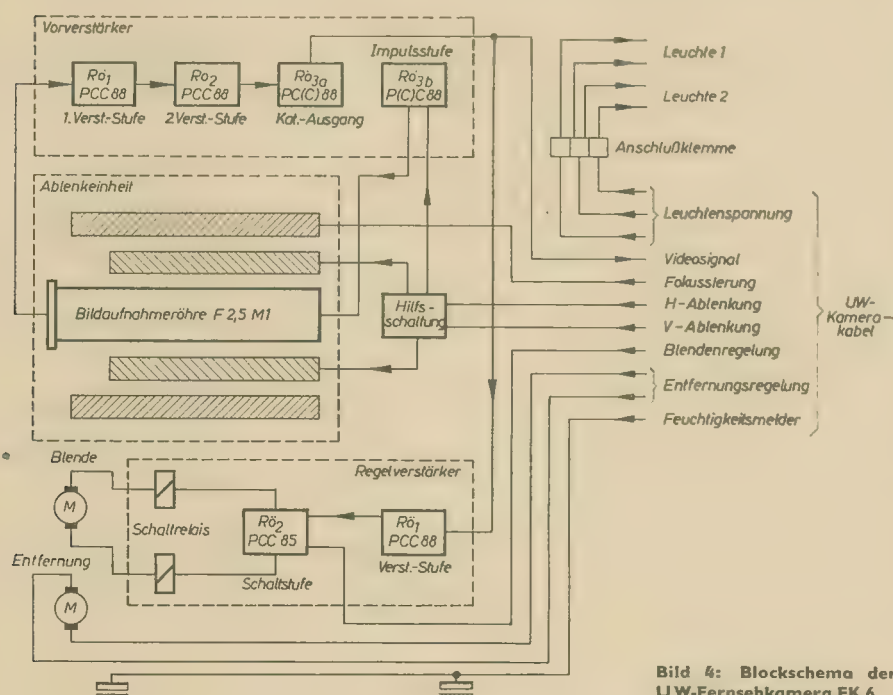


Bild 4: Blockschemata der UW-Fernsehkamera FK 6



# Der Aprel-Drehko — ein Elektrolyt-Drehkondensator für sehr hohe Kapazitätswerte

ALOIS SHOCKINGER

## Prinzip

Bei normalen Kondensatoren wird bekanntlich eine bedeutende Kapazitätssteigerung dadurch erreicht, daß die Alufolie des Kondensatorwickels elektrolytisch oxydiert wird und diese Oxydschicht das Dielektrikum bildet. Derartige Kondensatoren sind als Elektrolytkondensatoren seit langem bekannt. Der Gedanke, dieses Verfahren auch bei Drehkondensatoren anzuwenden, erscheint naheliegend. Nach dem Vorschlag von *Stussko* und *Bleching* (Phänomen-Chemie Kyritz/Kn.) wird ein normaler Drehko Aufbau in einem luftdichten Behälter verschlossen.



Bild 1: Versuchsmuster eines Aprel-Drehkos für eine Endkapazität von 10 µF

Der Behälter wird mit einem Elektrolyten gefüllt und dann durch elektrolytische Formierung mittels Gleichspannung der Stator — der natürlich aus Aluminiumplatten bestehen muß — mit der als Dielektrikum dienenden Oxydschicht versehen. Kapazitäts-Endwerte von einigen 100 µF sind leicht erreichbar. Wegen der Besonderheiten der Technologie lassen sich allerdings im Moment nur Niedervolt-Elektrolyt-Drehkondensatoren herstellen, die bis etwa 14 V belastbar sind.

Außerdem ist es erforderlich, im Betrieb eine ständige Gleichspannung anzulegen, damit die Drehkoplatten ständig nachformiert werden. Das Anlegen reiner Wechselspannung ist also nicht möglich, vielmehr muß der Drehko aperiodisch — d. h. mit Vorspannung — betrieben werden. Hieraus erklärt sich die von den Erfindern vorgeschlagene Kurzbezeichnung „Aprel-Drehko“, die aus „aperiodischer Elektrolyt-Drehkondensator“ abgeleitet ist.

## Herstellung

Ausgegangen wird von einem normalen Luftdrehkondensator üblicher Bauart und geeigneter Plattengröße. Nach Einbau in ein flüssigkeitsdichtes Isoliergehäuse, wobei auf gute Dichtung der Anschlußdurchführungen zu achten ist, wird zunächst der Elektrolyt angesetzt. Er besteht aus Kaliumhydroxyd in wässriger Lösung, das in Form der bei NC-

Akkus benutzten Kalilauge handelsüblich ist. Die hierfür übliche Konzentration wird mit destilliertem Wasser im Verhältnis 1 : 1 verdünnt und dem fertigen Gemisch noch 2-Gew.-% Aluminium aceticum purum crystallisatum zugegeben. Letzteres ist als „Essigsaure Tonerde“ in Apotheken erhältlich und bewirkt einen Verschuß der Poren in der Oxydschicht der Platten. Zwecks besserer Lösung wird das Gemisch leicht erwärmt und nach Erkalten filtriert. Zu beachten ist, daß der herausgedrehte Rotor ebenfalls völlig mit Lösung bedeckt ist, da sonst der Kapazitätsverlauf ungleichmäßig wird.

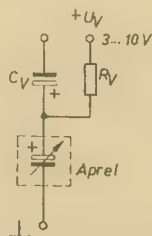


Bild 2: Prinzipschaltung des Aprel-Drehkos

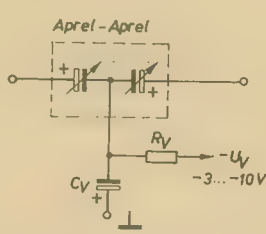


Bild 3: Anschaltung eines Doppel-Aprel-Drehkos (Prinzip)

## Formierung

Über einen Vorwiderstand wird der so präparierte Aprel-Drehko an eine Gleichspannung von 8 ... 12 V angeschlossen, wobei Vorwiderstand und Spannung so bemessen werden, daß sich zu Beginn der Formierung ein Strom von 0,2 ... 0,3 A je cm² Plattenoberfläche des Stators einstellt. Der Stator wird mit dem Pluspol verbunden und ist auch späterhin der Plusanschluß des Aprel-Drehkos. Die Rotorplatten bleiben blank und werden durch die Leitfähigkeit des Elektrolyten gewissermaßen dem Stator „elektrisch ge-

nähert“. Hieraus und aus der guten Dielektrizitätskonstante resultiert die verblüffende Kapazität des Aprel-Drehkos.

Die Kalilauge wird bei der Formierung ständig regeneriert und nicht verbraucht. Der freiwerdende Wasserstoff steigt in Form von Gasbläschen auf, weshalb das Aprel-Drehko-Gehäuse während der Formierung nicht geschlossen werden darf. Die Vermischung des Wasserstoffgases mit dem Sauerstoff der Luft ergibt Knallgas, das in größerer Ansammlung bekanntlich sehr explosiv ist. Um unliebsame Zwischenfälle zu vermeiden, wird der Wasserstoff zweckmäßig sofort beim Entweichen angezündet. Das nach Anzünden entstehende rasante Knattern der Knallgasbläschen ist ungefährlich und für diesen Arbeitsgang typisch. Sobald die Wasserstoffentwicklung aufhört, ist der Formierprozeß beendet.

Der Formierungsstrom ist dann auf den endgültigen konstanten Reststrom des Aprel-Drehkos zurückgegangen und liegt für die Plattengröße eines normalen 500-pF-Luftdrehkondensators bei entsprechender Technologie je nach Rotorstellung bei 50 ... 300 µA. Die erreichbare Kapazität für die gleiche Plattengröße liegt dann bei 25 ... 250 µF.

Der Verlustfaktor ist mit  $\tan \delta \approx 0,05 \dots 0,1$  ebenfalls verblüffend.

## Schaltung

Der Anschluß des Aprel-Drehkos erfolgt grundsätzlich nach Bild 2. Die Vorspannung  $U_V$  wird über einen Widerstand zugeführt, der im wesentlichen die Aufgabe hat, einen Kurzschluß der Drehko-Wechselspannung über die Vorspannungsquelle zu vermeiden. Selbstverständlich können nach dem gleichen Verfahren auch Doppel-Aprel-Drehkos hergestellt werden, wie sie für viele Schaltungen benötigt werden. Bild 3 zeigt eine hierfür in Frage kommende Prinzipschaltung.

## Messen des Reststromes von Elkos

Die Größe des Reststromes ist unter normalen Betriebsbedingungen in erster Linie von der Dichte und chemischen Reinheit des Elektrolyten und dem Zustand der Oxydschicht auf der Anode des Kondensators abhängig. Bei der Messung des Reststromes ist jedoch eine gewisse Unsicherheit im Meßergebnis nicht völlig zu vermeiden, da die Kondensatoren verschiedener Fabrikate auch etwas verschiedene Restströme aufweisen.

Der nach Anlegen einer Gleichspannung durch den Elektrolytkondensator fließende Reststrom  $I_R$  kann nach folgender Faustformel ermittelt werden:

$$I_R [\mu A] = 0,1 \cdot C \text{ in } \mu F \cdot U \text{ in V} + 100.$$

Zur Messung des Reststromes soll eine einfache Schaltung gezeigt werden, die von den meisten Amateuren selbst gebaut werden kann (Bild).

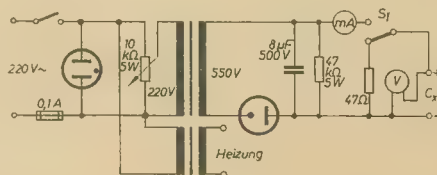
Nach erfolgter Messung des Reststromes ist der Schalter  $S_1$  wieder in die Nullstellung zu

schalten, damit sich der Prüfkondensator über den 47-Ω-Widerstand entladen kann. Ferner ist es notwendig, den Prüfling mindestens 5 min unter Spannung zu lassen, bevor die endgültige Messung vorgenommen wird. Die angelegte Spannung soll die Betriebsspannung des Prüflings nicht überschreiten.

Für die Gleichrichtung können die Röhren AZ 11/12, EZ 80/81 oder Selengleichrichter verwendet werden.

Für die Strommessung wird ein Drehspulinstrument bis 100 mA und für die Spannungsmessung ein Drehspulinstrument bis 600 V verwendet.

R. St.





## Kennwerte der diffusionslegierten Germanium-pnp-HF-Transistoren GF 120 (OC 880) bis GF 122 (OC 882)

Diesen Ausführungen liegt der am 3. 10. 1963 in Weimar auf der Fachtagung „Halbleiterbauelemente in der Rundfunk- und Fernsehempfangstechnik“ gehaltene Vortrag „Kennwerte der Transistoren OC 880 bis OC 883 und ihre Messung“ zugrunde. Die Überarbeitung des Vortrages entspricht dem Stand vom 15. 2. 1964.

### Verwendung

- GF 120 HF-Transistor für Vor-, Misch- und ZF-Stufen im MW- und LW-Bereich
- GF 121 HF-Transistor für Vor- und Mischstufen im KW-Bereich bis 8 MHz
- GF 122 HF-Transistor für ZF-Stufen von 10,7 MHz

### Bauform

Die Bauform der seit Anfang des Jahres 1963 im VEB Halbleiterwerk gefertigten diffusionslegierten pnp-Flächentransistoren der Typenreihe OC 880 bis OC 883 [1] wurde auf das TO 18-Gehäuse umgestellt (Bild 1). Damit entstand die Typenreihe GF 120 bis GF 122, bei der der Kollektorschluß isoliert herausgeführt ist, während ein vierter Anschluß („Schirm“) auf Gehäusepotential liegt.

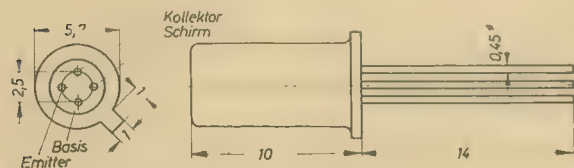


Bild 1: Abmessungen

### Zulässige Höchstwerte (für $\vartheta_a = 45^\circ\text{C}$ )

- $U_{CB0} = 25\text{ V}$ ;  $I_C = 10\text{ mA}$ ;  $\pm I_B = 1\text{ mA}$
- $U_{EB0} = 0,5\text{ V}$ ;  $I_E = 11\text{ mA}$
- $U_{CE} = 15\text{ V}$  gilt für ein Verhältnis der Widerstände  $R_B/R_E \leq 50$ , wobei

$$R_B = \frac{R_1 \cdot R_2}{R_1 + R_2} \leq 100\text{ k}\Omega$$

zu wählen ist (Bild 2).

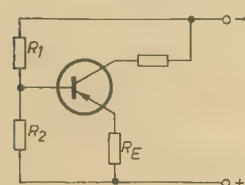


Bild 2: Einstellung der Basisspannung

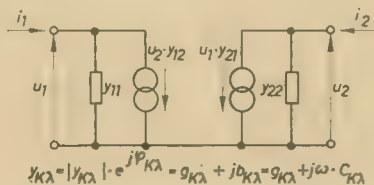


Bild 3: Transistor-y-Ersatzschaltbild zu Tabelle 1

### Statische Kennwerte ( $\vartheta_a = 25^\circ\text{C} - 5\text{ grd}$ )

- $I_{CB0} = 4 ; \leq 7,5\text{ }\mu\text{A}$  bei  $U_{CB} = 6\text{ V}$
- $I_{CER} = 20 ; \leq 100\text{ }\mu\text{A}$  bei  $U_{CE} = 6\text{ V}$  ( $R_{BE} = 33\text{ k}\Omega$ )
- $U_{CB0} \geq 25\text{ V}$  bei  $I_C = 100\text{ }\mu\text{A}$
- $U_{EB0} \geq 0,5\text{ V}$  bei  $I_E = 100\text{ }\mu\text{A}$

Wärmewiderstand  $R_{th} \leq 0,6\text{ grd/mW}$

Die angegebenen Mittelwerte und Arbeitspunktabhängigkeiten sind als informatorische Angaben zu betrachten.

Zu einem späteren Zeitpunkt werden diese Informationswerte insbesondere durch die Angabe von Mittelwerten und Arbeitspunktabhängigkeiten der y-Parameter bei den Frequenzen 0,5 und 2 MHz ergänzt werden.

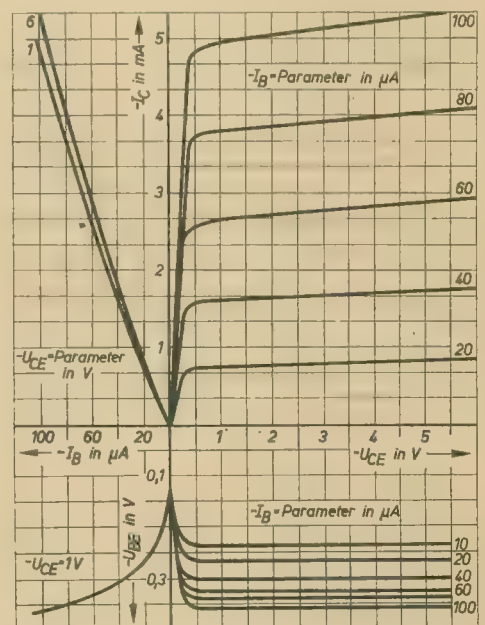


Bild 4: Mittleres Kennlinienfeld in Emitterschaltung der Typen GF 120, 121, 122



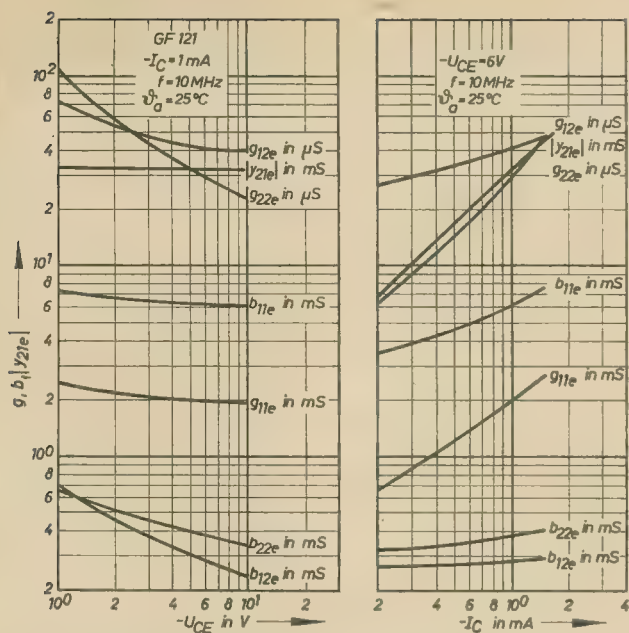
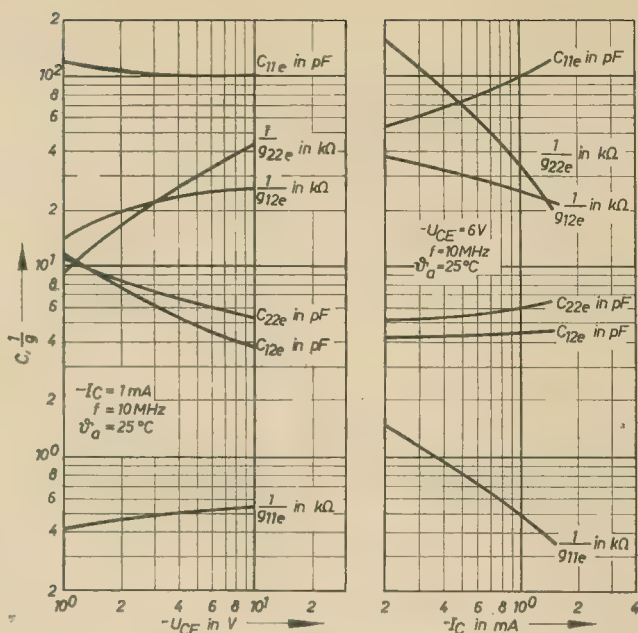


Bild 5: Arbeitspunktabhängigkeiten des Typs GF 121 ▲



▼ Bild 6: Arbeitspunktabhängigkeiten des Typs GF 122

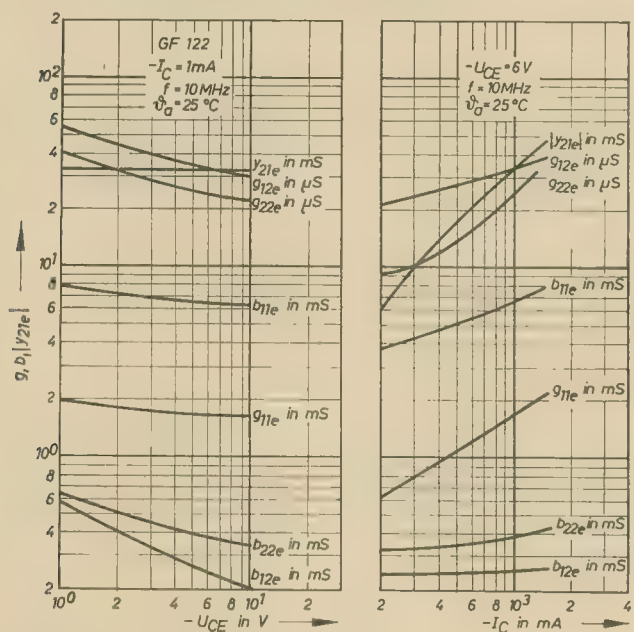


Tabelle 1: Dynamische Kennwerte

	$h_{21e}$	$f_T$ in MHz	$g_{11e}$ in mS	$C_{11e}$ in pF	$g_{12e}$ in $\mu S$
$-U_{CE}$ in V	6	6	6	6	6
$-I_C$ in mA	1	0,5	1	0,5	1
f in MHz	0,001		2	10	2
GF 120	50	30; $\geq 10$	$\leq 1$	100; $\leq 175$	$\leq 5$
GF 121	50	50; $\geq 25$	2; $\leq 4$	100; $\leq 175$	40; $\leq 100$
GF 122	50	50; $\geq 30$	1,8; $\leq 2,5$	105; $\leq 175$	33; $\leq 67$

	$C_{12e}$ in pF	$ y_{21e} $ in mS	$g_{22e}$ in $\mu S$	$C_{22e}$ in pF
$-U_{CE}$ in V	6	6	6	6
$-I_C$ in mA	0,5	1	0,5	1
f in MHz	2	10	2	10
GF 120	5; $\leq 9$	17; $\geq 10$	$\leq 20$	5; $\leq 15$
GF 121		4,5; $\leq 6$	32; $\geq 22$	30; $\leq 100$
GF 122		4; $\leq 5$	33; $\geq 28$	25; $\leq 50$

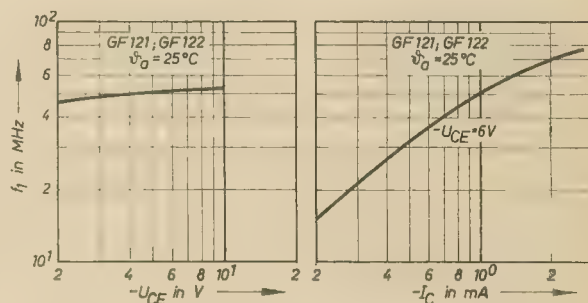


Bild 7: Arbeitspunktabhängigkeit der  $f_i$ -Frequenz der Typen GF 121 und GF 122

## Literatur

- [1] Halbleiterinformationen (39), Germanium-pnp-Legierungs-Diffusionstransistoren OC 880 bis OC 883, radio und fernsehen 12 (1963) H. 9 S. 290



# Die B 13 S 7 – eine Oszillografenröhre mit hoher Schreibgeschwindigkeit und großer Ablenkempfindlichkeit für die Meßtechnik

S. BREMEIER

Mitteilung aus dem VEB Funkwerk Erfurt

An eine moderne Oszillografenröhre werden hohe Anforderungen gestellt, die, entsprechend dem jeweiligen Anwendungszweck, entgegengesetzte Tendenzen aufweisen können. Bei unseren modernen Oszillografenröhren sollen möglichst viele hervorragende und breiten Anwendungsgebieten entgegenkommende physikalische Eigenschaften in einer Röhre vereinigt werden. Je nach der Hauptanwendungsrichtung werden dabei bestimmte gewünschte Eigenschaften besonders günstig gestaltet. Durch die Konstruktion von Oszilloskopen möglichst großer Anwendungsbreite bei höchster Meßgenauigkeit und sehr hoher Empfindlichkeit über ein sehr breites Frequenzspektrum hinweg hat sich die Oszillografenröhrenentwicklung, insbesondere durch die in die Meßtechnik eingedrungenen Probleme der Impulstechnik, auf folgende Eigenschaften orientiert [1]:

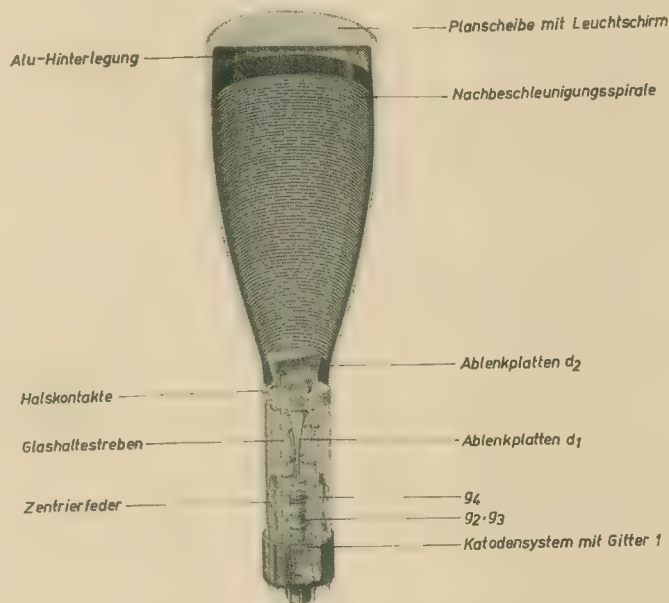
1. große Ablenkempfindlichkeit
2. hohe Schreibgeschwindigkeit
3. hohes Auflösungsvermögen
4. geringe Abbildungsfehler
5. große Helligkeit bei gutem Kontrast
6. geringe Leuchtfleckabmessungen
7. kleiner Spannungsbedarf für die Helligkeitssteuerung

8. hohe Grenzfrequenz sowohl für die Ablenkelektroden als auch für die Helligkeitssteuerungselektrode

Für bestimmte Anwendungsfälle benötigt man auch Varianten in den Schirmeigenschaften, insbesondere der Nachleuchtzeiten der Schirme.

Um eine große Helligkeit zu erhalten, muß man mit hohen Anodenspannungen arbeiten. Hohe Anodenspannungen verringern aber die Ablenkempfindlichkeit. Die Längenabmessung der Röhre beeinflusst die Größe der Ablenkempfindlichkeit ebenfalls wesentlich: Lange Wege vom Ablenkmittelpunkt der Ab-

Bild 1: Prinzipieller Aufbau der B 13 S 7



Mit der B 13 S 7 wurde eine Röhre auf den Markt gebracht, die weiten Anforderungen der modernen Oszilloskopie entgegenkommt und die der oszillografenbauenden Geräteindustrie sowie der Meßtechnik weitere Möglichkeiten eröffnet. Die wichtigsten Daten der Röhre sind nebenstehend aufgeführt (s. a. [2] und [3]).



Bild 2: Aufgefüßtes System (Strahlsystem, Ablenkeinheiten und Korrektorelektroden)

lenkeinheit zum Schirm verbessern die Ablenkempfindlichkeit und umgekehrt. Mit enger werdenden Ablenkplattenabständen wiederum wird eine Verbesserung der Ablenkempfindlichkeit erreicht, jedoch sind die Ablenkplattenabstände an der Seite des Katodenstrahleintritts in die Plattenpaare bei den modernen Röhren nur wenig größer als die Querschnittsabmessung des Katodenstrahls, so daß, um die Ablenkplattenströme klein zu halten, eine weitere Verkleinerung der Abstände nicht mehr möglich ist und eine sehr hohe mechanische Präzision in der Systemherstellung erforderlich wird. Die Forderung an die Präzision bezüglich der Einhaltung von sehr geringen Toleranzen bei der Herstellung des Strahlsystems und der dazugehörigen Ablenkeinheiten ergibt sich ebenfalls durch die Forderung nach geringen Abbildungsfehlern und hoher Fleckschärfe, wobei unter geringen Abbildungsfehlern ein gutes lineares Verhalten der Auslenkung des Elektronenstrahls zur Ablenkspannung verstanden wird. Um den Toleranzanforderungen bei der Systemherstellung gerecht zu werden, reichte höchste Genauigkeit der Vorrichtungen und Werkzeuge und auch der Einzelteile nicht mehr aus. Es mußten darüber hinaus in der

Fortsetzung auf Seite 210

## Betriebsdaten

Heizspannung $U_f$	6,3 V
Heizstrom $I_f$	0,35 A
Gesamtbeschleunigungsspannung $U_a$	10 kV
Fußpunktspannung des Nachbeschleunigungswiderstandes $U_{g0}$	1,67 kV
Geometriekorrekturspannung $\Delta U_{g0}$	+ 85 V ... -100 V
Spannung der Ablenkplattenabschirmung $U_{g5}$	1,67 kV
Linearitätskorrekturspannung $\Delta U_{g0}$	+ 85 V ... -100 V
Beschleunigungsspannung $U_{g4}$	1,67 kV
Astigmatismuskorrekturspannung $\Delta U_{g4}$	+ 85 V ... -100 V
Fokussierungsspannung $U_{g2}$	200 ... 450 V
Sperrspannung $U_{g1}$	-50 ... -80 V
Ablenkfaktor Meßplatten $A_{F1}$	6,6 V/cm
Ablenkfaktor Zeitplatten $A_{F2}$	30,5 V/cm

## Grenzwerte

Schirmlast max.	3 mW/cm <sup>2</sup>
$R_{d1}$ max.	100 kΩ
$R_{d2}$ max.	0,8 MΩ
$f_{d1}$ max.	300 MHz
$f_{d2}$ max.	200 MHz
$U_a$ max.	12 kV
$U_a$	6 $U_{g4}$

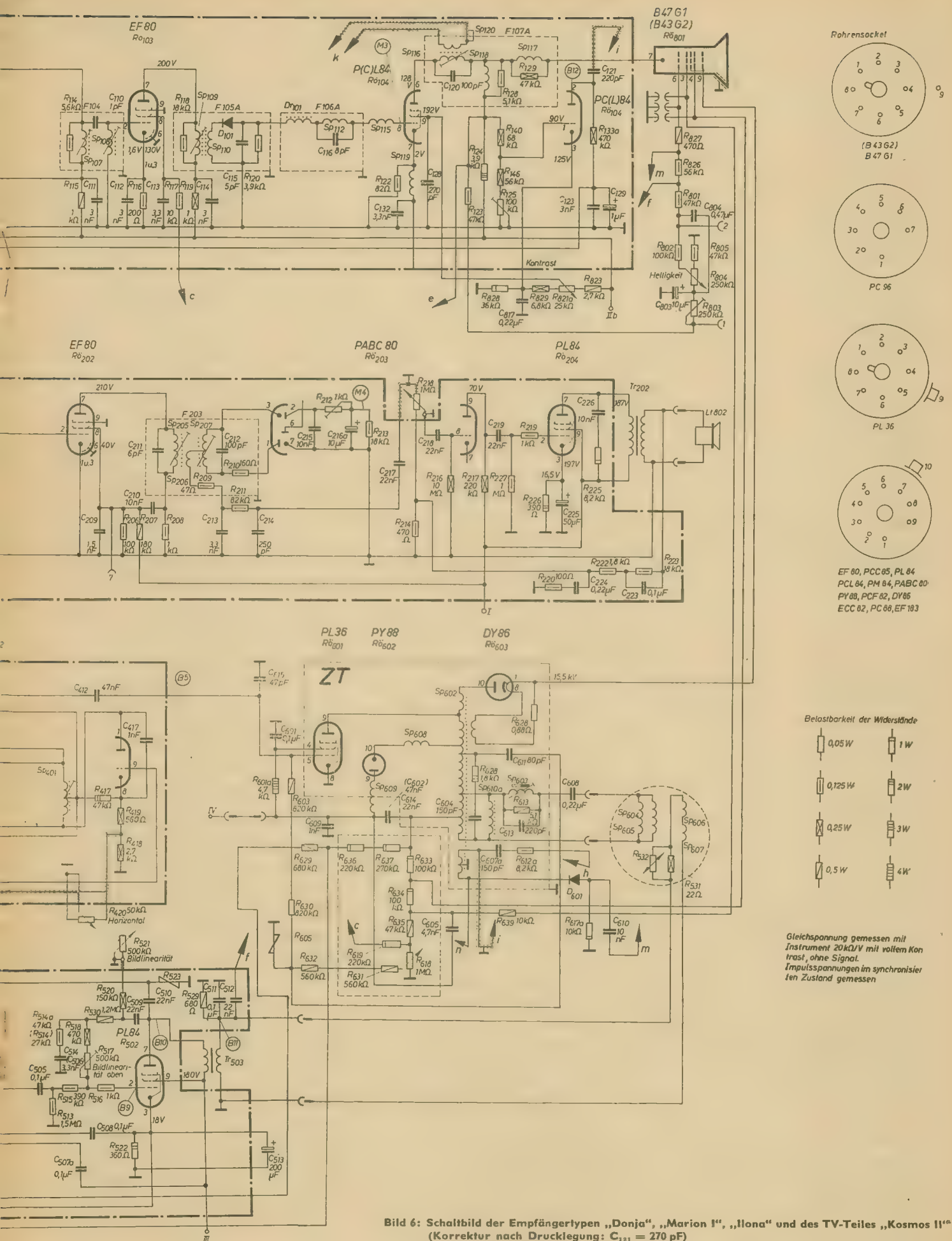
## Abbildungsdaten

Ausschreibbarkeit der Achsen ( $U_a = 10$  kV;  $U_{g4} = 1,67$  kV)  
 $d_1$ -Richtung 40 mm  
 $d_2$ -Richtung 100 mm  
 Bildverzeichnung ( $U_a = 10$  kV,  $U_{g4} = 1,67$  kV)  
 $d_1$ -Richtung max. 1,5 mm] bei einem Raster von  
 $d_2$ -Richtung max. 2,0 mm] 40 x 100 mm Seitenlänge  
 Winkel zwischen  $d_1$ - und  $d_2$ -Achse  $90^\circ \pm 1,5^\circ$











Systemherstellung neue Wege beschritten werden, bei denen alle Zentrierungselemente von einer mechanischen Nachbildung des Katodenstrahls ausgehen, so daß Linsen, Blenden und Ablenkeinheiten exakt konzentrisch zur Systemachse sitzen und mit möglichst geringen elektronen-optischen Fehlern arbeiten.

Die für die Impulstechnik notwendige hohe obere Grenzfrequenz der Röhre, die es in Verbindung mit der hohen Ablenkempfindlichkeit und geeigneten Verstärkern gestattet, auch Impulse mit sehr steilen Flanken abzubilden und genau messen zu können, wird auf die schon bekannte Art der kurzen Zuleitungswege zu den Ablenkplatten über Halskontakte erzielt.

Die große Helligkeit des Leuchtfleckes, eine wesentliche Voraussetzung für eine hohe Schreibgeschwindigkeit der Röhre, wird durch die hohe Anodenspannung — maximal 12 kV — erreicht. Diese erfordert wiederum, um eine hohe Ablenkempfindlichkeit zu erhalten, Gegenmaßnahmen, die durch ein besonders großes Verhältnis der Beschleunigungsspannung  $U_{g1}$  zur Gesamtbeschleunigungsspannung  $U_a$  erreicht werden. Die Feldverteilung im Nachbeschleunigungsraum wird dabei mit Hilfe einer auf die Innenseite des Glaskolbens aufgetragenen Widerstandsspirale so gewählt, daß eine möglichst geringe Verkleinerung der Ablenkempfindlichkeit, bezogen auf das große Verhältnis der Beschleunigungsspannung  $U_{g1}$  zur Gesamtbeschleunigungsspannung  $U_a$ , eintritt. Dabei muß gewährleistet sein, daß das Nachbeschleunigungsfeld keine zusätzlichen Abbildungsfehler bringt.

Der größte Teil der durch den Elektronenstrahl auf der dem Betrachter abgewandten Seite des Leuchtschirmes angeregten Lichtenergie wird für den Betrachter auf Grund von Absorption und diffuser Reflexion, und weil viel Licht von den Leuchtstoffkristallen vom Betrachter weg in den Kolben der Röhre hinein abgestrahlt wird, nicht sichtbar. Eine hinter dem Leuchtschirm aufgebrachte, die Elektronen des Elektronenstrahls nur wenig bremsende, dünne Aluminiumschicht verbessert die Lichtausbeute, da durch eine glatte Aluminiumfolie das von den Leuchtstoffkristallen des Schirmes nach hinten abgestrahlte Licht nach vorn, also für den Betrachter sichtbar, reflektiert wird. Da kein Licht in das Röhreninnere abgestrahlt wird, kann auch keine Aufhellung der nicht durch den Elektronenstrahl angeregten Schirmpartien eintreten, so daß der Kontrast des wiedergegebenen Bildes bzw. Kurvenzuges wesentlich verbessert wird. Dieses an sich durch die Bildröhren- und Radarröhrentechnik bekannte Verfahren der Schirmherstellung mit Aluminiumhinterlegung bringt jedoch bei den ganz anders geformten Schirmflächen und der Differenz in den Größenverhältnissen der Kolben, insbesondere aber durch den Planschirm der Oszillografenröhren, neue Probleme für die Leuchtschirmherstellungstechnologie mit sich.

Durch die hohen Beschleunigungsspannungen und die Art der Leuchtschirmausführung ergeben sich bei der B 13 S 7, gegenüber den normalen Oszillografenröhren, außerordentlich große Helligkeitswerte für den Leucht-

punkt des Katodenstrahls. Sie ermöglichen, daß sich mit in dieser Technik hergestellten Röhren bei geeignetem Filmmaterial Schreibgeschwindigkeiten bis 3000 km/s erreichen lassen.

Die Aluminiumhinterlegung bringt aber für den Anwendungsfall noch eine ganz wesentliche Verbesserung der Eigenschaften der Röhre mit sich: Der nichtleitende Leuchtstoff des Leuchtschirmes muß die auf ihn auftreffenden Elektronen des Elektronenstrahles, um unzulässige Aufladungen zu vermeiden, durch Sekundäremission abgeben. Dabei tritt durch die notwendigen SE-Faktorwerte  $> 1$  eine Potentialverschiebung gegenüber  $U_a$  auf, die ihrerseits durch Abhängigkeit vom Elektronenstrahlstrom bewirken kann, daß sich mit  $I_K$  bei konstanten angelegten Spannungen die Ablenkempfindlichkeit ändert. Tritt diese Potentialverschiebung auf Teilen des Schirmes ungleichmäßig in Erscheinung, so kann es zu Bildfehlern kommen.

Wird nun der Leuchtschirm einer Oszillografenröhre mit einer Aluminiumfolie hinterlegt, so verhindert diese durch ihre gute Leitfähigkeit Potentialverschiebungen des Leuchtschirmes gegenüber  $U_a$ ; ein Effekt, der besonders bei Röhren, die mit hohen Nachbeschleunigungsspannungen betrieben werden, auftreten kann. Die durch die Aluminiumfolie erreichte Konstanz ermöglicht durch die sichere Eichbarkeit — von der Oszillografenröhre her gesehen — eine Verbesserung der absoluten Meßgenauigkeit der Oszilloskope.

Die für hochwertige Meßoszilloskope geforderte Eichbarkeit und die Anforderungen an die Meßgenauigkeit brachten auch im Hinblick auf Umgebungseinflüsse, wie sie durch die Atmosphäre hervorgerufen werden, speziell also durch die Bedingungen der Klimafestigkeit der Bauelemente und Meßgeräte, einige neue Probleme bei der Entwicklung der B 13 S 7 mit sich. Die im Nachbeschleunigungsraum erzielte optimale Feldverteilung kann durch äußere Einflüsse gestört werden. Auf dem Glas ergibt sich auf Grund der an den Röhrenelektroden anliegenden Spannungen über geringe Restströme wegen der Oberflächenleitfähigkeit des Glaskolbens ein Potentialgefälle. Die so entstehenden äußeren Feldkomponenten können das Feld im Nachbeschleunigungsraum beeinflussen. Das wirkt sich besonders dann unangenehm durch Bildfehler und sogar Winkelabweichungen zwischen den Meßachsen aus, wenn die Oberfläche des Glases sehr unterschiedliche Leitwerte besitzt. Solche Unterschiede treten durch partielle Verschmutzung der Röhre, z. B. durch das Anfassen des Glaskolbens, auf. Die Bildfehler können aber auch durch unterschiedliche Luftfeuchte und Temperaturschwankungen hervorgerufen werden, die den Oberflächenleitwert des Glases, der an Luft unterhalb des Siedepunktes des Wassers weitestgehend von der an der Oberfläche adsorbierten Glashaut bestimmt wird, verändern. Das Einwirken äußerer Felder in den Nachbeschleunigungsraum, aber auch der durch die Querleitfähigkeit des Glaskolbens herrührende Einfluß ist nun bei Oszillografenröhren mit einer Nachbeschleunigungsspirale und mit großem  $U_{g1}/U_a$ -Verhältnis besonders wirksam und störend. Für die B 13 S 7 mußte daher ein Weg gefunden werden, die geschilderten Einflüsse auszuschalten. Das wurde

erreicht, indem die Glasoberfläche gegen die vorstehend geschilderten Einflüsse unempfindlich gemacht wurde, und zwar durch eine besondere Behandlung des Kolbens der Röhre. Diese Behandlung gewährleistet eine völlige Unabhängigkeit der Eigenschaften der B 13 S 7 gegenüber den geschilderten äußeren Einflüssen und sichert den Betrieb der Röhre in dieser Hinsicht für alle klimatischen Bedingungen.

Die hohen Anforderungen der Meßtechnik an die Abbildungseigenschaften der Meßoszillografenröhren führten dazu, daß für die B 13 S 7 erweiterte Fehlerkorrekturmöglichkeiten vorgesehen wurden. Es ist, wie es bisher schon üblich war, möglich, mit Hilfe der Variation von  $U_{g1}$  eine Astigmatismuskorrektur vorzunehmen. Der getrennt herausgeführte Fußpunkt der Nachbeschleunigungswiderstandsspirale gestattet durch die Variation von  $U_{g1}$  eine Korrektur evtl.

#### Bildfehlerkorrektur



#### Strichscharfenkorrektur



Bild 3: Wirkungsweise der Korrektureinrichtungen (außer der Linearitätskorrektur)

auf tretender Geometriefehler (Kissen- und Tonnenverzerrungen — s. a. Bild 3). Durch zusätzliche im Ablenkraum angebrachte Hilfelektroden ist schließlich eine Linearitätskorrektur möglich. Diese vorgesehenen Korrekturen ermöglichen, im Gegensatz zu Oszillografenröhren, bei denen keine zusätzlichen Korrekturmöglichkeiten vorgesehen wurden, das Ausgleichen von Bildfehlern, wie sie durch Exemplarstreuungen auftreten können, so daß die B 13 S 7 in der Schaltung optimale Abbildungseigenschaften besitzt.

Auch für die Ausführung des Katodensystems, das im wesentlichen die Abhängigkeit des Katodenstrahlstromes ( $I_K$ ) von der Steuerungsspannung ( $U_{g1}$ ) bestimmt, wurden bei der B 13 S 7 neue Wege beschritten. Im Hinblick auf die Hellsteuerung zur Zeitmarkenschreibung bei Meßoszillografen wird, besonders für die hohen Impulsfrequenzen der Zeitmarkenimpulse, die Steuerimpulse für  $G_1$  sind, eine große Steuersteilheit, d. h. ein möglichst geringer  $U_{g1}$ -Bedarf gefordert. Dazu ist es notwendig, die  $G_1/K$ -Abstände weiter zu verkleinern, wobei das Problem in der geforderten Stabilität des  $G_1$  liegt. Die Werte der B 13 S 7 konnten erreicht werden, indem die Blendendicke an der entscheidenden Stelle — im unmittelbaren Bereich der Blendenöffnung — bei einem sehr kleinen  $G_1/K$ -Abstand wesentlich reduziert wurde, ohne dadurch die Stabilität dieser Blende, die wegen der unmittelbaren Kato-



dennähe durch die thermische Belastung gefährdet ist, zu beeinträchtigen.

Die Anwendung der B 13 S 7 in Meßoszilloskopen des MEB, Typ Dualoszilloskop OG 2-10 (Gerät mit elektronischem Schalter zur gleichzeitigen Messung von zwei Vorgängen), Impuls-Oszilloskop OG 1-12 und OG 1-13, läßt folgende, für das Oszilloskop wichtige Daten erreichen:

OG 2-10 und OG 1-12

*y*-Auslenkung

Frequenzbereich 0 ... 30 MHz  
Anstiegszeit etwa 15 ns  
Überschwingen < 2 %  
Ablenkfaktor 50 mV<sub>ss</sub>/cm

*x*-Auslenkung intern

Zeitmaßstab 0,1 µs ... 10 s/cm

OG 1-13

*y*-Auslenkung

Frequenzbereich 0 ... 60 MHz

Anstiegszeit 6 ns  
Ablenkfaktor 200 mV<sub>ss</sub>/cm

*x*-Auslenkung

Zeitmaßstab 0,1 µs ... 10 s/cm

Beim OG 1-12 und OG 1-13 ist der Zeitmaßstab beispielsweise geeicht. Mit Hilfe des Zeitmarkengenerators MS 90 können bei allen drei Geräten Marken mit einem Abstand von 10 ns bis 100 µs geschrieben werden (in Stufen einstellbar).

Auf spezielle Anwendungsfälle soll im Rahmen der Röhrenbeschreibung nicht eingegangen werden. Mit dem Einsatz der Röhre in den drei angeführten Oszilloskopen ist die Anwendungsbreite der B 13 S 7 noch keineswegs erschöpft.

## Literatur

[1] Nachrichtentechnik 13 (1963) H. 11 S. 429—440

1. Schlisio: Stand und Perspektive der Oszillografenröhrentechnik

2. Niksch: Definition und Messung der maximalen Schreibgeschwindigkeit von Oszillografenröhren

3. Jansen: Die Messung der Fleckscharfe von Oszillografenröhren

4. Rost: Messung der Schirmhelligkeit an Oszillografenröhren

[2] Leipziger Frühjahrsmesse 1963. radio und fernsehen 12 (1963) H. 9 S. 282

[3] RFT-„Informationen“ der Röhrenwerke der Deutschen Demokratischen Republik. Juni 1963

## In Kürze erscheint:

Wilhelm Beier

Röhrentaschenbuch, Band I

9. Auflage

etwa 656 Seiten, etwa 2000 Bilder, Halbleinen etwa 15,— DM

Im Buchhandel erhältlich

Röhrentaschenbuch, Band II

696 Seiten, Halbleinen 18,80 DM

VEB VERLAG TECHNIK · Berlin

# Der Frequenzgang des RC-Verstärkers mit Transistoren bei tiefen Frequenzen Teil 1

Dipl.-Ing. DIETER UHLIG

Im nachfolgenden Beitrag wird der Frequenzgang des RC-Verstärkers mit Transistoren bei tiefen Frequenzen berechnet und in Diagrammen dargestellt. Die Anwendung der Diagramme wird an einem Beispiel erläutert und die Richtigkeit der Ergebnisse anhand von Meßkurven bestätigt.

## Allgemeines

Der Transistor ist nach der Elektronenröhre das zweite aktive Schaltelement, das in der Verstärkertechnik eine sehr große Verbreitung gefunden hat. Es ist zweckmäßig, daß dort, wo dies möglich ist, die Eigenschaften des Transistorverstärkers in der gleichen Weise beschrieben werden, wie beim Röhrenverstärker. Dadurch kann auf von letzterem her bekannte Formeln, Diagramme usw. zurückgegriffen werden.

Genügt es in den meisten Fällen, die Röhren als gesteuerten Zweipol aufzufassen, so muß der Transistor als Vierpol betrachtet werden. Sein Verhalten wird durch die Vierpolparameter gekennzeichnet. Für HF-Transistoren kommen nur die im Kurzschluß gemessenen *y*-Parameter in Frage, die auch

bei den Ergebnissen auch diese berücksichtigt.

Für den Schaltungsfachmann ist es am zweckmäßigsten, mit Ersatzschaltbildern zu arbeiten. Das am häufigsten für Legierungstransistoren verwendete ist das Ersatzschaltbild nach Giacometto (Bild 1).

Die Ergebnisse werden ergänzend auch in Abhängigkeit der Elemente dieses Ersatzschaltbildes angegeben.

## Einflußgrößen auf den Frequenzgang bei tiefen Frequenzen

Während der Frequenzgang der Verstärkung bei hohen Frequenzen vom Leitungsmechanismus der Ladungsträger im Transistor und den äußeren Schaltkapazitäten bestimmt wird, können diese bei der Betrachtung der Verstärkung bei tiefen Frequenzen meist vernachlässigt werden. Hier beruht die Frequenzabhängigkeit der Verstärkung einer Stufe im wesentlichen auf dem endlichen Widerstand dreier Schaltelemente:

des Emitterkondensators, des Koppelkondensators und des Emitterkondensators der folgenden Stufe.

Im Gegensatz zum Verhalten bei hohen Frequenzen kann die Verstärkung bei tiefen Frequenzen beliebig frequenzunabhängig gemacht werden, wobei nur wirtschaftliche Überlegungen eine Grenze setzen.

Zunächst werden die frequenzabhängigen Wirkungen einmal des Emitterkondensators

und zum anderen des Koppelkondensators und des Emitterkondensators der folgenden Stufe getrennt untersucht. Anschließend wird dann der Gesamteinfluß näherungsweise angegeben.

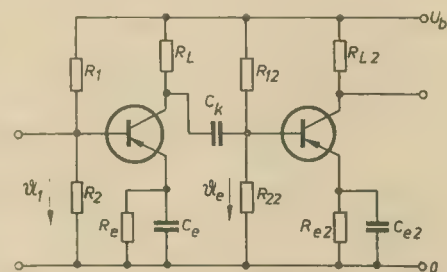


Bild 2: Transistorverstärkerstufe, die mit einer weiteren Stufe RC-gekoppelt ist (statt  $Z_1$  lies  $Z_2$ )

## Einfluß der Emitterkombination

Das Schaltbild einer Transistorverstärkerstufe, die mit einer weiteren Stufe RC-gekoppelt ist, zeigt Bild 2.

Die frequenzabhängigen Schaltelemente sind der Emitterkondensator  $C_e$ , der Koppelkondensator  $C_k$  und der Emitterkondensator der folgenden Stufe  $C_{e2}$ .

Es soll zunächst der frequenzabhängige Einfluß des Emitterkondensators  $C_e$  untersucht werden. Sein kapazitiver Widerstand wächst mit abnehmender Frequenz, und der Emitterwiderstand  $R_e$  wird. wechselstrom-

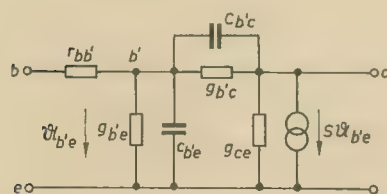


Bild 1: Transistorersatzschaltbild nach Giacometto

bei der folgenden Rechnung verwendet werden. Da jedoch bei NF-Transistoren der Hersteller noch die *h*-Parameter angibt, werden



mäßig nicht mehr kurzgeschlossen. Es tritt eine Reihenstromgegenkopplung über den nunmehr komplexen Emitterwiderstand auf. Dadurch fällt die Spannungsverstärkung nach tiefen Frequenzen hin ab.

Es wird zunächst vorausgesetzt, daß Koppelkapazität und Emitterkapazität der folgenden Stufe so groß sind, daß sie die Verstärkung im betrachteten Frequenzbereich nicht beeinflussen. Die Verstärkerstufe wird also mit dem frequenzunabhängigen Gesamt-Leitwert

$$G_{Lges} = G_L + G_T + G_E$$

belastet.

Darin bedeutet:

$G_L$  — Lastleitwert der Stufe\*  $= 1/R_L$

$G_T$  — Gesamtleitwert der beiden wechselstrommäßig parallel liegenden Widerstände des Basisspannungsteilers der folgenden Stufe

$$= \frac{1}{R_{12} R_{21} + R_{12} + R_{21}}$$

$G_E$  — Eingangsleitwert der folgenden Stufe (seine Größe wird im nächsten Abschnitt angegeben).

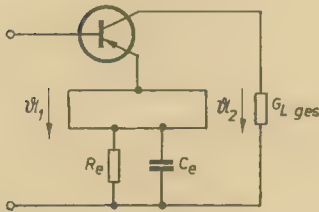


Bild 3: Transistorverstärkerstufe bei Vernachlässigung des Koppelkondensators und der Emitterkombination der folgenden Stufe

Damit ergibt sich das im Bild 3 dargestellte Schaltbild. Die Berechnung der Spannungsverstärkung  $\mathfrak{V}_u = u_2/u_1$  geschieht am zweckmäßigsten dadurch, daß die Ersatz-y-Parameter der reihenstromgegekoppelten Transistorstufe ermittelt werden, mit denen  $\mathfrak{V}_u$  dann in der üblichen Weise bestimmt werden kann. Im folgenden sollen deshalb zunächst diese y-Parameter berechnet werden. Der Gesamtvierpol ist die Reihenschaltung des Transistorvierpols und des komplexen Emitterwiderstandes. Bei der Reihenschaltung von Vierpolen addieren sich bekanntlich ihre Widerstandsmatrizen. Die Widerstandsmatrix des Transistors, ausgedrückt durch die y-Parameter, ist

$$|z| = \begin{pmatrix} \frac{y_{22}}{\Delta y} & -\frac{y_{12}}{\Delta y} \\ -\frac{y_{21}}{\Delta y} & \frac{y_{11}}{\Delta y} \end{pmatrix} \quad (1)$$

Hierbei werden so tiefe Frequenzen vorausgesetzt, daß die an sich komplexen Parameter als reell angenommen werden können. Die Widerstandsmatrix des komplexen Emitterwiderstandes

$$\mathfrak{Z}_e = \frac{R_e}{1 + j\omega R_e C_e}$$

ist

$$|\mathfrak{Z}_e| = \begin{pmatrix} \mathfrak{Z}_e & \mathfrak{Z}_e \\ \mathfrak{Z}_e & \mathfrak{Z}_e \end{pmatrix} \quad (2)$$

Daraus folgt die Widerstandsmatrix des Gesamtvierpols

$$|\mathfrak{Z}'| = |z| + |\mathfrak{Z}_e| \quad (3)$$

Durch Einsetzen der Gleichungen (1) und (2) in Gleichung (3) erhält man die Widerstandsmatrix des Gesamtvierpols, ausgedrückt durch die y-Parameter und  $\mathfrak{Z}_e$ . Rechnet man anschließend diese Widerstandsmatrix wieder in eine Leitwertmatrix um, so ergibt sich

$$|y'| = \begin{pmatrix} y_{11}' & y_{12}' \\ y_{21}' & y_{22}' \end{pmatrix} = \begin{pmatrix} \frac{y_{11} + \Delta y \mathfrak{Z}_e}{1 + (y_{11} + y_{12} + y_{21} + y_{22}) \mathfrak{Z}_e} & \frac{y_{12} - \Delta y \mathfrak{Z}_e}{1 + (y_{11} + y_{12} + y_{21} + y_{22}) \mathfrak{Z}_e} \\ \frac{y_{21} - \Delta y \mathfrak{Z}_e}{1 + (y_{11} + y_{12} + y_{21} + y_{22}) \mathfrak{Z}_e} & \frac{y_{22} + \Delta y \mathfrak{Z}_e}{1 + (y_{11} + y_{12} + y_{21} + y_{22}) \mathfrak{Z}_e} \end{pmatrix} \quad (4)$$

Die Spannungsverstärkung erhält man nun, indem man in die Beziehung

$$\mathfrak{V}_u = -\frac{y_{21}}{y_{22} + \mathfrak{Y}_L} \quad (5)$$

die y'-Parameter einsetzt. Mit  $\mathfrak{Y}_L = G_{Lges}$  ergibt sich

$$\mathfrak{V}_u = \frac{y_{21}}{y_{22}} = \frac{y_{21}'}{y_{22}' + G_{Lges}} \quad (6)$$

Setzt man für die y'-Parameter die Ausdrücke aus Gleichung (4) ein, so wird

$$\mathfrak{V}_u = -\frac{\frac{y_{21} - \Delta y \mathfrak{Z}_e}{1 + (y_{11} + y_{12} + y_{21} + y_{22}) \mathfrak{Z}_e}}{\frac{y_{22} + \Delta y \mathfrak{Z}_e}{1 + (y_{11} + y_{12} + y_{21} + y_{22}) \mathfrak{Z}_e} + G_{Lges}} \quad (7)$$

Durch Umrechnung ergibt sich

$$\mathfrak{V}_u = -\frac{y_{21}}{y_{22} + G_{Lges}} \cdot \frac{1 - \frac{\Delta y}{\mathfrak{Z}_e}}{\frac{1}{\mathfrak{Z}_e} + \frac{\Delta y + (y_{11} + y_{12} + y_{21} + y_{22}) G_{Lges}}{y_{22} + G_{Lges}}}$$

Mit

$$\mathfrak{Z}_e = \frac{R_e}{1 + j\omega R_e C_e} \quad \text{wird}$$

$$\mathfrak{V}_u = -\frac{y_{21}}{y_{22} + G_{Lges}} \cdot \frac{\frac{y_{21} - \Delta y R_e}{y_{22}} + j\omega R_e C_e}{1 + \frac{\Delta y + (y_{11} + y_{12} + y_{21} + y_{22}) G_{Lges} R_e + j\omega R_e C_e}{y_{22} + G_{Lges}}}$$

Führt man

$$a = \frac{y_{21}}{y_{21} - \Delta y R_e} \quad (8)$$

ein, so wird

$$\mathfrak{V}_u = -\frac{y_{21}}{y_{22} + G_{Lges}} \cdot \frac{1 + j\omega a R_e C_e}{1 + \frac{y_{11} + y_{12} + y_{21} + y_{22} + \left(1 + \frac{y_{22} + G_{Lges}}{y_{21}}\right) \Delta y}{y_{21} - \Delta y R_e} \cdot \frac{y_{21}}{y_{22} + G_{Lges}} G_{Lges} R_e + j\omega a R_e C_e} \quad (9)$$

Es ist

$$V_{um} = \frac{y_{21}}{y_{22} + G_{Lges}} \quad (10)$$

der Betrag der Verstärkung bei mittleren

Frequenzen. Zur Vereinfachung wird weiter unter Verwendung von Gleichung (10)

$$b = \frac{y_{11} + y_{12} + y_{21} + y_{22} + \left(1 + \frac{1}{V_{um}}\right) \frac{\Delta y}{G_{Lges}}}{y_{21} - \Delta y R_e} \quad (11)$$

eingeführt.

Setzt man die Gleichungen (10) und (11) in

Gleichung (9) ein, so ergibt sich

$$\mathfrak{V}_u = -V_{um} \frac{1 + j\omega a R_e C_e}{1 + b V_{um} G_{Lges} R_e + j\omega a R_e C_e}$$

und mit

$$k = b V_{um} G_{Lges} R_e \quad \text{und} \quad f_e = \frac{1}{2\pi a R_e C_e}$$

schließlich:

$$\mathfrak{V}_u = -V_{um} \frac{1 + j \frac{f}{f_e}}{1 + k + j \frac{f}{f_e}} \quad (12)$$

$$k = b V_{um} G_{Lges} R_e$$

$$(\approx b y_{21} R_e \text{ für } y_{22} \ll G_{Lges}) \quad (13)$$

$$f_e = \frac{1}{2\pi a R_e C_e} \quad (14)$$

Gleichung (12) ist die Gleichung für den Einfluß des Katodenkondensators einer Röhrenverstärkerstufe auf die Verstärkung bei tiefen Frequenzen analog [3].

Auch die Konstante k und die Frequenz  $f_e$  sind analog definiert, wobei lediglich  $a = 1$  und  $b = 1$  gilt.

Die Größe der Konstanten a und b soll nun abgeschätzt werden. In allen praktisch vorkommenden Fällen ist  $\Delta y R_e \ll y_{21}$ , so daß mit guter Näherung

$$a \approx 1 \quad (15)$$

gesetzt werden kann. Unter den immer erfüllten Bedingungen —  $y_{12}, y_{22} \ll y_{21}$  und mit  $y_{11} = y_{21}/\beta_o$ , wobei  $\beta_o$  die Kurzschlußstromverstärkung ist, ergibt sich aus Gleichung (11)

$$b \approx 1 + \frac{1}{\beta_o} + \left(1 + \frac{1}{V_{um}}\right) \frac{y_{22} - y_{12}}{G_{Lges}}$$

Bei den in fast allen praktischen Fällen vorkommenden Lastleitwerten ist

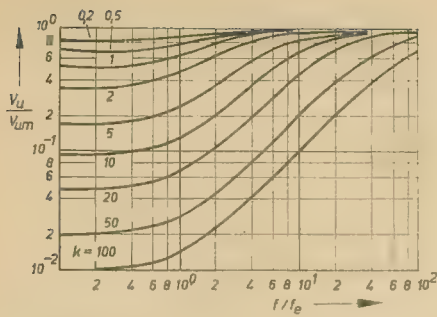
$$\frac{y_{22} - y_{12}}{\beta_o G_{Lges}} \ll 1$$

so daß mit sehr guter Näherung

$$b \approx 1 + \frac{1}{\beta_o} \quad (16)$$

gesetzt werden kann.





**Bild 4:** Auf die Verstärkung bei mittleren Frequenzen bezogener Betrag der Verstärkung bei Einfluß der Emittterkombination

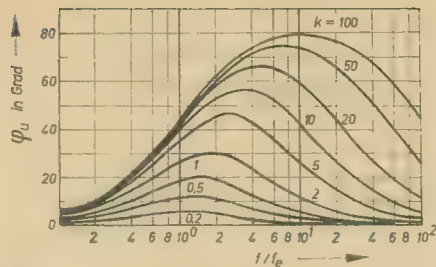
Bei der Dimensionierung einer Verstärkerstufe ist es vorteilhaft, mit Diagrammen zu arbeiten. Es wird deshalb einmal der auf die Verstärkung bei mittleren Frequenzen bezogene Betrag der Verstärkung

$$\left| \frac{G_u}{V_{um}} \right| = \frac{V_u}{V_{um}} = \frac{\sqrt{1 + \left( \frac{f}{f_0} \right)^2}}{\sqrt{(1+k)^2 + \left( \frac{f}{f_0} \right)^2}} \quad (17)$$

und zum anderen der Phasenwinkel der Verstärkung abzüglich  $\pi$

$$\begin{aligned} \arcsin \frac{G_u}{V_{um}} - \pi &= \varphi_u \\ &= \arctan \frac{f}{f_0} - \arctan \frac{f}{(1+k)f_0} \end{aligned} \quad (18)$$

für verschiedene Parameter  $k$  in Abhängigkeit von der normierten Frequenz  $f/f_0$  dargestellt. Die Kurvenscharen sind in den Bildern 4 und 5 wiedergegeben. Es sind dies die gleichen, die auch für den Einfluß der Katodenkombination bei der Röhrenverstärkerstufe gelten.



**Bild 5:** Phasenwinkel der Verstärkung abzüglich  $\pi$  bei Einfluß der Emittterkombination

Nähert man den Frequenzgang des Betrages der Verstärkung entsprechend Bild 4 durch Geraden an, so erhält man drei Abschnitte: Bis zur Eckfrequenz  $(1+k)f_0$  ist der Betrag der Verstärkung konstant und gleich demjenigen bei mittleren Frequenzen. Zwischen

**Tabelle 1**

Verwendete Größen	$V_{um}$	$a$	$b$
y-Parameter	$= \frac{y_{21}}{y_{22} + G_{L ges}}$	$\approx 1$	$\approx 1 + \frac{y_{11}}{y_{21}} = 1 + \frac{1}{\beta_0}$
h-Parameter	$= \frac{h_{21}}{h_{11} G_{L ges} + \Delta h}$	$\approx 1$	$\approx 1 + \frac{1}{h_{21}}, h_{21} = \beta_0$
Elemente des Ersatzschaltbildes nach Bild 1	$\approx \frac{S_0}{G_1 + G_{L ges}}$	$\approx 1$	$\approx 1 + \frac{g_{b'e}}{S}$

den Frequenzen  $(1+k)f_0$  und  $f_0$  fällt er ab, wobei er sich je Oktave jeweils um die Hälfte vermindert. Von der Eckfrequenz  $f_0$  an ist der Betrag der Verstärkung schließlich wieder konstant. Der tatsächliche Verlauf weicht von diesem Näherungsverlauf höchstens um den Faktor  $\sqrt{2}$  ab. Und zwar ist der Betrag der Verstärkung bei der Eckfrequenz  $(1+k)f_0$

schon auf das  $1/\sqrt{2}$  fache seines Wertes bei mittleren Frequenzen abgefallen, während er bei  $f_0$  das  $\sqrt{2}$  fache des Wertes bei tiefen Frequenzen beträgt.

Abschließend sind der Betrag der Verstärkung bei mittleren Frequenzen  $V_{um}$  und die Konstanten  $a$  und  $b$  in Abhängigkeit der y- und h-Parameter und der Elemente des im Bild 1 dargestellten Ersatzschaltbildes in Tabelle 1 zusammengefaßt.

Hierbei ist

$$S_0 = \frac{S}{1 + r_{bb'} g_{b'e}} \approx y_{21}$$

die wirksame Steilheit und

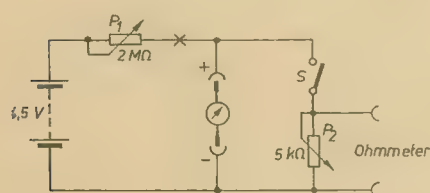
$$G_1 = g_{0e} + (1 + S_0 r_{bb'}) g_{b'e} \approx y_{21}$$

der innere Leitwert (analog zu  $1/R_1$  bei der Röhre) des Transistors.

## Ermittlung des Innenwiderstandes eines Meßwerkes

Will man ein Meßwerk über seinen Anzeigebereich hinaus erweitern, so muß man bei der Berechnung der Vor- bzw. Nebenwiderstände den Innenwiderstand des Meßwerkes kennen. Ich ging bei der Ermittlung von folgender Überlegung aus:

Legt man einem Meßwerk einen Widerstand parallel, der genau dem Innenwiderstand entspricht, so fließt die Hälfte des angelegten Stromes durch den Parallelwiderstand, die andere Hälfte durch das Meßwerk. Bei Vollausschlag zeigt das Meßwerk nach Zuschal-



ten des Parallelwiderstandes nur den halben Vollausschlag an. Diese Erkenntnis führte zu der im nebenstehenden Bild gezeigten Anordnung. Als Stromquelle kann eine Flachbatterie verwendet werden. Der Schalter  $S$  ist geöffnet, und das Potentiometer  $P_1$  ist auf den höchsten Wert eingestellt, um das Meßwerk nicht zu beschädigen. Zur Messung wird das Meßwerk zwischen die Buchsen + und — gelegt. Mit Potentiometer  $P_1$  wird langsam der Vollausschlag eingeregelt. Jetzt wird Schalter  $S$  geschlossen und mit  $P_2$  der halbe Zeigerausschlag eingestellt. Schalter  $S$  wird geöffnet und mit dem Ohmmeter der Wert von  $P_2$  gemessen, der dem Innenwiderstand des Meßwerkes entspricht. Wer nicht über ein eigenes Ohmmeter verfügt, kann sich  $P_2$  mit einem geborgten Instrument entsprechend dem Drehwinkel der Potentiometerachse eichen.

Will man bei einem völlig unbekannten Meß-

werk den Meßbereich ermitteln, so kann man bei  $x$  einen Strommesser einschalten und mit  $P_1$  das unbekannte Instrument auf Vollausschlag bringen. Der eingeschaltete Strommesser zeigt uns dann den Meßwert an, da durch beide Meßwerke der gleiche Strom fließt. Diese Anordnung ist dann besonders wertvoll, wenn man aus einem Meßwerk die Parallelwiderstände entfernt hat und nun den Meßbereich nicht kennt. Schalter  $S$  muß dabei geöffnet sein.

Ein Ausschalter für die Batterie ist nicht notwendig, da ohne angelegtes Meßwerk und geöffneten Schalter  $S$  kein Strom fließen kann. Wird für den Anschluß der Batterie ein Buchsenpaar vorgesehen und dieses mit Schnüren von außen angeklemmt, so läßt sich die ganze Anordnung bequem in einer Seifendose unterbringen.

Jörg-Hartmut Weber



# Bauanleitung für einen Taschenempfänger mit elektronischer Abstimmung

DIETER BORKMANN

Bei dem im nachfolgenden Beitrag beschriebenen Empfänger wird zur kapazitiven Abstimmung ein Halbleiterbauelement — eine Abstimm-diode — benutzt. Durch die Verwendung des Sternchen-Taschensupergehäuses sowie vieler Standardbauteile ist der Nachbau auch für den Anfänger leicht möglich.

## Prinzipielle Wirkungsweise einer Abstimm-diode

Zum besseren Verständnis der Wirkungsweise einer Abstimm-diode betrachten wir den schematischen Aufbau einer Halbleiter-diode (Bild 1). Diese besteht aus drei Schichten. Die linke Schicht (1) hat eine positive Löcher- oder Defektelektronenleitfähigkeit. Die rechte Schicht (3) hat einen Elektronenüberschuß und ist damit negativ leitend. Zwischen diesen beiden leitenden Schichten befindet sich die sogenannte Sperrschicht (2), in der nur sehr wenige Ladungsträger vorhanden sind. Diese Schicht hat einen hohen elektrischen Widerstand.

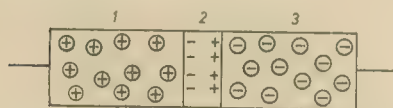


Bild 1: Schematischer Aufbau einer Halbleiter-diode

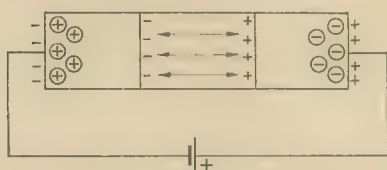


Bild 2: Verbreiterung der Sperrschicht durch eine in Sperrrichtung angelegte Gleichspannung

Einen derartigen Aufbau kann man sich als Plattenkondensator vorstellen. Die beiden Beläge werden durch die p- und n-Schicht gebildet, während als Isolierschicht (Dielektrikum) die Sperrschicht dient. Legt man an diese Diode eine Spannung in Sperrrichtung an, so werden die jeweiligen Ladungsträger von der Mitte zu den Enden hin abgezogen, was zu einer Verbreiterung der Sperrschicht führt (Bild 2). Das ent-

spricht bei einem normalen Plattenkondensator einer Vergrößerung des Plattenabstandes und damit einer Verringerung seiner Kapazität. Ebenso verhält es sich auch bei einer Diode. Durch Anlegen einer veränderlichen Sperrspannung, der sogenannten Steuerspannung, läßt sich die Kapazität der Diode in einem weiten Bereich variieren.

Obwohl diese Eigenschaft grundsätzlich allen pn-Übergängen eigen ist, kommen für Abstimmzwecke auf Grund ihres hohen Sperrwiderstandes, der ja letztlich die Kondensatorgüte bestimmt, nur Siliziumdioden in Betracht. Unter diesen erwiesen sich Zenerdioden als besonders gut geeignet.

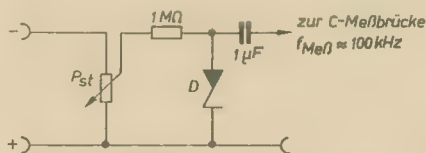


Bild 4: Schaltung einer Zenerdiode zur Ermittlung der äquivalenten Kapazität

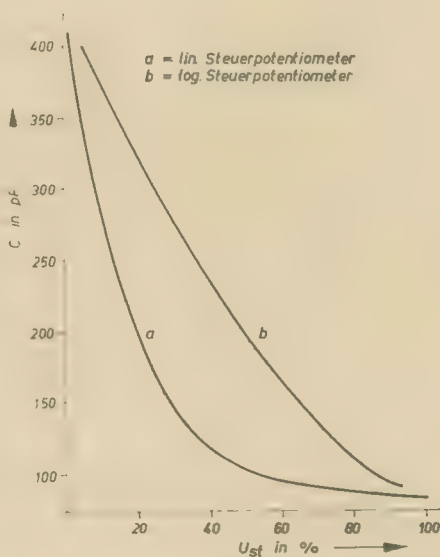


Bild 5: Prinzipieller Verlauf der Kapazität in Abhängigkeit von der Steuerspannung

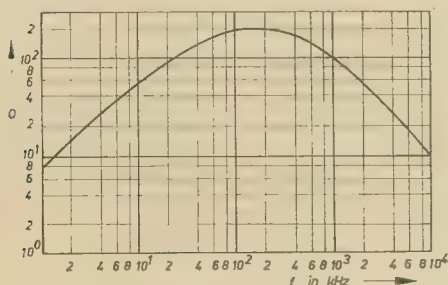


Bild 3: Frequenzabhängigkeit der Güte einer Zenerdiode

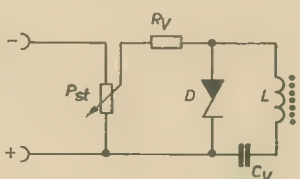


Bild 6: Grundschiung von Abstimm-diode im Resonanzkreis

Speziell für Abstimmzwecke hergestellte Dioden erhielten die Bezeichnung Varicap (Variable Kapazität).

Ein wesentlicher Nachteil der Abstimm-dioden liegt darin, daß die Anfangskapazität durch die Steuerspannung nicht auf Null verringert werden kann.

Zenerdioden mit geringerer Zenerspannung haben eine höhere Anfangs- und Endkapazität als solche mit höherer Zenerspannung.

Zenerdioden sind jedoch nicht für jeden Frequenzbereich geeignet. Bild 3 zeigt die Abhängigkeit der Güte einer als Abstimm-diode verwendeten Zenerdiode von der Frequenz. Diese Frequenzabhängigkeit läßt es ratsam erscheinen, bei der Kapazität einer Abstimm-diode von der äquivalenten Kapazität zu sprechen. Diese kann mit jeder Meßbrücke gemessen werden, deren Meßfrequenz in der Größenordnung von etwa 100 kHz liegt. Die prinzipielle Meßschaltung zeigt Bild 4.

Die Abnahme der äquivalenten Kapazität erfolgt nicht linear mit der Erhöhung der Steuerspannung, sondern etwa hyperbolisch, d. h., die größte Kapazitätsänderung findet im Bereich von 0 V bis etwa -2 V statt. Um eine Dehnung dieses Bereiches zu erreichen, empfiehlt sich die Verwendung eines Steuerpotentiometers mit logarithmischem Widerstandsverlauf. Den prinzipiellen Verlauf der äquivalenten Kapazität in Abhängigkeit von der Steuerspannung zeigt Bild 5.

Im Bild 6 ist die Grundschiung von Abstimm-dioden im Resonanzkreis dargestellt. Die Steuerung der Abstimm-diode erfolgt auf Grund des geringen Sperrstromes einer Siliziumdiode praktisch leistungslos. Zur Verringerung der Dämpfung des Schwingkreises durch das Steuerpotentiometer wird der Diode ein hochohmiger Widerstand  $R_V$  vorgeschaltet. Der Kondensator  $C_V$  verhindert den gleichstrommäßigen Kurzschluß der Diode über die Spule. Seine Größe soll etwa um den Faktor 10 höher sein als die äquivalente Kapazität der Diode.

Die äquivalente Kapazität von Zenerdioden liegt etwa zwischen 200 pF und 1000 pF. Sie streut außerordentlich stark, auch bei Exemplaren des gleichen Typs. Die minimale Kapazität liegt bei etwa 80 pF bis 200 pF [1] [2] [3].

Die mit Halbleiter-Kondensatoren erreichbare Frequenzvariation beträgt

$$K_f = \sqrt{K_0}$$

wobei

$$K_0 = \frac{C_{\text{gmax}}}{C_{\text{gmin}}}$$

ist.

Die im nachfolgend beschriebenen Mustergerät verwendete sowjetische Zenerdiode



D 810 gestattet eine Kapazitätsvariation zwischen 100 pF und 400 pF,  $K_0$  beträgt 4. Damit läßt sich eine Frequenzvariation von  $K_f = 2$  erreichen. Spezielle Abstimmioden gestatten eine wesentlich größere Kapazitäts- und damit auch Frequenzvariation als Zenerdioden. Derartige Dioden befinden sich auch in der DDR in der Entwicklung, so z. B. der Typ OA 910, dessen maximale Kapazität jedoch sehr niedrig ist und bei etwa 50 pF liegt.

### Schaltung des Mustergerätes

Bild 7 zeigt die Schaltung des Einkreisempfängers. Der HF-Teil besteht aus einem zweistufigen HF-Verstärker, der NF-Teil aus einer Treiberstufe und einer Gegentaktendstufe.

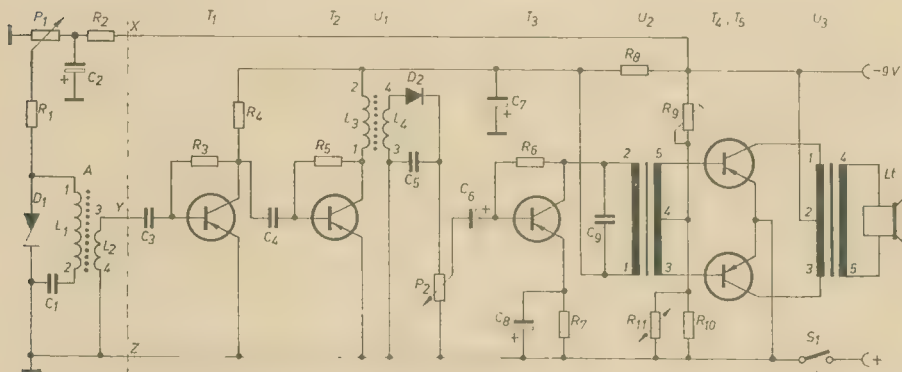


Bild 7: Schaltung des Mustergerätes

### HF-Teil

Beide Stufen arbeiten in Emitterschaltung. Für die Transistoren ist eine Grenzfrequenz von etwa 10 MHz wünschenswert (OC 872). Ausreichende Ergebnisse lassen sich aber auch mit dem Bastlertyp LA 30 erzielen (OC 871). Als Antenne dient ein Ferritstab von 8 mm Durchmesser und einer Länge von 100 mm.

$L_1$  hat 80 Wdg. HF-Litze, die Wicklung erfolgt einlagig.  $L_2$  besitzt 5 bis 10 Wdg., ebenfalls HF-Litze und wird am kalten Ende direkt auf  $L_1$  gewickelt. Beide Spulen sind auf dünne Papierhüllen so zu wickeln, daß sowohl  $L_1$  auf dem Stab als auch  $L_2$  auf  $L_1$  verschoben werden können. Das ist erforderlich, um beim Abgleich des Gerätes den überstreichbaren Frequenzbereich verschieben zu können.

Als Abstimmiodiode wurde, wie bereits erwähnt, eine sowjetische Zenerdiode D 810 verwendet. Gleichfalls sind DDR-Zenerdioden, z. B. ZA 250/6 bis ZA 250/10 geeignet. Besser ist natürlich die Verwendung von speziellen Abstimmioden mit einem geeigneten Kapazitätsbereich, die jedoch aus eigener Fertigung noch nicht zur Verfügung stehen. Da die äquivalente Kapazität von Zenerdioden stark streut, ist es u. U. erforderlich, unter mehreren Exemplaren eine geeignete Diode auszusuchen. Ist man auf eine bestimmtes Exemplar angewiesen, so kann durch Variierung der Windungszahl von  $L_1$  eine entsprechende Anpassung erfolgen.

Die Steuerspannung für die Abstimmiodiode wird von einem logarithmischen Potentiometer  $P_1$  abgegriffen, dessen Wert zwischen 50 k $\Omega$  und 500 k $\Omega$  liegen kann. Die Kombi-

nation  $R_2$ ,  $C_2$  dient zur Stabilisierung der Steuerspannung gegen die durch die Gegentaktendstufe bedingte Schwankung der Batteriespannung. Der Wert von  $R_2$  soll um den Faktor 10 kleiner sein als der des Potentiometers  $P_1$ .

Die Koppelspule  $L_2$  transformiert den hochohmigen Schwingkreiswiderstand um den Faktor  $(w_1/w_2)^2$  herunter und paßt ihn damit an den niederohmigen Eingangswiderstand des ersten Transistors an.

Die Widerstände  $R_3$  und  $R_4$  dienen zur Einstellung der Arbeitspunkte und stellen gleichzeitig eine Spannungsgegenkopplung dar, die arbeitspunktstabilisierend wirkt. Das mit den Transistoren  $T_1$  und  $T_2$  verstärkte HF-Signal wird über einen HF-Übertrager ausgekoppelt.

gen Widerstandes von je 400  $\Omega$  ersetzt werden ( $R_{10} \parallel R_{11}$ ).

### Stromversorgung

Für das Mustergerät wurde die Original-9-V-Batterie verwendet. Die Stromaufnahme des Gerätes bei normaler Zimmerlautstärke liegt unter 10 mA. Ein einwandfreier Betrieb ist bis etwa 5 V möglich. Dabei muß jedoch, bedingt durch die elektronische Abstimmung, mit einer Beschneidung des oberen Frequenzbandes gerechnet werden. Mit einer einwandfreien Batterie wurden über 50 Betriebsstunden erreicht.

### Aufbau des Mustergerätes

Für den mechanischen Aufbau wurde die gedruckte Verdrahtung angewendet. Die

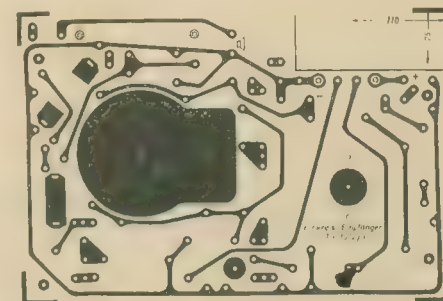


Bild 8: Leitungsführung der Leiterplatte

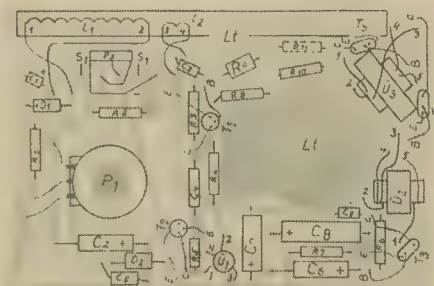


Bild 9: Bestückungsplan der Leiterplatte

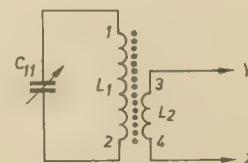


Bild 10: Schaltung des Eingangsteils bei Drehkondensatorabstimmung

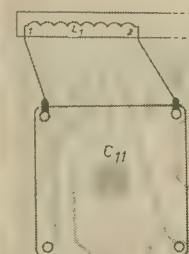


Bild 11: Bestückung des Eingangsteils der Leiterplatte bei Drehkondensatorabstimmung

$L_3$  hat 200 Wdg. 0,1 CuL und  $L_4$  100 Wdg. 0,1 CuL.

Der Übertrager soll im Idealfall aus einem allseitig geschlossenen Ferritkopf mit etwa 11 bis 17 mm Durchmesser bestehen. Es hat sich jedoch gezeigt, daß eine qualitativ fast gleich gute Transformierung erreicht wird, wenn man die Wicklung auf einen Miniatur-Spulenkörper mit Ferritkern aufbringt.

Die Gleichrichtung kann mit jeder beliebigen Spitzendiode erfolgen, z. B. OA 625 bis OA 685.

Als Lautstärkeregel sollte auf alle Fälle ein logarithmisches Potentiometer von etwa 2,5 k $\Omega$  bis 10 k $\Omega$  Verwendung finden. Vorteilhaft ist die Verwendung des Original-Sternchen-Knopfpotentiometers, das mit einem Schalter kombiniert ist, für dessen Erwerb jedoch aus schwer ersichtlichen Gründen über 7,— DM anzulegen sind.

### NF-Teil

Die Schaltung des NF-Teiles entspricht weitgehend der Schaltung des Taschensupers Sternchen und enthält keine Besonderheiten [5].

Als Treibertransistor soll möglichst ein rauscharmer Transistor verwendet werden. Der Ruhestrom der Endstufe beträgt 1 bis 1,5 mA, seine Einstellung erfolgt mit dem Einstellregler  $R_5$ . Der Widerstand  $R_{10}$  ist in der Originalschaltung als temperaturabhängiger Widerstand angegeben. Im Normalfall kann er jedoch durch einen Festwiderstand von 200  $\Omega$  ersetzt werden. Soll das Gerät bei entsprechend hohen Temperaturen betrieben werden, so kann  $R_{10}$  durch eine Kombination eines linearen und eines temperaturabhängigen



Herstellung der Leiterplatte erfolgte auf foto-mechanischem Wege [6].

Bild 8 zeigt die Leitungsführung und Bild 9 den dazugehörigen Bestückungsplan. Da im verwendeten Sternchen-Gehäuse ausreichend Platz vorhanden war, wurde die Leiterplatte so ausgelegt, daß die Abstimmung auch mit einem normalen Hartpapier-Drehkondensator (maximale Abmessungen 40 × 40 mm) oder auch dem Original-Sternchen-Drehkondensator aufgebaut werden kann. Die Schaltung und den Bestückungsplan des Eingangs-teiles dazu zeigen die Bilder 10 und 11.

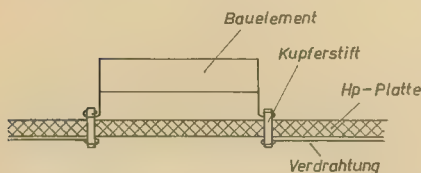


Bild 12: Ausführung der Verdrahtung mit einem Stiftbrettchen

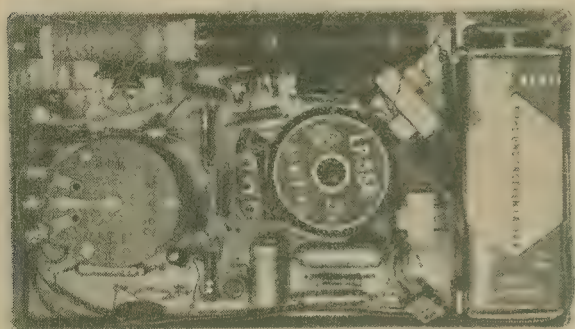


Bild 13: Rückansicht des geöffneten Gerätes

Wer keine Möglichkeit hat, sich die gedruckte Platte anzufertigen, kann die Verdrahtung auch auf eine andere Art ausführen, bei der man mit den gleichen Abmessungen auskommt:

Die angegebenen Löcher werden mit einem 1-mm-Bohrer in eine 1,5 bis 2 mm Hartpapier- oder Hartgewebeplatte gebohrt. In jedes Loch wird ein kurzer Kupferstift mit einem Durchmesser von etwa 1,1 mm eingepreßt, der auf jeder Seite 2 mm übersteht. Auf der Unterseite der Platte werden die Stifte gemäß der Leitungsführung von Bild 8 durch dünnen blanken Kupferdraht verbunden, an die Enden auf der Oberseite der Platte werden dann die Bauelemente angelötet (Bild 12).

Der Verfasser ist gern bereit, Interessenten das Fotonegativ der Leiterplatte und — bei Anlieferung von kupferkaschiertem Basismaterial — auch die Leiterplatte selbst abzugeben. (Adresse: Herrn Dieter Borkmann, VEB Verlag Technik, Redaktion radio und fernsehen, Berlin C 2, Oranienburger Straße 13—14).

Die Rückansicht des fertigen Gerätes zeigt Bild 13.

#### Abgleich des Gerätes

Der Mittelwellenbereich umfaßt die Frequenzen 500 kHz bis 1600 kHz, d. h. eine Frequenzvariation um den Faktor 3. Die Abstimmung mit Zenerdioden gestattet jedoch

nur eine Frequenzvariation um den Faktor 2.

Daher wird die Spule  $L_1$  auf dem Ferritstab so verschoben, daß möglichst alle Ortssender empfangen werden können.

#### Trennschärfe

Die Trennschärfe von Einkreisempfängern ist nicht sonderlich hoch. Sie läßt sich durch Verringerung der Windungszahlen von  $L_2$  und  $L_4$  erhöhen. Dabei ist jedoch zu beachten, daß Trennschärfe und Empfindlichkeit einander entgegenlaufen. Erhöht man die Trennschärfe durch Verringerung der Windungszahlen von  $L_2$  und  $L_4$ , so verringert sich gleichzeitig dadurch die Empfindlichkeit und damit die Lautstärke [4].

#### Weiterentwicklung der Schaltung

Abschließend sollen noch kurz einige Anregungen für die Verbesserung und Weiterentwicklung der Schaltung gegeben werden: Erweiterung des abstimmbaren Frequenzbereiches durch umschaltbare Induktivi-

tät; durch Parallel- und Reihenschaltung von mehreren Abstimmindien; Erhöhung der Trennschärfe durch eine Audionschaltung; Aufbau eines Zweikreisempfängers durch Abstimmung des HF-Übertragers.

#### Literatur

- [1] Klawitter, M.: Halbleiter mit veränderlicher Kapazität. radio und fernsehen 10 (1961) H. 19 S. 603—606
- [2] Wassilkjewitsch/Pokrowski: Die Halbleiterdiode — ein steuerbarer Kondensator. Radio 38 (1961) H. 8 S. 20—23

### Neuerscheinung

I. M. Tetelbaum

#### Elektrische Analogierechenverfahren

Übersetzung aus dem Russischen

384 Seiten, 285 Bilder, 18 Tafeln, Kunstleder 36,— DM

Neben den Digitalrechnern gewinnen auch Analoganlagen immer mehr an Bedeutung. Mit besonderem Erfolg wurden sie zur Nachbildung automatischer Regelungssysteme eingesetzt, aber auch auf den verschiedensten anderen Gebieten werden sie mit großem Nutzen angewendet. Nach einer allgemeinen Charakteristik der Modellierungsmethoden geht der Autor auf Fragen der Ähnlichkeit und Genauigkeit bei der Modellierung ein. Anschließend wird die Modellierung technisch-physikalischer Systeme behandelt, d. h., gewöhnliche Differentialgleichungen werden mit Hilfe von Analog-, Struktur- und Matrixmodellen gelöst. In den letzten Abschnitten werden Randwertaufgaben mit Modellen in Form stromleitender Medien und elektrischer Netze vermittelt.

**VEB Verlag Technik, Berlin**

#### Zusammenstellung der verwendeten Einzelteile

R <sub>1</sub>	Schichtwiderstand	1 MΩ	0,125 W
R <sub>2</sub>	Schichtwiderstand	27 kΩ	0,125 W
R <sub>3</sub>	Schichtwiderstand	160 kΩ	0,125 W
R <sub>4</sub>	Schichtwiderstand	5,1 kΩ	0,125 W
R <sub>5</sub>	Schichtwiderstand	160 kΩ	0,125 W
R <sub>6</sub>	Schichtwiderstand	160 kΩ	0,125 W
R <sub>7</sub>	Schichtwiderstand	560 Ω	0,125 W
R <sub>8</sub>	Schichtwiderstand	560 Ω	0,125 W
R <sub>9</sub>	Einstellregler	25 kΩ	
R <sub>10</sub>	Schichtwiderstand	400 Ω	0,125 W
R <sub>11</sub>	Thermistor	400 Ω	
C <sub>1</sub>	Epsilon-kondensator	10 nF	
C <sub>2</sub>	Elektrolytkondensator	5 µF	15 V
C <sub>3</sub>	Epsilon-kondensator	10 nF	
C <sub>4</sub>	Epsilon-kondensator	10 nF	
C <sub>5</sub>	Epsilon-kondensator	10 nF	
C <sub>6</sub>	Elektrolytkondensator	5 µF	6 V
C <sub>7</sub>	Elektrolytkondensator	25 µF	12 V
C <sub>8</sub>	Elektrolytkondensator	10 µF	6 V
C <sub>9</sub>	Epsilon-kondensator	10 nF	
C <sub>10</sub>	Hp-Drehkondensator	360 pF	
P <sub>1</sub>	Schichtpotentiometer	250 kΩ log.	
P <sub>2</sub>	Schichtpotentiometer	5 kΩ log.	
T <sub>1</sub>	HF-Transistor	OC 872, LA 30	
T <sub>2</sub>	HF-Transistor	OC 872, LA 30	
T <sub>3</sub>	NF-Transistor	OC 812, LA 25	
		(rauscharm)	
T <sub>4,5</sub>	NF-Transistor	2 × OC 816, 2 × LA 50	
		(Pärchen)	
D <sub>1</sub>	Abstimm-diode	ZA 250/6-10	
		D 808 — D 810	
D <sub>2</sub>	Spitzendiode	OA 625 — OA 685	
A	Ferritantenne	L <sub>1</sub> : 80 Wdg. HF-Litze	
		(8 × 100 mm)	
Ü <sub>1</sub>	HF-Übertrager Minia-	L <sub>2</sub> : 8 Wdg. HF-Litze	
	tur-3-Kammerkern,	L <sub>3</sub> : 200 Wdg. 0,1 CuL	
	Görler, 6 Ø	L <sub>4</sub> : 100 Wdg. 0,1 CuL	
Ü <sub>2</sub>	Treibertransformator	K 20, VEB Funkwerk	
		Leipzig	
	(Trafoanschlüsse)	1-rt, 2-ws, 3-gn, 4-sw,	
		5-gn	
Ü <sub>3</sub>	Ausgangstransformator	K 21, VEB Funkwerk	
		Leipzig	
	(Trafoanschlüsse)	1-rt, 2-gn, 3-rt, 4+5-	
		blank	
Li	Lautsprecher	Lp 558 (0,1 W)	

[3] Wedeneew/Werschin: Ein Taschenempfänger mit elektronischer Abstimmung. Allgem. Radiobibliothek Bd. 472, Moskau 1963

[4] Fischer, H.-J.: Transistortechnik für den Funkamateure. Verlag Sport und Technik 1962

[5] Hossner, G.: Sternchen — ein Transistor-taschenempfänger. radio und fernsehen 8 (1959) H. 17 S. 542—544

[6] Schlenzig, K.: Die Technik der gedruckten Schaltung. Der praktische Funkamateure Bd. 26 und 31, Deutscher Militärverlag, Berlin-Treptow



radio und fernsehen	Netzwerkberechnungen (3) Vereinfachte Berechnungsmethoden	001.001 4 Blätter
		DK 621.3.014.1
13 (1964) H. 7	Labor- und Berechnungsunterlagen	

## 1. Allgemeine Hinweise zur Vereinfachung der Berechnungsmethoden

### 1.1. Voraussetzungen

Diese Berechnungsmethoden können nur bei linearen Netzwerken angewandt werden, d. h. bei solchen Netzwerken, deren Schaltelemente unabhängig von der Spannungshöhe und Stromstärke sind.

Zwischen Ursachen und Wirkungen müssen also lineare Beziehungen bestehen.

Die vereinfachten Berechnungsmethoden sind bei Gleichstrom- und Wechselstromerregung gültig, auch dann, wenn Energiespeicherelemente vorhanden sind. Sie gelten aber nur für den stationären Vorgang, also wenn der Ausgleichvorgang beendet ist.

### 1.2. Einzelne Verfahren

Das Ziel der vereinfachten Berechnungsmethoden liegt im Einsparen von Gleichungen und im Vermeiden von umständlichen Rechnungen. Diese Vorteile gegenüber den Berechnungen nach

dem Knotenpunkt- und Maschensatz kann man jedoch nur nutzen, wenn die Voraussetzungen nach 1.1. gegeben ist.

Die einzelnen Verfahren sind:

- a) Überlagerungssatz (Superpositionsgesetz)
- b) Maschenstromanalyse
- c) Satz von der Zweipolquelle (Zweipoltheorie)

Bemerkungen zu a) und b)

Diese Methoden beruhen darauf, daß man den zu berechnenden Strom als Überlagerung mehrerer Ströme auffaßt. Die Anzahl der notwendigen Gleichungen verringert sich damit.

Bemerkungen zu c)

Hierbei werden einzelne Netzwerkeile durch Zweipole dargestellt, d. h., daß die Strom-Spannungsbeziehungen der Schaltelemente eines Netzwerkeils zu einer Strom-Spannungsbeziehung eines Zweipols zusammengefaßt werden. Die Teilursachen und Teilwirkungen in einem Netzwerkeil werden also durch nur eine Ursache und eine Wirkung ersetzt.

## 2. Der Überlagerungssatz — Superpositionsgesetz — (Bilder 1a ... 1c)

### 2.1. Erklärung des Überlagerungssatzes

Ein Zweigstrom  $I_x$  in einem linearen Netzwerk mit beliebig vielen EMK ( $E_1 \dots E_n$ ) ist gleich der Summe der Teilströme  $I_{xE_n}$  in diesem Zweig, die durch die einzelnen EMK ( $E_n$ ) hervorgerufen werden: Die Überlagerung der Bilder 1b und 1c ergibt Bild 1a.

$$I_x = I_{xE1} + I_{xE2} + \dots + I_{xE_n} = \sum I_{xE_n} \quad (1)$$

Zusätzliche Bemerkungen

Das Rechenverfahren besteht also darin, daß in einem Netzwerk nur die Wirkungen (Zweigströme) einer EMK berechnet werden, wobei die anderen EMK als kurzgeschlossen anzusehen sind. Die wirkliche Stromverteilung im Netzwerk ergibt sich durch Überlagern der einzeln berechneten Ströme (auch Teilbilder genannt, siehe Bilder 1b und 1c).

Die Ströme sind vorzeichenbehaftet einzusetzen!

### 2.2. Rechnungsgang

- a) Eintragen der EMK-Richtungspfeile
- b) Berechnen des gewünschten Teilzweigstromes  $I_{xE_n}$  nach Kurzschließen aller EMK bis auf eine EMK
- c) Berechnen der übrigen Teilzweigströme  $I_{xE_n}$ . Für die Berechnung des jeweiligen Teilzweigstromes wird immer nur die entsprechende antreibende EMK ohne Kurzschluß eingesetzt. Die übrigen EMK sind also kurzgeschlossen
- d) Summierung der einzelnen Teilzweigströme zum gewünschten Zweigstrom unter Beachtung der Vorzeichen

Zusätzliche Bemerkung

Es darf nur die EMK kurzgeschlossen werden, d. h., der innere Widerstand darf nicht in den Kurzschluß mit einbezogen werden.

### 2.3. Berechnungsbeispiel

Aufgabe:

In der Schaltung nach Bild 2 ist der Strom  $I_3$  zu berechnen.

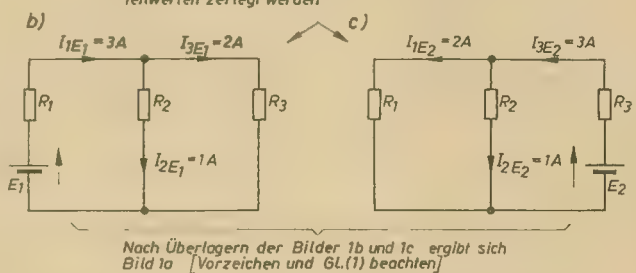
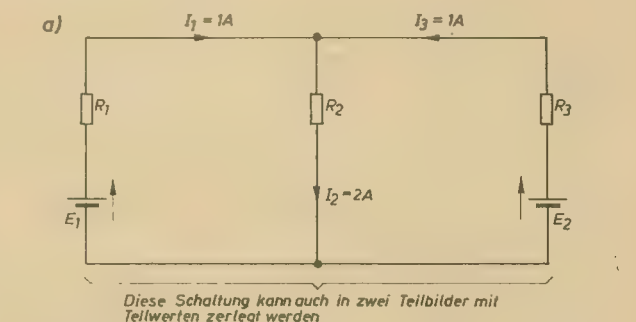
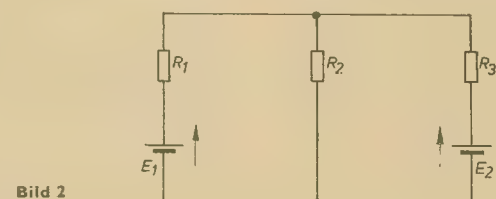


Bild 1



Lösung:

Nach Eintragen des EMK-Richtungspfeiles wird zunächst der von  $E_1$  angetriebene Teilzweigstrom  $I_{3E1}$  berechnet (Bezeichnungen der Ströme siehe Bilder 1a, 1b und 1c).



Nach der Stromteilerregel ist

$$I_{2E1} \cdot R_2 = I_{2E1} \cdot R_2$$

bzw.

$$I_{2E1} \cdot R_2 = (I_{1E1} - I_{2E1}) \cdot R_2$$

Daraus folgt

$$I_{2E1} = I_{1E1} \cdot \frac{R_2}{R_2 + R_2}$$

Mit

$$I_{1E1} = \frac{E_1}{R_1 + R_2 \parallel R_3}$$

ergibt sich

$$I_{2E1} = \frac{E_1}{R_1 + R_2 \parallel R_3} \cdot \frac{R_2}{R_2 + R_2} = \frac{E_1 \cdot R_2}{R_1 (R_2 + R_3) + R_2 \cdot R_3}$$

Von  $E_1$  verursachter Gesamtstrom      Stromverteilungsfaktor

Der von  $E_2$  verursachte Teilzweigstrom  $I_{2E2}$  ist demnach

$$I_{2E2} = \frac{E_2}{R_2 + R_1 \parallel R_3} \cdot \frac{R_1}{R_1 + R_2} = \frac{E_2 \cdot R_1}{R_2 (R_1 + R_2) + R_1 \cdot R_2}$$

Unter Beachtung der Stromrichtung ( $I_{1E1}$  und  $I_{2E2}$  fließen in gleicher Richtung) ist nach Gl. (1)

$$I_2 = I_{2E1} + I_{2E2} = \frac{E_1 \cdot R_2 + E_2 \cdot R_1}{R_1 \cdot R_2 + R_1 \cdot R_3 + R_2 \cdot R_3}$$

Schlußfolgerung

Gegenüber den Berechnungen nach dem Knotenpunkt- bzw. Maschensatz sind nur zwei Gleichungen benötigt worden, die einfach zu summieren waren. Im anderen Falle wären drei Gleichungen notwendig.

Würde sich jedoch im vorhergehenden Beispiel im Zweig 2 eine dritte EMK befinden, dann ergeben sich ebenfalls drei Gleichungen, die allerdings dann nur zu summieren sind.

### 3. Maschenstromanalyse (Übergang vom Bild 3a zum Bild 3b)

#### 3.1. Erklärung der Maschenstromanalyse

Bei der Maschenstromanalyse werden die in einer Masche eines Netzwerkes fließenden Zweigströme zu einem Maschenstrom (Ringstrom) zusammengefaßt (Bilder 3a und 3b).

Zusätzliche Bemerkungen

Bei dieser Berechnungsmethode ergeben sich nur so viele notwendige Gleichungen, wie unabhängige Maschen vorhanden sind. Die Anzahl der Maschen eines Netzwerkes ist immer geringer als die Anzahl der Zweige.

#### 3.2. Rechnungsgang

- Eintragen der EMK-Richtungspfeile
- Festlegen der Maschenströme (Maschenumlauf)
- Aufstellen der Maschengleichungen
- Berechnen des gewünschten Maschenstromes durch Eliminieren der anderen Größen
- Prüfung des Vorzeichens (Stromrichtung)

Zusätzliche Bemerkungen

Der Maschenumlauf im Bild 3b kann auch anders festgelegt werden, so daß z. B. der Umlauf des Stromes  $I_1$  über  $E_1$ ,  $R_1$ ,  $R_3$  und  $E_2$  verläuft.

Bei der Festlegung des Maschenumlaufes soll beachtet werden, daß durch den Zweig, für den der Strom errechnet werden soll, nur ein Maschenstrom fließt, da sonst der Gesamtstrom zusätzlich berechnet werden muß.

#### 3.3. Berechnungsbeispiel

Aufgabe:

In der Schaltung nach Bild 3a soll der Strom durch den Widerstand  $R_2$  berechnet werden.

Lösung:

Nach Eintragen der EMK-Richtungspfeile ist der Maschenumlauf festzulegen. Ein Umlauf nach Bild 3b empfiehlt sich nicht, da damit durch den Zweig von  $R_2$  zwei Maschenströme fließen. Aus diesem Grunde wird ein Umlauf entsprechend Bild 4 festgelegt.

Die beiden Maschengleichungen lauten:

$$E_1 = R_1 (I_1 + I_2) + R_2 \cdot I_1 = I_1 (R_1 + R_2) + I_2 \cdot R_1 \quad (2)$$

$$E_1 - E_2 = R_1 (I_1 + I_2) + I_2 \cdot R_3 = I_1 \cdot R_1 + I_2 (R_1 + R_3) \quad (3)$$

Da durch den Zweig von  $R_2$  der Strom  $I_1$  fließt, muß  $I_2$  eliminiert werden.

Aus Gl. (2) ergibt sich

$$I_2 = \frac{E_1 - I_1 (R_1 + R_2)}{R_1} \quad (4)$$

Gl. (4) in Gl. (3) eingesetzt ergibt

$$E_1 - E_2 = I_1 \cdot R_1 + \frac{E_1 - I_1 (R_1 + R_2)}{R_1} (R_1 + R_3)$$

Daraus folgt

$$I_1 = \frac{E_1 \cdot R_3 + E_2 \cdot R_1}{R_1 \cdot R_2 + R_1 \cdot R_3 + R_2 \cdot R_3}$$

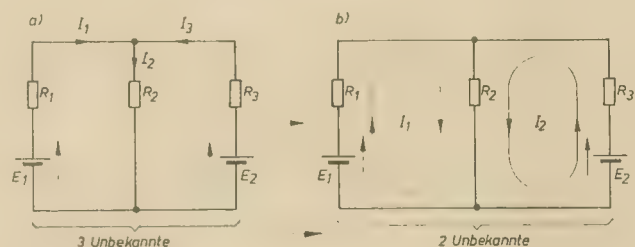


Bild 3

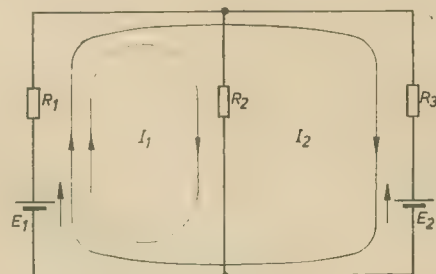


Bild 4

Schlußfolgerung

Das Ergebnis (Strom durch  $R_2$ ) stimmt mit dem Ergebnis, das mit dem Überlagerungssatz gefunden wurde, überein. Auch beim Rechnen mit der Maschenstromanalyse ergaben sich nur zwei Gleichungen.

Im allgemeinen kann der Maschenstromanalyse gegenüber dem Überlagerungssatz der Vorzug gegeben werden, vor allem dann, wenn komplizierte Netzwerke vorliegen. Die Entscheidung sollte jedoch jeder von Fall zu Fall selbst treffen.



## Wartung und Reparatur an Heimbandgeräten (8)

### Aufnahmeverstärker

Der Aufnahmeverstärker übernimmt die Verstärkung des Eingangssignals, die erforderliche Anhebung der tiefen und hohen Frequenzen entsprechend der Entzerrungszeitkonstante und speist den Aufnahmekopf. Die Aufspannung wird gleichzeitig nach Gleichrichtung der Aussteuerungsröhre zugeführt. Die Wirkungsweise

frequenz des parallel zum Katodenwiderstand liegenden Reihenresonanzkreises der zweiten Verstärkerstufe auf. Eine genaue Messung des Aufnahmefrequenzganges muß durch Messen des Spannungsabfalles an einem im masseseitigen Anschluß des Magnetkopfes eingeschalteten 100- $\Omega$ -Widerstand, der bei den meisten Geräten bereits eingebaut ist, vorgenommen werden. An diesem kann auch

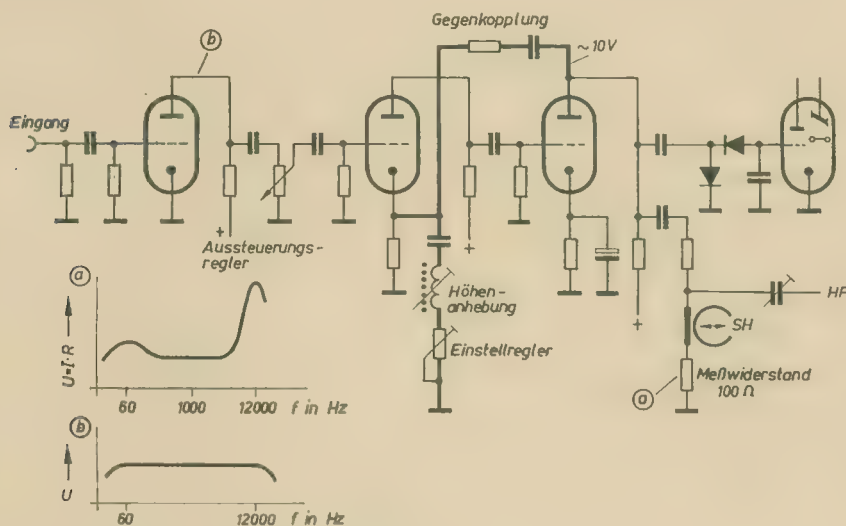


Bild 15: Prinzipschaltung des Aufnahmeverstärkers

des Aufnahmeverstärkers erläutert das Prinzipschaltbild Bild 15.

Die Anhebung der hohen Frequenzen kann überschlägig mit der Aussteuerungsanzeigeröhre kontrolliert werden. Der Aufnahmeverstärker erhält eine 1-kHz-Eingangsspannung, mit der bei aufgedrehtem Aussteuerungsregler die Leuchtbalken gerade zum Schließen gebracht werden. Die Eingangsspannung muß dabei etwa einen Wert von 2...5 mV haben. Jetzt wird sie um 20 dB — auf ein Zehntel ihres Wertes — am RC-Generator zurückgeregt. Wird nun die Frequenz kontinuierlich erhöht, so muß sich durch die Höhenanhebung des Verstärkers ab etwa 5 kHz die Aussteuerungsanzeige erhöhen und im Bereich von 12...16 kHz wieder Vollaussteuerung anzeigen. Das Höhenanhebungsmaximum tritt bei der Resonanz-

die Tiefenanhebung von 3...5 dB bei 60 Hz gegenüber 1 kHz geprüft werden.

Eine häufig zu findende Störung ist das Fehlen der Höhenanhebung. Ursache ist meist die schlechte Kontaktgabe des Aufnahme-Wiedergabeumschalters oder ein mangelhafter Kontakt des Schleifers auf der Schicht des Einstellreglers, der den Katodenresonanzkreis bedämpft. Mit diesem Regler kann der Betrag der Anhebung — Richtwert 18...20 dB gegenüber 1 kHz — korrigiert werden. Die Resonanzfrequenz kann durch Verdrehen des Kernes der Induktivität abgeglichen werden. Liegt der Fehler in der Gegenkopplung, so erkennt man dies daran, daß der Verstärkungsgrad des Aufnahmeverstärkers um etwa 20 dB zu groß ist. Die Vollaussteuerung wird in solchem Falle bereits mit 0,5 mV Eingangsspannung erreicht.

Für den einwandfreien Aufnahmevorgang ist die Funktion des HF-Generators für Vormagnetisierung und Löschung Bild 16 ausschlaggebend. Fehlt die HF-Amplitude überhaupt, so ist der Kontakt, der beim Drücken der Halttaste geöffnet wird und eine hohe negative Vorspannung einschaltet, eine oftmals auftretende Fehlerursache. Die hohe negative Vorspannung läßt die HF-Amplitude abklingen. Dieser Kontakt darf nur während des Drückens der Halttaste öffnen. Ein durchgeschlagener Schwingkreiskondensator kann ebenfalls für das Fehlen der Hochfrequenz verantwortlich sein.

Der Fremdspannungsabstand des Aufnahme-

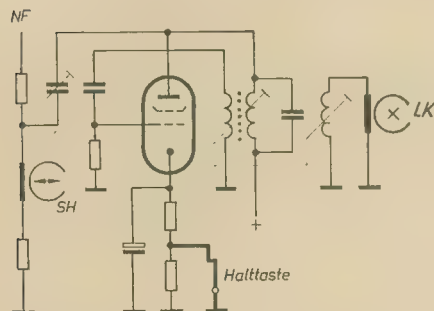


Bild 16: Prinzipschaltung des HF-Generators

verstärkers wird überprüft, indem bei Vollaussteuerung die Anodenwechselspannung an der Anode der Aufspannröhre (dritte Stufe) gemessen wird. Sie muß ungefähr 10 V bei 1 kHz Eingangsspannung betragen. Nunmehr wird der Anschluß des Tongenerators von Eingang abgetrennt. Die jetzt gemessene Anodenwechselspannung wird mit der für Vollaussteuerung ins Verhältnis gesetzt. Das Fremdspannungsverhältnis muß größer als das in den technischen Daten für das Gesamtgerät angegebene sein. Um Falschmessungen zu vermeiden, muß unbedingt bei diesen Messungen der HF-Generator durch Überbrücken des Schwingkreises außer Betrieb gesetzt werden.

Wird fortgesetzt

### Zucken der Bildamplitude beim TV-Empfänger „Record“

Bei diesem Gerät trat im Abstand von etwa 5 s eine kurzzeitige Vergrößerung der Bildamplitude auf, die sich auch ohne Sendersignal bemerkbar machte. Die Synchronisation arbeitete normal.

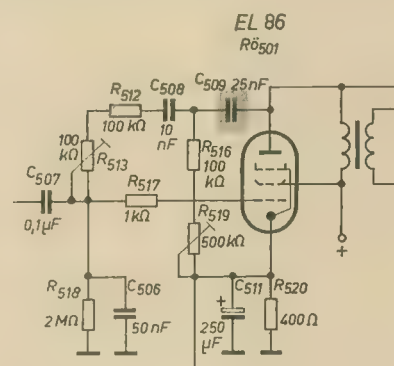


Bild 1

Die Untersuchung der Bildendstufe ergab nach erfolgreichem Röhrenwechsel eine im selben Rhythmus wie die Bildamplitude schwankende Katodenspannung. Schirmgitter- und Anodenspannung blieben konstant. Eine oszilloskopische Messung am Gitter von R501, der Bildendstufe, zeigte eine rhythmische Verschiebung der Nulllinie des Sägezahnsignals, ein Zeichen, daß dort kurzzeitig Gleichspannung vorhanden war. Die Ursache war der zeitweilig durchschlagende Kondensator C509 (25 nF) im Gegenkopplungszweig der Bildendstufe, welcher kurzzeitig positive Spannung an Gitter bzw. Katode brachte und somit die schwankende Amplitude bewirkte (Bild 1).

T. K.

### Zackenförmige Verzerrung der vertikalen Amplitude bei schlechter Zeilen- und Bildsynchronisation beim TV-Empfänger „Lotos“

Nach kurzer Betriebszeit verzerrte sich die vertikale Amplitude sägezahnförmig, wobei sich bei schwacher Synchronisation mit dem Horizontalfrequenzregler die Länge der Zacken verändern ließ. Die Überprüfung von Amplitudensieb, Phasenvergleichsstufe und Zeilengenerator verlief ergebnislos.

Mit Hilfe des Oszillografen wurde nun das BAS-Signal untersucht. Dabei machten sich ständig durchlaufende Störimpulse bemerkbar. Bei der folgenden Durchmessung von Videoendstufe und ZF-Teil ließ sich kein



fehlerhaftes Bauteil ermitteln. Da aber die Störimpulse bei Kurzschließen des Gitter 1 der ersten ZF-Stufe gegen Masse verschwanden, jedoch beim Ziehen der Oszillatortröhre erhalten blieben, wurde nun die Fehlersuche in die Regelautomatik verlegt. Mit Auswechslung des Regelspannungssieb-kondensators  $C_{300}$  ( $0,47 \mu F$ ) am Gitter der 1. ZF-Stufe ( $E_3$ ) arbeitete das Gerät wieder einwandfrei (Bild 2).

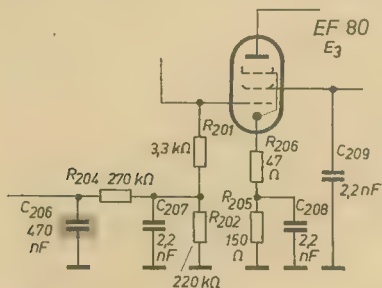


Bild 2

Eine ähnliche Erscheinung bewirkt der Ausfall des Niedervoltelkos  $2 \mu F/30 V$  in der Regelspannungsleitung bei den Geräten Orion 401 A/N.

T. K.

### Starker Leuchtpunkt nach Abschaltung des TV-Empfängers „Record 2“

Nach dem Ausschalten trat ein äußerst starker Leuchtpunkt auf, der über mehrere Minuten erhalten blieb. Als das Gerät auf defekte Gitterableitwiderstände der EL 36 erfolglos

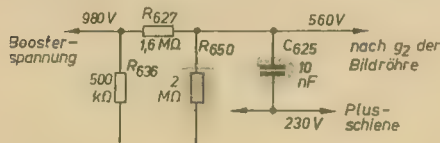


Bild 3

untersucht worden war und ein laut Serviceanleitung vorgeschlagener  $8 \mu F$ -Elko, vom Gitter 1 der Bildröhre nach Masse gelegt, keine Veränderung des Leuchtpunktes brachte, erfolgte eine Überprüfung der Betriebsbedingungen der Bildröhre. Dabei wurde eine zu niedrige Schirmgitterspannung festgestellt, die aber nach dem Ausschalten längere Zeit erhalten blieb. Erst eine genauere Untersuchung der Schirmgitterleitung führte zu dem durchgeschlagenen Siebkondensator  $C_{433}$  ( $0,01 \mu F$ ). Dadurch entlud sich die Restspannung des Netztes nach der Abschaltung über das Schirmgitter der Bildröhre und erzeugte dort den Leuchtpunkt. Nach Einlöten eines neuen Kondensators hatte sich die Leuchtpunkterscheinung wesentlich verringert, war aber noch vorhanden. Erst nach Auswechslung des Spannungsteilerwiderstandes  $R_{660}$  ( $2 M\Omega$ ), der einen Kappenfehler zeigte, funktionierte die Leuchtpunktunterdrückung wieder einwandfrei. Dieser defekte Widerstand muß auch die Ursache für den Durchschlag des  $C_{433}$  gewesen sein, da durch die fehlende Teilung die Spannungsfestigkeit dieses Siebkondensators überschritten wurde.

T. K.

### Mangelhafte Bildsynchronisation beim TV-Empfänger „Cranach“

Das Bild dieses Empfängers synchronisierte nur auf einem sehr geringen Bereich. Aber

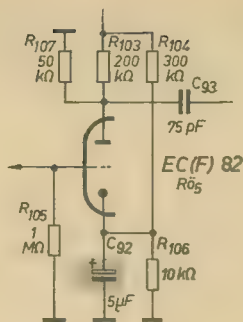


Bild 4

auch dann störte ein ständiges leichtes Zittern.

Röhrenwechsel und Überprüfung der Betriebsspannungen führten nicht zum Erfolg. Der Oszilloskop zeigte einwandfreie Taktimpulse bis zum Gitter der  $R\delta_5$  (EC(F) 82), erst an der Anode wich das abgebildete Signal vom erwarteten ab.

Die Fehlersuche an dieser Stufe ergab einen durchgeschlagenen Kondensator  $C_{22}$  ( $5 \mu F$ ) in der Katodenkombination des Impulsverstärkers. Dieser Elko veränderte durch seine Leitfähigkeit die Betriebsbedingungen der Röhre so stark, daß keine Verstärkung mehr möglich war (Bild 4).

Nach Auswechslung des defekten Bauteils arbeitete die Synchronisation wieder normal.

Tassilo Klemm

### Fehler am TV-Empfänger „Start“

**Bild und Ton stark vergrißt und ver-räuscht**

Die Antenne war in Ordnung. Alle Betriebsspannungen der ZF-Stufen, der Videostufe sowie im Eingangsteil entsprachen den ange-



Bild 1

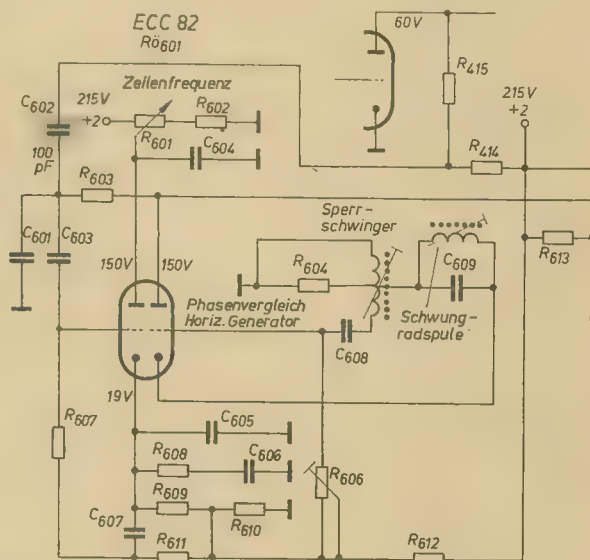


Bild 2

gebenen Werten. Eine Untersuchung der Videodiode OA 626 im Filter F 105 A zeigte Gleichstromdurchgang auch in Sperrichtung. Nach Auswechslern derselben arbeitete das Gerät wieder normal. Bei einem anderen Gerät war die gleiche Diode ganz unterbrochen. Die Erscheinung war kein Bild und kein Ton, jedoch Helligkeit und Zeilenraster.

**Bild und Ton setzten erst zeitweise aus und blieben nach einiger Zeit ganz weg**

Helligkeit und Zeilenraster waren vorhanden. Der ZF-Verstärker und die Videostufe arbei-

teten einwandfrei. An der Anode der Oszillatortröhre im Kanalwähler (PC(F) 82) lagen nur etwa  $10 \dots 12 V$  Anodenspannung.

Der Anodenwiderstand  $R_{80}$  ( $30 k\Omega$ ) war in Ordnung. An der Anode wurde gegen Masse ein Schluß durch den Trimmer  $C_{21}$  verursacht. Mit einer feinen Rundzange und etwas Fingerspitzengefühl kann man das Röhrenchen am Stator des Drehkondensators etwas aufbiegen, so daß es von der Madenschraube nicht mehr berührt wird. Diese Reparatur stellt jedoch einen Eingriff in die Abstimmelemente dar; sie ist daher nur von einem Fachmann durchzuführen.

H.-J. Z.

### Synchronisationsfehler am TV-Empfänger „Cranach“

Fehler: Bild und Zeile lassen sich kaum synchronisieren und die Synchronisation fällt beim Umschalten der Kamera aus.

Mit dem Kleinoszilloskop Oszi 40 wurde noch ein Bildsignal an der Anode des Amplitudensiebes sowie der Begrenzerröhre festgestellt. Am  $G_2$  der  $R\delta_{11}$  (EH 90) wurde eine Gleichspannung von etwa  $80 V$  gemessen.

Der Koppelkondensator  $C_{43}$  ( $0,01 \mu F$ ) hatte zeitweise Schluß. Nach Auswechslern desselben war der Fehler behoben.

H.-J. Z.

### Ein interessanter Fehler am TV-Empfänger „Patriot“ (Rafena)

Fehler: Auf der rechten Bildhälfte war ein etwa  $2 \dots 3 cm$  breiter schwarzer Streifen. Alle Bildkonturen waren  $4 \dots 5 cm$  vom oberen Bildrand stark nach links verzogen (Bild 1).

Das Bild ließ sich mit dem Fein- oder Grob-

regler nicht in die Mitte stellen, da sofort die Synchronisation ausfiel. Das Auswechslern der Röhre ECC 82 und des Schwungradkondensators  $0,01 \mu F$  brachte keinen Erfolg. Alle Spannungen am Zeilengenerator und an der Phasenvergleichsstufe zeigten die angegebenen Werte. Durch Widerstandsmessung wurde der Fehler ermittelt. Der Keramik-kondensator  $C_{602}$  ( $100 pF$ ) hatte Feinschluß und zeigte einen Widerstand von etwa  $80 k\Omega$ . Nach Auswechslern dieses Kondensators arbeitete das Gerät wieder ganz normal (Bild 2).

Hans-Joachim Zierold



## Eine spezielle Ausgangsschaltung

Zum Schluß soll noch eine Schaltung behandelt werden, die den Ersatz des Breitbandtransformators durch zwei Transformatoren geringerer Bandbreite ermöglicht, aber nur durch einen einzigen Widerstand abgeschlossen ist. Damit läßt sich das Transformatorproblem auch in solchen Fällen lösen, wo nur ein einziger Abschlußwiderstand zugelassen ist.

Wir gehen wieder vom Bild 5b aus. Wie beschrieben nimmt der untere Widerstand die tiefen Frequenzen und der obere die hohen Frequenzen auf. Hat man vor, alle Frequenzen auf einen einzigen Widerstand zu leiten, so könnte man annehmen, daß eine Schaltung nach Bild 8 zum Ziele führt. Die über  $C_2$  fließenden Frequenzen werden ebenfalls dem Widerstand  $R$  zugeführt, der bereits die tiefen Frequenzen empfängt.

Untersuchen wir diese Schaltung genauer. Zunächst sei der Eingangswiderstand  $\Re_E$  berechnet. Wir wollen damit die Frage klären, ob  $\Re_E$  bei geeigneter Wahl der Induktivitäten und Kapazitäten frequenzunabhängig gleich  $R$  werden kann. Falls aber frequenzunabhängig

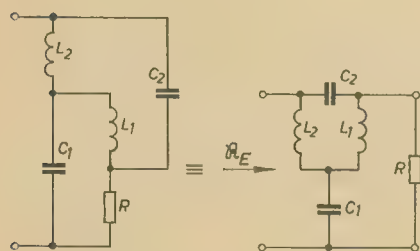


Bild 8: Die spezielle Ausgangsschaltung

hängig  $R = \Re_E$  wird, so muß, da in den Blindschaltelementen keine Leistung verbraucht wird, die an den Eingang gelieferte Leistung auch an  $R$  weitergegeben werden. Damit wäre die erwünschte Funktion der Schaltung gegeben. Man erhält für  $\Re_E$ , wenn man  $\Re_E$  als Verhältnis zweier Polynome in Abhängigkeit von  $j\omega$  schreibt:

$$\Re_E = R \frac{1 + j\omega \frac{L_1 + L_2}{R} + (j\omega)^2 (L_1 C_1 + L_2 C_2) + (j\omega)^3 \frac{L_1 L_2 C_1}{R} + (j\omega)^4 L_1 L_2 C_1 C_2}{1 + j\omega R C_1 + (j\omega)^2 (L_1 C_1 + L_1 C_2 + L_2 C_2) + (j\omega)^3 R C_1 C_2 (L_1 + L_2) + (j\omega)^4 L_1 L_2 C_1 C_2} \quad (15)$$

Dieser Ausdruck, der später abgeleitet wird, soll frequenzunabhängig und gleich  $R$  werden. Dazu genügt es, daß Zähler und Nenner für jede beliebige Kreisfrequenz  $\omega$  einander gleich werden, denn dann ist der Wert des Bruches unabhängig von der Frequenz gleich Eins. Zähler und Nenner sind sich aber dann gleich, wenn entsprechende Koeffizienten einander gleich sind, also

$$\frac{L_1 + L_2}{R} = R C_1 \quad (16)$$

$$L_1 C_2 + L_2 C_1 + L_2 C_2 = L_1 C_1 + L_1 C_2 + L_2 C_2 \quad (17)$$

$$\frac{L_1 L_2 C_1}{R} = R C_1 C_2 (L_1 + L_2) \quad (18)$$

Wenn diese drei Gleichungen erfüllbar sind, hätten wir im Zähler und Nenner vollkommen gleiche Ausdrücke stehen und das gewünschte Ergebnis wäre erzielt. Durch Vereinfachung werden die Gleichungen (16) bis (18)

$$L_1 + L_2 = R^2 C_1 \quad (16a)$$

$$L_2 = L_1 \quad (17a)$$

$$L_1 L_2 = R^2 C_2 (L_1 + L_2) \quad (18a)$$

Auf Grund von Gl. (17a) setzen wir

$$L_1 = L_2 = L \quad (19)$$

und erhalten aus Gl. (16a) und (18a)

$$L = \frac{1}{2} R^2 C_1 \quad (16b)$$

$$L = 2 R^2 C_2 \quad (18b)$$

Dann wird durch Gleichsetzung

$$\frac{1}{2} R^2 C_1 = 2 R^2 C_2$$

$$\frac{1}{2} C_1 = 2 C_2 = C \quad (20)$$

Zur Vereinfachung der Schreibung haben wir noch in Gl. (20) eine Kapazität  $C$  eingeführt. Aus Gl. (16b) erhält man noch

$$R = \sqrt{\frac{2L}{C_1}} = \sqrt{\frac{L}{2C_2}} = \sqrt{\frac{L}{C}} \quad (21)$$

Das Ergebnis lautet zusammengefaßt: Durch geeignete Wahl von  $C_1$ ,  $C_2$ ,  $L_1$  und  $L_2$  entsprechend Gln. (19), (20) und (21) gelingt es, den Eingangswiderstand  $\Re_E$  der Schaltung Bild 8 frequenzunabhängig  $\Re_E = R$  zu machen. Deshalb muß dem Abschlußwiderstand  $R$ , wie schon erwähnt, die gesamte Leistung zufließen, die am Eingang geliefert wird, denn in den Blindwiderständen wird keine Leistung verbraucht. Es ist also  $P_E = P$  ( $P_E$  am Eingang gelieferte Leistung,  $P$  Leistung an  $R$ ), und wegen

$$P = \frac{U^2}{R} \quad (U \text{ Effektivwert der Spannung})$$

muß auch am Eingang und am Ausgang die gleiche Spannung liegen. Dies gilt für den Effektivwert der Wechselspannungen. Wir werden sehen, daß aber eine Beeinflussung hinsichtlich der Phase stattfindet.

Stellt man das Verhältnis der komplexen Ausgangsspannung zur Eingangsspannung auf, so erhält man bei Berücksichtigung der Gleichungen (19) bis (21) — Ableitung im Anhang —

$$\frac{U_2}{U_1} = \frac{1 - \omega^2 LC - j\omega \sqrt{LC}}{1 - \omega^2 LC + j\omega \sqrt{LC}} \quad (22)$$

Nenner und Zähler sind zueinander konjugiert komplex, da sie sich nur durch das Vorzeichen des Imaginärteiles unterscheiden. Im Betrag ist der Zähler stets gleich dem Nenner, so daß, wie schon festgestellt,  $U_1$  und  $U_2$  gleich groß sein müssen. Die Phase ist aber frequenzabhängig. Man erhält aus Gl. (22)

$$\varphi = -2 \arctan \frac{\omega \sqrt{LC}}{1 - \omega^2 LC} \quad (23)$$

Dieser Verlauf ist im Bild 9 dargestellt. Ausgezeichnet ist die Frequenz  $\omega_g = 1/\sqrt{LC}$ . Denn bei dieser Frequenz besteht zwischen  $U_1$  und  $U_2$  ein Phasenunterschied von  $180^\circ$ , also genaue Gegenphasigkeit. Oberhalb  $180^\circ$  kommen sich  $U_1$  und  $U_2$  wieder näher und fallen bei  $360^\circ$  zusammen. Die Frequenz  $\omega_g$  besitzt wieder den Charakter einer Übergangsfrequenz. Unterhalb  $\omega_g$  übernehmen die beiden Induktivitäten  $L_1$  und  $L_2$  vorwiegend den Strom vom Eingang zum Ausgang, oberhalb  $\omega_g$  vorwiegend  $C_1$ .

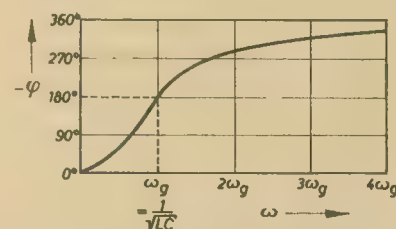


Bild 9: Phasenverschiebung zwischen Eingangs- und Ausgangsspannung für die Schaltung Bild 8

Will man eine Schaltung nach Bild 8 entwerfen, so sind die Größen  $L_1$ ,  $L_2$ ,  $C_1$  und  $C_2$  unbekannt. Bekannt ist der Widerstand  $R$ . Gibt man sich noch die Frequenz der Gegenphasigkeit  $\omega_g$  vor, so lassen sich mit den Gleichungen (19), (20) und (21) die gesuchten Schaltelemente ermitteln. Man erhält

$$L_1 = L_2 = \frac{R}{\omega_g} \quad (24)$$

$$C_1 = \frac{2}{\omega_g R}; \quad C_2 = \frac{1}{2 \omega_g R} \quad (25)$$

Schließlich ist noch die Erweiterung der Schaltung Bild 8 durch Transformatoren zu besprechen. Wir versuchen diese Erweiterung auf die gleiche Weise wie bei der Frequenzweiche erster Ordnung durch Einführung idealer Transformatoren. Das entstehende Schaltbild zeigt Bild 10. Die Frage ist nur, ob diese Schaltung in der gewünschten Weise funktioniert. Daß sie richtig funktioniert, kann man so beweisen: Angenommen, wir speisen primär den Strom  $\mathfrak{I}$  ein. Dieser Strom fließt durch beide Primärwicklungen. Da beide idealen Transformatoren die Übersetzung  $\bar{u}$  haben, muß in jedem Transformator sekundär nach Gl. (7a) der Strom  $\mathfrak{I}_s = \bar{u} \mathfrak{I}$  fließen. Der Knoten K hat drei Zuleitungen a, b, c. Nach dem Kirchhoffschen



Satz muß die vorzeichenbehaftete Summe aller Ströme Null sein:  $\mathfrak{I}_a + \mathfrak{I}_b + \mathfrak{I}_c = 0$ . Nun ist  $\mathfrak{I}_a = \ddot{u}\mathfrak{I}$  und  $\mathfrak{I}_b = -\ddot{u}\mathfrak{I}$ , daraus folgt sofort  $\mathfrak{I}_c = 0$ . Ist aber die Zuleitung c stromlos, so kann man sie auch weglassen, ohne daß sich irgend etwas ändert. Dann kann die linke Schaltung ohne weiteres durch die Schaltung rechts ersetzt werden (die Reihenschaltung der beiden idealen Transformatoren ist noch durch einen einzigen ersetzt). Die rechte Schaltung ist aber ein einfacher Transformatorausgang, der sicher funktioniert. Damit ist die richtige Funktion der Ausgangsschaltung sichergestellt. Durch geeignete Dimensionierung realer Transformatoren kann

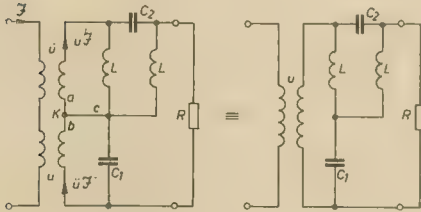


Bild 10: Zur Erweiterung durch Transformatoren

man erreichen, daß der obere Transformator im Bild 10' näherungsweise der Parallelschaltung eines idealen Transformators mit der Induktivität L entspricht und der untere Transformator einer Parallelschaltung eines idealen Transformators mit  $C_1$ . Alle anderen Schaltelemente des Transformatorersatzschaltbildes Bild 4 sind so zu dimensionieren, daß sie höchstens an den Bandgrenzen merklich werden. Im Falle des oberen Transformators bedeutet das  $R_{Cu} \rightarrow 0$ ,  $L_\sigma \rightarrow 0$ ,  $C_w \rightarrow 0$ ,  $R_{Fe} \rightarrow \infty$  (praktisch genügt  $R_{Cu} \approx 0,05 R$ ,  $R_{Fe} \approx 20 R$ ), während  $L = M$  sein muß. An der oberen Frequenzgrenze  $f_2$  gehen  $L_\sigma$  und  $C_w$  am stärksten ein, sie dürfen dort den Abfall auf das  $1/\sqrt{2}$ -fache hervorrufen. Normalerweise überwiegt eines dieser Schaltelemente, z. B. es überwiegt  $L_\sigma$  ( $C_w$ ), dann muß an der oberen Frequenzgrenze

$$\omega_2 L_\sigma \leq R \quad \left( \frac{1}{\omega_2 C_w} \geq R \right)$$

sein.

Im Falle des unteren Transformators muß  $R_{Cu} \rightarrow 0$ ,  $L_\sigma \rightarrow 0$ ,  $M$ ,  $R_{Fe} \rightarrow \infty$  gemacht werden (praktisch genügt  $R_{Cu} \approx 0,05 R$ ,  $R_{Fe} \approx 20 R$ ,  $\omega_2 L_\sigma \approx 0,05 R$ ). Die Gegeninduktivität geht an der unteren Grenzfrequenz  $f_1$  am stärksten ein, sie darf dort den Abfall auf das  $1/\sqrt{2}$ -fache hervorrufen, also  $\omega_1 M \geq R$ . Die Wickelkapazität  $C_w$  müßte man  $C_w = C_1$  dimensionieren. Aus den im Abschnitt „Die Frequenzweiche erster Ordnung und ihre Erweiterung durch Transformatoren“ genannten Gründen wird man sie aber wesentlich kleiner halten ( $C_w < 0,5 C_1$ ) und eine äußere Kapazität  $C_z = C_1 - C_w$  zuschalten. Es erhebt sich wieder die Frage, ob sekundär die Kapazität  $C_z$  oder primär die Kapazität  $\frac{C_z}{\ddot{u}_2}$  zugeschaltet werden muß. Im ersten Fall könnte es passieren, daß im Frequenzbereich  $f_g$  bis  $f_2$ , für den der untere Transformator nicht entworfen ist, induktive Eingangswiderstände auftreten und die ordnungsgemäße Funktion

der Schaltung verhindern. Im zweiten Fall kann aber etwas Ähnliches passieren, indem der untere Transformator sekundär einen hohen induktiven Widerstand annimmt. Dieser induktive Widerstand würde zu R in Reihe liegen und den Strom durch den Abschlußwiderstand R blockieren. Diese beiden Fehlermöglichkeiten vermeidet man dadurch, daß man die Zusatzkapazität  $C_z$  in zwei Hälften aufteilt, sekundär die halbe Kapazität  $1/2 C_z$  und primär die Kapazität  $1/2\ddot{u}_2 C_z$  zuschaltet. Damit werden Primär- wie Sekundärwicklung bei hohen Frequenzen zuverlässig blockiert, und gleichzeitig wird die geforderte Gesamtkapazität  $C_1$  eingehalten. Bild 11 zeigt die so entstandene technische Schaltung.

Die letzte Frage beim Entwurf der Schaltung nach Bild 11 ist die benötigte Aussteuerung der Schaltelemente. Wir denken uns am Eingang eine konstante Spannung  $\mathfrak{U}_1$  angelegt, deren Frequenz von  $f_1$  bis  $f_2$  wandert. Möglicherweise treten dann in der Schaltung Resonanzen auf und eines der Schaltelemente nimmt vorübergehend eine Spannung größer als die angelegte Spannung  $\mathfrak{U}_1$  an. Wir untersuchen dies zunächst für die beiden Induktivitäten  $L_1$ ,  $L_2$  anhand der Schaltung Bild 8 bzw. 13. Das Ergebnis (s. Anhang) ist im Bild 12 dargestellt. Beide Induktivitäten führen dem Betrag nach gleiche Spannungen.

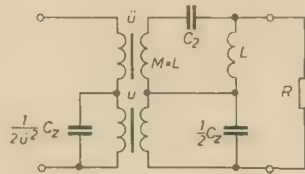


Bild 11: Technische Ausführung der Schaltung  
Bild 10

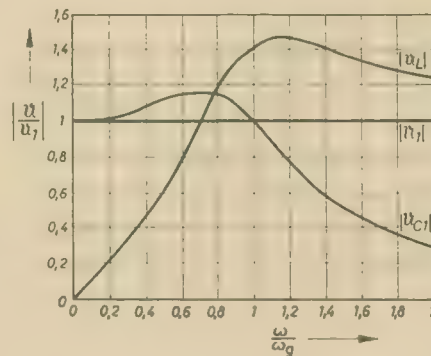


Bild 12: Frequenzabhängigkeit der Spannung über den Induktivitäten L und über der Kapazität  $C_1$

Es tritt tatsächlich eine schwache Resonanz auf mit einer Überhöhung auf etwa das  $1,47$ -fache. Deshalb muß entsprechend Bild 11 der Transformator mit  $M = L$  und die Induktivität L für diese Spannung ausgelegt werden (die Spannung ist maßgebend für die Aussteuerung des Kernmaterials).

Weiter läßt sich ohne Rechnung sagen, daß die von  $C_z$  (nach Bild 8) maximal aufgenommene Spannung doppelt so groß wie die angelegte sein wird.  $\mathfrak{U}_{02}$  ist ja die Differenz zwischen Eingangs- und Ausgangsspannung,

Eingangs- und Ausgangsspannung sind aber stets gleich groß und unterscheiden sich nur in der Phase, so daß  $\mathfrak{U}_{02}$  bei reiner Gegenphasigkeit maximal wird.

An letzter Stelle noch ein Hinweis an den Verstärker-Praktiker. Es ist bei der beschriebenen Ausgangsschaltung nicht möglich, die Spannung über dem Abschlußwiderstand R zu einer frequenzunabhängigen Gegenkopplung auszunutzen. Das erkennt man aus dem Phasendiagramm Bild 9, wonach die Ausgangsspannung alle Phasenlagen einschließlich reiner Gegenphasigkeit durchläuft. Jedoch liefert die Reihenschaltung der Sekundärwicklungen beider Transformatoren (Bild 11) die gewünschte Spannung, denn dort greift man einfach die mit  $1/\ddot{u}_2$  untergesetzte Eingangsspannung ab. Falls in den nachfolgenden Gliedern  $C_2$ , L und  $1/2 C_z$  keine Verzerrungen entstehen, ist diese Methode der Gegenkopplung auch vollkommen ausreichend.

## Literatur

- [1] Unger, E.: Grundlegende Berechnungen an Frequenzweichen, insbesondere für den Anschluß von Hoch- und Tieftonlautsprechern. Nachrichtentechnik 9 (1959) H. 12 S. 550—554
- [2] Trzeba, E.: Spulenkapazitäten und Induktivitäten einlagiger Zylinderspulen bei verschiedener Strom-Spannungsverteilung über der Spule. Hochfrequenztechnik und Elektroakustik 70 (1961) S. 161—165
- [3] Hak, J.: Eisenlose Drosselspulen. Verlag Köhler, Leipzig 1938

## Anhang

### Berechnung des Eingangswiderstandes der Schaltung Bild 8

Wir stellen nach Bild 13 die drei durch I, II, III gekennzeichneten Knotensätze auf:

$$\begin{aligned} \text{I } \mathfrak{I}_1 &= \mathfrak{I}_4 + \mathfrak{I}_5 \\ \text{II } \mathfrak{I}_4 &= \mathfrak{I}_2 + \mathfrak{I}_6 \\ \text{III } \mathfrak{I}_5 + \mathfrak{I}_6 &= \mathfrak{I}_3 \end{aligned} \quad (26)$$

Die Ströme  $\mathfrak{I}_2$  bis  $\mathfrak{I}_6$  können durch die Spannungen  $\mathfrak{U}_1$ ,  $\mathfrak{U}_2$ ,  $\mathfrak{U}_3$  ausgedrückt werden:

$$\begin{aligned} \mathfrak{I}_2 &= \frac{\mathfrak{U}_1}{R} \\ \mathfrak{I}_3 &= \frac{\mathfrak{U}_2}{1/j\omega C_1} \\ \mathfrak{I}_4 &= \frac{\mathfrak{U}_1 - \mathfrak{U}_2}{1/j\omega C_2} \\ \mathfrak{I}_5 &= \frac{\mathfrak{U}_1 - \mathfrak{U}_3}{j\omega L_2} \\ \mathfrak{I}_6 &= \frac{\mathfrak{U}_2 - \mathfrak{U}_3}{j\omega L_1} \end{aligned}$$

Diese Ausdrücke setzen wir in die Gleichungen (26) ein und erhalten drei Gleichungen mit den Unbekannten  $\mathfrak{U}_1$ ,  $\mathfrak{U}_2$ ,  $\mathfrak{U}_3$ :

$$\mathfrak{U}_1 \left( j\omega C_2 + \frac{1}{j\omega L_2} \right) - \mathfrak{U}_2 j\omega C_2 - \mathfrak{U}_3 \frac{1}{j\omega L_2} = \mathfrak{I}_3 \quad (27a)$$



$$-u_1 j \omega C_2 + u_2 \left( \frac{1}{R} + j \omega C_2 + \frac{1}{j \omega L_1} \right) - u_3 \frac{1}{j \omega L_1} = 0 \quad (27b)$$

$$-u_1 \frac{1}{j \omega L_2} - u_2 \frac{1}{j \omega L_1} + u_3 \left( \frac{1}{j \omega L_1} + \frac{1}{j \omega L_2} + j \omega C_1 \right) = 0 \quad (27c)$$

Dieses Gleichungssystem soll zur Berechnung des Eingangswiderstandes  $\Re_E$  dienen.  $\Re_E$  ist aber

$$\Re_E = \frac{u_1}{\Im_1}$$

so daß wir die Gleichungen (27) nach  $u_1$  auflösen und durch  $\Im_1$  dividieren müssen. Gleichung (27a) vereinfacht sich, wenn man Gl. (27b) und Gl. (27c) addiert:

$$u_2 \frac{1}{R} + u_3 j \omega C_1 = \Im_1$$

Damit ist

$$u_2 = \Im_1 R - u_3 j \omega C_1 R \quad (28a)$$

Diese Gleichung (28a), in die Gleichungen (27b) und (27c) eingesetzt, beseitigt  $u_2$ . Außerdem werden noch beide Gleichungen mit  $(j\omega)^2 L_1 L_2$  multipliziert:

$$\begin{aligned} u_1 (j\omega)^2 L_1 L_2 C_2 + u_3 [j\omega L_2 + (j\omega)^2 L_2 C_1 R] \\ + (j\omega)^2 L_1 L_2 C_1 + (j\omega)^4 L_1 L_2 C_1 C_2 R \\ = \Im_1 [j\omega L_2 R + (j\omega)^2 L_1 L_2 + (j\omega)^4 L_1 L_2 C_2 R] \end{aligned} \quad (28b)$$

$$-u_1 j \omega L_1 + u_3 [j\omega (L_1 + L_2) + (j\omega)^2 L_2 C_1 R + (j\omega)^2 L_1 L_2 C_1] = \Im_1 j \omega L_2 R \quad (28c)$$

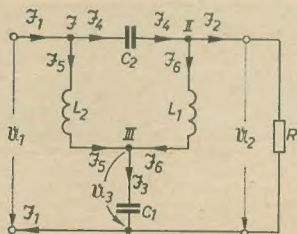


Bild 13: Zur Berechnung des Eingangswiderstandes usw.

Die Differenz der beiden Gleichungen ergibt einen etwas einfacheren Ausdruck, den man noch durch  $j\omega L_1$  dividieren kann:

$$u_1 [1 + (j\omega)^2 L_2 C_2] + u_3 [-1 + (j\omega)^2 L_2 C_1 C_2 R] = \Im_1 [j\omega L_2 + (j\omega)^2 L_2 C_2 R]$$

nach  $u_3$  aufgelöst:

$$u_3 = \frac{\Im_1 [j\omega L_2 + (j\omega)^2 L_2 C_2 R] - u_1 [1 + (j\omega)^2 L_2 C_2]}{-1 + (j\omega)^2 L_2 C_1 C_2 R}$$

Diesen Ausdruck für  $u_3$  setzen wir in Gl. (28c) ein. Die entstehende Gleichung wird mit  $-1 + (j\omega)^2 L_2 C_1 C_2 R$  multipliziert und nach

Faktoren von  $u_1$  und  $\Im_1$  geordnet. Man erhält

$$\begin{aligned} -u_1 j \omega L_2 [1 + j \omega C_1 R] \\ + (j\omega)^2 (L_1 C_1 + L_1 C_2 + L_2 C_2) \\ + (j\omega)^2 (L_1 + L_2) C_1 C_2 R + (j\omega)^4 L_1 L_2 C_1 C_2 \\ + \Im_1 j \omega L_2 R \left[ 1 + j \omega \frac{L_1 + L_2}{R} \right] \\ + (j\omega)^2 (L_1 C_2 + L_2 C_1 + L_2 C_2) + (j\omega)^2 \frac{L_2 C_1 L_1}{R} \\ + (j\omega)^4 L_1 L_2 C_1 C_2 = 0 \end{aligned}$$

Daraus kann man

$$\frac{u_1}{\Im_1} = \Re_E = R \frac{1 + j \omega \frac{L_1 + L_2}{R} + (j\omega)^2 (L_1 C_2 + L_2 C_1 + L_2 C_2) + (j\omega)^2 \frac{L_1 L_2 C_1}{R} + (j\omega)^4 L_1 L_2 C_1 C_2}{1 + j \omega C_2 R + (j\omega)^2 (L_1 C_1 + L_1 C_2 + L_2 C_2) + (j\omega)^2 (L_1 + L_2) C_1 C_2 R + (j\omega)^4 L_1 L_2 C_1 C_2} \quad (15)$$

bilden, wie es im Text verwendet wurde.

*Berechnung des Verhältnisses Ausgangsspannung zu Eingangsspannung der Schaltung Bild 8*

Die Beziehung (22), die bewiesen werden soll, gilt unter der Bedingung, daß  $\Re_E = R$  ist. Deshalb dürfen wir die Gleichungen (19), (20) und (21), die eine Folge dieser Bedingung sind, zur Vereinfachung anwenden. Aus Gl. (27b) und Gl. (27c) (Anhang) wird dadurch

$$\begin{aligned} -u_1 j \omega \frac{C}{2} + u_2 \left( \frac{1}{R} + j \omega \frac{C}{2} + \frac{1}{j \omega L} \right) \\ - u_3 \frac{1}{j \omega L} = 0 \end{aligned}$$

$$\begin{aligned} -u_1 \frac{1}{j \omega L} - u_2 \frac{1}{j \omega L} \\ + u_3 \left( \frac{2}{j \omega L} + j \omega 2 C \right) = 0 \end{aligned}$$

Die zweite Gleichung wird nach  $u_3$  aufgelöst

$$u_3 = \frac{1}{2} \frac{u_1 + u_2}{1 + (j\omega)^2 LC}$$

und in die erste eingesetzt.

$$\begin{aligned} u_1 \left\{ j \omega \frac{C}{2} + \frac{1}{2 j \omega L [1 + (j\omega)^2 LC]} \right\} \\ = u_3 \left\{ \frac{1}{R} + j \omega \frac{C}{2} + \frac{1}{j \omega L} - \frac{1}{2 j \omega L [1 + (j\omega)^2 LC]} \right\} \end{aligned}$$

$$\frac{u_2}{u_1} = \frac{1 + (j\omega)^2 LC + (j\omega)^4 L^2 C^2}{1 + j \omega \frac{2L}{R} + (j\omega)^2 3 LC + (j\omega)^2 \frac{2L^2 C}{R} + (j\omega)^4 L^2 C^2}$$

Führt man im Nenner noch Gl. (21) ein, so wird

$$\frac{u_2}{u_1} = \frac{1 + (j\omega)^2 \sqrt{LC}^2 + (j\omega)^4 \sqrt{LC}^4}{1 + j \omega 2 \sqrt{LC} + (j\omega)^2 3 \sqrt{LC}^2 + (j\omega)^2 2 \sqrt{LC}^3 + (j\omega)^4 \sqrt{LC}^4}$$

Wie man durch Ausmultiplizieren schnell nachweist, kann man dafür auch

$$\frac{u_2}{u_1} = \frac{[1 + j \omega \sqrt{LC} + (j\omega)^2 \sqrt{LC}^2] [1 - j \omega \sqrt{LC} + (j\omega)^2 \sqrt{LC}^2]}{[1 + j \omega \sqrt{LC} + (j\omega)^2 \sqrt{LC}^2]^2}$$

schreiben, so daß im Zähler und Nenner ein gleicher Faktor herausgehoben werden kann. So findet man also

$$\frac{u_2}{u_1} = \frac{1 - \omega^2 LC - j \omega \sqrt{LC}}{1 - \omega^2 LC + j \omega \sqrt{LC}} \quad (22)$$

*Berechnung der Spannungen über  $L_1$  und  $L_2$*

Nach Bild 13 ist

$$u_{L1} = u_2 - u_3$$

$u_2$  steht uns aus Gl. (22) bereits zur Verfügung, und wir bestimmen jetzt  $u_3$

$$u_3 = \Im_3 \frac{1}{j \omega C_1} = (\Im_5 + \Im_6) \frac{1}{j \omega C_1}$$

Dazu haben wir noch Knoten III eingesetzt. Für  $\Im_5$  und  $\Im_6$  kann man aber schreiben

$$\Im_5 = \frac{u_1 - u_3}{j \omega L_2} \quad \Im_6 = \frac{u_2 - u_3}{j \omega L_1}$$

Damit erhält man für  $u_3$

$$u_3 = \left( \frac{u_1 - u_3}{j \omega L_2} + \frac{u_2 - u_3}{j \omega L_1} \right) \frac{1}{j \omega C_1} = \frac{u_1 + u_2 - 2 u_3}{(j\omega)^2 2 LC}$$

unter Benutzung von Gl. (19) und Gl. (20). Nach  $u_3$  aufgelöst, ergibt sich mit Hilfe von Gl. (22)

$$u_3 [2 + (j\omega)^2 2 LC] = u_1 + u_2$$

$$= u_1 + u_2 \frac{1 - j \omega \sqrt{LC} + (j\omega)^2 LC}{1 + j \omega \sqrt{LC} + (j\omega)^2 LC}$$

$$= u_1 \frac{2 + (j\omega)^2 2 LC}{1 + j \omega \sqrt{LC} + (j\omega)^2 LC}$$



$$u_3 = \frac{u_1}{1 + j\omega \sqrt{LC} + (j\omega)^2 LC}$$

Unter nochmaliger Verwendung von Gl. (22) wird

$$u_{L1} = u_2 - u_3 = u_1 \frac{1 - j\omega \sqrt{LC} + (j\omega)^2 LC}{1 + j\omega \sqrt{LC} + (j\omega)^2 LC}$$

$$-u_1 \frac{1}{1 + j\omega \sqrt{LC} + (j\omega)^2 LC}$$

$$= u_1 \frac{-j\omega \sqrt{LC} + (j\omega)^2 LC}{1 + j\omega \sqrt{LC} + (j\omega)^2 LC}$$

Der Betrag von  $u_{L1}$  ergibt sich daraus zu

$$|u_{L1}| = |u_1| \frac{\sqrt{\omega^2 LC + \omega^4 L^2 C^2}}{\sqrt{(1 - \omega^2 LC)^2 + \omega^2 LC}}$$

Aus dieser Formel wurde der Verlauf von  $|u_{L1}|$  im Bild 12 berechnet.

Die Berechnung von  $u_{L2}$  verläuft analog und führt auf

$$u_{L2} = u_1 \frac{+j\omega \sqrt{LC} + (j\omega)^2 LC}{1 + j\omega \sqrt{LC} + (j\omega)^2 LC}$$

was denselben Betrag  $|u_{L2}| = |u_{L1}|$  ergibt.

### PGH Elektromess Dresden fertigt:

Elektronische Netzgeräte  
Universal-Netzgeräte  
Gleichspannungs-Dekaden  
Röhrenprüfgeräte  
Transistor-Prüfgeräte  
Transistor-Speisegeräte  
Grobdraht-Windungsschlußprüfer  
Feindraht-Windungsschlußprüfer

Sonderausführungen elektronischer Netzgeräte nach Ihren Angaben werden übernommen.

Außerdem liefern wir Normeinbaugeschäfte B 4 und C 4

PGH ELEKTROMESS, DRESDEN A 21  
Bärensteiner Straße 5a

### Kondensator-Mikrofone

in Studioqualität für alle Verwendungszwecke

#### Mikrofon-Zubehör und Steckverbindungen

Bitte fordern Sie unsere Prospekte an.

#### NEU im Vertriebsprogramm:

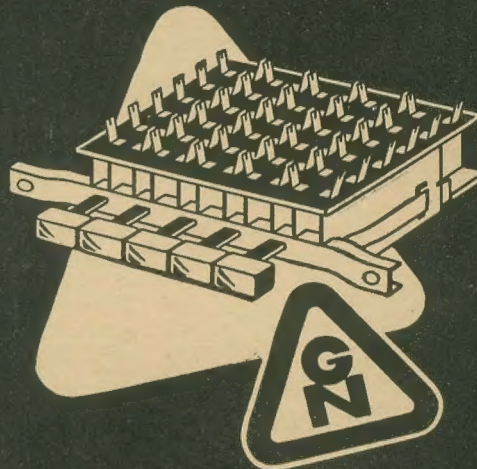
##### Netzanschlußgeräte N 61V und UN 61V

mit eingebautem Transistor-Vorverstärker zum direkten Anschluß unserer Mikrofone an einen Kraftverstärker. In die Netzgeräte N 57, UN 57, N 61 und UN 61 kann der Vorverstärker kurzfristig eingebaut werden.

Über weitere Neuentwicklungen informieren wir Sie auf unserem Messestand.



**GEORG NEUMANN & CO.**  
Elektrotechnisches Laboratorium  
GEFELL/VOGTLAND — RUF: 185



### MINIATUR-TASTENSCHALTER

FÜR DIE HF- UND NF-TECHNIK

• SECHSKONTAKTIGE TASTEN •  
AUCH MIT LEUCHTTASTEN

### GUSTAV NEUMANN KG

SPEZIALFABRIK FÜR SPULEN, TRANSFORMATOREN,  
DRAHTWIDERSTÄNDE · CREUZBURG/WERRA THUR.

*Auch Kleinanzeigen  
haben große Wirkung!*

Bei störenden Übergangswiderständen  
an HF- und NF-Schaltern wirkt zuverlässig...

### Spezial-Wellenschalteröl »d«

Rundfunk-Spezialist Friedrich Granowski, Rudolstadt 2/Thür.

Material für gedruckte Schaltungen haben wir  
neu aufgenommen

Basismaterial kupferkasch. Schichtpreßstoff (Reststücke für Bastler und Versuchszwecke), maßbeständigen Zeichenkarton mit Alu-Einlage (glatt weiß und mit Raster 5 mm), Hartpapier (Reststücke in großer Auswahl).

Bitte fordern Sie unser Angebot an!

Labor- und Industriebedarf, Freiberg/Sa., Postf. 29, Tel. 2161

Unterrichten Sie sich bitte laufend über

### Neuerscheinungen

von Fachbüchern Ihres Fachgebietes.

Wir senden Ihnen unverbindlich  
und kostenlos unsere Informationen.

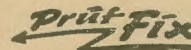


**VEB VERLAG TECHNIK  
BERLIN**

### Schwerhörige!

Transistoren-Hörhilfen, Hörrohre, Ohrhüllen  
ab 10,- DM liefert

Rachhausen, Waldkirchen/Erzgeb.  
auf Wunsch zur Probe, Reparaturen aller Systeme



das ideale Kontaktprüfgerät  
Lieferung über den Fachhandel  
PGH „ENERGIE“, Torgau



## Übersicht über die bisher veröffentlichten Reparaturhinweise von 1959 bis 1963

(Teil 3 und Schluß)

Chassistyp	Problem/Fehler	Heft/Jahr/Seite
Allgemein	Sprühen im Bild (Anodenspannungszuführung für Bildröhre)	4 (1960) 122
	Einlaufen der Zeilenbreite (Umgebungstemperatur)	18 (1959) 575
	störende Zeilenfrequenzausstrahlung (fehlerhafte Bildröhrenerdung)	18 (1959) 574
	Bild stark verrauscht	12 (1959) 372
	Behandlung von glasklaren Kunststoffbildscheiben	15 (1963) 478
	Reinigen von TV-Geräten	23 (1963) 731
	Erhaltung einer MW 43-64 durch Schaltungsänderung (Schluß G <sub>1</sub> -K)	14 (1962) 448
	desgleichen (Elektrodenschluß)	8 (1961) 264
	keine Druckkontakt-Kondensatoren für TV-Empfänger verwenden	18 (1961) 571
	Änderung der Rafena-Zwischensteckleitung (von B 43 M 2 auf AW 43-80 und AW 53-80)	18 (1959) 574
	Veränderung des Katodenwiderstandes durch defekte Bildendröhre	20 (1963) 635
	Widerstandsausfall durch anliegendes Isolationsmaterial	13 (1963) 410
	„Elko-Explosion“ bei einem „Patriot“	21 (1962) 657
	Übersteuerung und Überlastung von Röhren durch mangelhafte Isolationswiderstände ungeeigneter Koppelkondensatoren	19 (1962) 610
	Einschwingstreifen bei 110°-TV-Empfängern (Dunkelastdiode)	1 (1963) 27
	was sagt der Bildschirm eines fehlerhaften Gerätes aus	22 (1960) 705
	typische Fehler am Hochspannungsteil und ihre Ermittlung	12 (1963) 380
	Fehlersuche bei zu geringer oder fehlender Helligkeit	8 (1959) 261
	Tonbandanschluß für TV-Empfänger	4 (1960) 122
	Messungen von Röhrenbetriebsspannungen mit Zwischensockel	14 (1960) 452
	Tonendstufe als Signalverfolger	16 (1963) 512
	Videosignalprüfung mit EM 84	10 (1961) 324
	Vergleichsspannungsgerät zur Spitzen Spannungsmessung	10 (1962) 321
	Einrichtung eines Service-Koffers	20 (1959) 646
	neue Empfindlichkeitsangaben für Rafena-TV-Empfänger	21 (1963) 674
	Röhrenwechsel im Bild-ZF-Verstärker verändert Durchlaßkurve	19 (1962) 610
	ungenügende Zeilensynchronisation	10 (1959) 313
Heimbandgeräte		
BG 20	Reparatur der Wickelteller	18 (1963) 578
	Verbesserung der Bandführung	20 (1963) 635
BG 20-4	Änderung zum Abschalten des Laufwerkes, Austausch der EM 11 gegen EM 83	20 (1963) 635
	Anzeigeröhre EM 83 im BG 20-4	6 (1960) 179

Chassistyp	Problem/Fehler	Heft/Jahr/Seite
BG 20-5	Brummerscheinung und Aussetzen der HF (Sch <sub>12</sub> )	18 (1963) 578
	Löschgenerator setzt aus (R <sub>12</sub> , C <sub>28</sub> )	2 (1962) 47
BG 23-1	Fehlerhinweise	2 (1962) 47
Diktina	Fehlerhinweise	12 (1960) 391
BG 25-1	Fehlerhinweise	2 (1962) 47
KB 100/I	verzerrte Aufnahme	16 (1961) 524
Erkel	Verwendung einer Peese aus dem BG-19 im BG „Erkel“	12 (1960) 391
Allgemein	Änderung der Mikrofonbuchse zum Überspielen von Tonbändern	19 (1963) 606
	Reparatur und Wartung an Heimbandgeräten	19 (1963) 606 21 (1963) 674 23 (1963) 730 24 (1963) 766
Rundfunkgeräte		
Sternchen	Reparaturhinweise (ZF-Filter, C <sub>14</sub> )	14 (1963) 445
	einfache Methode zur Überprüfung des NF-Teiles	14 (1963) 445
	starker Sender stopft zu (C <sub>21</sub> )	24 (1960) 780
	Aussetzfehler (Drehko)	4 (1961) 127
	nur Brodeln und Knistern (Oszillator-spule)	6 (1961) 193
	starkes Rauschen der NF-Stufe (Transistor)	24 (1963) 767
Stern 1, Stern 2 und Ilona	Auswechseln des Tastenschiebers	14 (1962) 488
Onyx 2, Diamant 2	heult auf AM und FM (Drehko)	13 (1963) 410
Erfurt	Klirren bei bestimmten tiefen Frequenzen (Bespannung)	4 (1962) 121
Allgemein	Gegentakstverstärker ohne Leistung (ECL 82)	20 (1961) 642
	periodische Unterbrechung der Heizung (UCL 11)	18 (1963) 578
	Austausch der EL 11 gegen EL 12 N	4 (1960) 122
	Transistorlengenerator	8 (1961) 264
	kleines Reparaturprüfgerät	12 (1962) 382
	Messungen an Dioden und Transistoren	3 (1963) 82
	einfache Brummkompensation	23 (1962) 728
Sonstiges		
	Beseitigung des Restbrummens von Kristallmikrofonen	20 (1963) 635
	Fehlerbeseitigung im Ablenkteil des „Duoskop“	19 (1960) 617
	Einsparung am „Oszi 40“	12 (1962) 382
	Aufstellung der Versorgungskontore (Ersatzteilversorgung)	24 (1961) 778



**Automatische Abtastung  
von mehreren Meßstellen**

**Registrierung der Meßwerte  
durch Drucker**



**FWE-Meßgeräte der Digitaltechnik**

**Universalzähler Typ 3514**

**Umsetzer und Drucker Typ 3510**

**sowie Meßstellenumschalter**

Unsere Produktion:

**Empfänger- und Oszillografenröhren**

**elektronische Meßgeräte**

**Musikboxen**

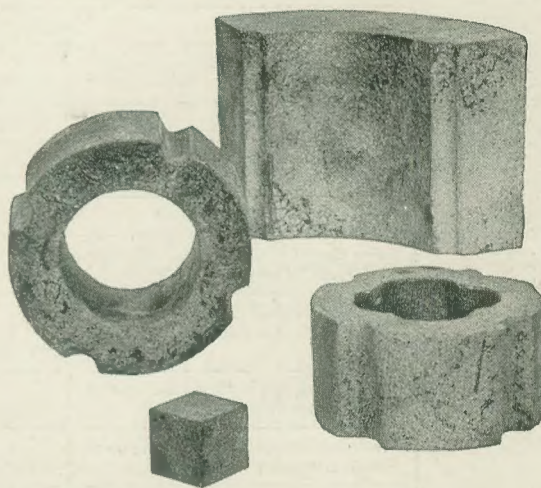
**VEB FUNKWERK ERFURT**

Erfurt, Rudolfstraße 47/D3



# **Alnico**

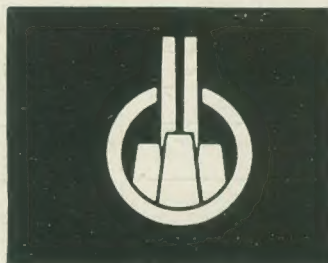
## **Permanent- Magnete**



**in allen notwendigen Größen**

**für Lautsprecher  
Fernsehen  
Lichtmaschinen  
Meßinstrumente  
Motoren  
Kupplungen  
Zündmaschinen  
und viele andere  
Anwendungsgebiete**

694 S



Bitte technische  
Beratung anfordern

**VEB ELEKTROCHEMISCHES  
KOMBINAT BITTERFELD**